

























## A) Základní data o modelu – prutový model

## 1. Vrstvy

Jméno	Popis	Pouze konstrukční model	Barva
VV01	LLD pater_S03.1	Ne	
K01	LLD krokve_S03.1	Ne	
NK01	LLD narozní krokve_S03.1	Ne	
S01	sloupky C24_S03.1	Ne	
ZBV_01	zelezobeton__S03.1	Ne	
ZBV_02	zelezobeton__S03.1	Ne	
N01	LLD nosník pult_S03.2	Ne	
VN01	C24 vaznice pult_S03.2	Ne	
VN02	C24 vaznice pult_S03.2	Ne	
Ocel tahla_hala	S235 tahla pult_S03.2	Ne	
V24	C24	Ne	
P01	zelezobeton_S03.2	Ne	
R01	LLD rám_S03.3	Ne	
R02	vyztuha rozpera_S03.3	Ne	
Ocel tahla_ram	S235 táhla ram_S03.3	Ne	
tp01.0	tuhy prut_S03.1	Ne	
tp01.1	tuhy prut_S03.1	Ne	
tp02.0	tuhy prut_S02.0	Ne	
tp03.0	tuhy prut_S03.3	Ne	
TP21	tp spec21	Ne	
HEAV21	S235	Ne	
HEAV22	S235	Ne	
S02	C24	Ne	
S3	C24	Ne	

## 2. Zatěžovací stavy

Jméno	Popis	Typ působení	Skupina zatížení	Směr	Působení	Řídící zat. stav
	Spec	Typ zatížení				
ZS1	vlastní tíha	Stálé Vlastní tíha	SZ1	-Z		
ZS2	skladby	Stálé Standard	SZ1			
ZS3	sníh_rovnoměrný Standard	Proměnné Statické	snih		Krátkodobé	Žádný
ZS4	sníh_L Standard	Proměnné Statické	snih		Krátkodobé	Žádný
ZS5	sníh_R Standard	Proměnné Statické	snih		Krátkodobé	Žádný
ZS6	vitř_-0.3_aa Standard	Proměnné Statické	vitř		Krátkodobé	Žádný
ZS7	vitř_+0.2_bb Standard	Proměnné Statické	vitř		Krátkodobé	Žádný
ZS8	vitř_+0.2_cc Standard	Proměnné Statické	vitř		Krátkodobé	Žádný
ZS9	vitř_-0.3_dd Standard	Proměnné Statické	vitř		Krátkodobé	Žádný
ZS10	vitř_+0.2_ee Standard	Proměnné Statické	vitř		Krátkodobé	Žádný
ZS11	stena spec21	Stálé Standard	SZ1			
ZS12	stena spec22	Stálé	SZ1			

Jméno	Popis	Typ působení	Skupina zatížení	Směr	Působení	Řídící zat. stav
	Spec	Typ zatížení				
		Standard				

### 3. Skupiny zatížení

Jméno	Zatížení	Vztah	Typ
SZ1	Stálé		
snih	Proměnné	Výběrová	Sníh
vitř	Proměnné	Výběrová	Vítr
spec21	Proměnné	Výběrová	Kat A : obytné

### 4. Kombinace

Jméno	Popis	Typ	Zatěžovací stavy	Souč. [-]
CO1		EN-MSÚ (STR/GEO) Soubor B	ZS1 - vlastní tíha	1,00
			ZS2 - skladby	1,00
			ZS3 - sníh_rovnoměrný	1,00
			ZS4 - sníh L	1,00
			ZS5 - sníh_R	1,00
			ZS6 - vitř_-0.3_aa	1,00
			ZS7 - vitř_+0.2_bb	1,00
			ZS8 - vitř_+0.2_cc	1,00
			ZS9 - vitř_-0.3_dd	1,00
			ZS10 - vitř_+0.2_ee	1,00
			ZS11 - stena spec21	1,00
CO2		EN-MSÚ (STR/GEO) Soubor B	ZS1 - vlastní tíha	1,00
			ZS2 - skladby	1,00
			ZS3 - sníh_rovnoměrný	1,00
			ZS4 - sníh L	1,00
			ZS5 - sníh_R	1,00
			ZS6 - vitř_-0.3_aa	1,00
			ZS7 - vitř_+0.2_bb	1,00
			ZS8 - vitř_+0.2_cc	1,00
			ZS9 - vitř_-0.3_dd	1,00
			ZS10 - vitř_+0.2_ee	1,00
			ZS12 - stena spec22	1,00
CO3		Lineární - únosnost	ZS1 - vlastní tíha	1,35
			ZS2 - skladby	1,35
			ZS11 - stena spec21	1,35
CO4		Lineární - únosnost	ZS1 - vlastní tíha	1,00
			ZS2 - skladby	1,00
			ZS11 - stena spec21	1,00
CO5		Lineární - únosnost	ZS1 - vlastní tíha	1,35
			ZS2 - skladby	1,35
			ZS6 - vitř_-0.3_aa	0,90
			ZS11 - stena spec21	1,35
CO6		Lineární - únosnost	ZS1 - vlastní tíha	1,35
			ZS2 - skladby	1,35
			ZS7 - vitř_+0.2_bb	0,90
			ZS11 - stena spec21	1,35
CO7		Lineární - únosnost	ZS1 - vlastní tíha	1,35
			ZS2 - skladby	1,35
			ZS8 - vitř_+0.2_cc	0,90
			ZS11 - stena spec21	1,35
CO8		Lineární - únosnost	ZS1 - vlastní tíha	1,35
			ZS2 - skladby	1,35
			ZS9 - vitř_-0.3_dd	0,90
			ZS11 - stena spec21	1,35
CO9		Lineární - únosnost	ZS1 - vlastní tíha	1,35
			ZS2 - skladby	1,35
			ZS10 - vitř_+0.2_ee	0,90
			ZS11 - stena spec21	1,35
CO10		Lineární - únosnost	ZS1 - vlastní tíha	1,35
			ZS2 - skladby	1,35
			ZS3 - sníh_rovnoměrný	1,50
			ZS11 - stena spec21	1,35
CO11		Lineární - únosnost	ZS1 - vlastní tíha	1,35

Jméno	Popis	Typ	Zatěžovací stavy	Souč. [-]
			ZS2 - skladby	1,35
			ZS4 - sníh L	1,50
			ZS11 - stena spec21	1,35
CO12		Lineární - únosnost	ZS1 - vlastní tíha	1,35
			ZS2 - skladby	1,35
			ZS5 - sníh_R	1,50
			ZS11 - stena spec21	1,35
CO13		Lineární - únosnost	ZS1 - vlastní tíha	1,35
			ZS2 - skladby	1,35
			ZS3 - sníh_rovnoměrný	1,50
			ZS6 - vitr_-0.3_aa	0,90
			ZS11 - stena spec21	1,35
CO14		Lineární - únosnost	ZS1 - vlastní tíha	1,35
			ZS2 - skladby	1,35
			ZS4 - sníh L	1,50
			ZS6 - vitr_-0.3_aa	0,90
			ZS11 - stena spec21	1,35
CO15		Lineární - únosnost	ZS1 - vlastní tíha	1,35
			ZS2 - skladby	1,35
			ZS3 - sníh_rovnoměrný	1,50
			ZS7 - vitr_+0.2_bb	0,90
			ZS11 - stena spec21	1,35
CO16		Lineární - únosnost	ZS1 - vlastní tíha	1,35
			ZS2 - skladby	1,35
			ZS5 - sníh_R	1,50
			ZS6 - vitr_-0.3_aa	0,90
			ZS11 - stena spec21	1,35
CO17		Lineární - únosnost	ZS1 - vlastní tíha	1,35
			ZS2 - skladby	1,35
			ZS4 - sníh L	1,50
			ZS7 - vitr_+0.2_bb	0,90
			ZS11 - stena spec21	1,35
CO18		Lineární - únosnost	ZS1 - vlastní tíha	1,35
			ZS2 - skladby	1,35
			ZS3 - sníh_rovnoměrný	1,50
			ZS8 - vitr_+0.2_cc	0,90
			ZS11 - stena spec21	1,35
CO19		Lineární - únosnost	ZS1 - vlastní tíha	1,35
			ZS2 - skladby	1,35
			ZS5 - sníh_R	1,50
			ZS7 - vitr_+0.2_bb	0,90
			ZS11 - stena spec21	1,35
CO20		Lineární - únosnost	ZS1 - vlastní tíha	1,35
			ZS2 - skladby	1,35
			ZS4 - sníh L	1,50
			ZS8 - vitr_+0.2_cc	0,90
			ZS11 - stena spec21	1,35
CO21		Lineární - únosnost	ZS1 - vlastní tíha	1,35
			ZS2 - skladby	1,35
			ZS3 - sníh_rovnoměrný	1,50
			ZS9 - vitr_-0.3_dd	0,90
			ZS11 - stena spec21	1,35
CO22		Lineární - únosnost	ZS1 - vlastní tíha	1,35
			ZS2 - skladby	1,35
			ZS5 - sníh_R	1,50
			ZS8 - vitr_+0.2_cc	0,90
			ZS11 - stena spec21	1,35
CO23		Lineární - únosnost	ZS1 - vlastní tíha	1,35
			ZS2 - skladby	1,35
			ZS4 - sníh L	1,50
			ZS9 - vitr_-0.3_dd	0,90
			ZS11 - stena spec21	1,35
CO24		Lineární - únosnost	ZS1 - vlastní tíha	1,35
			ZS2 - skladby	1,35
			ZS3 - sníh_rovnoměrný	1,50
			ZS10 - vitr_+0.2_ee	0,90
			ZS11 - stena spec21	1,35
CO25		Lineární - únosnost	ZS1 - vlastní tíha	1,35
			ZS2 - skladby	1,35
			ZS5 - sníh_R	1,50

Jméno	Popis	Typ	Zatěžovací stavy	Souč. [-]
			ZS9 - vitr_-0.3_dd	0,90
			ZS11 - stena spec21	1,35
CO26		Lineární - únosnost	ZS1 - vlastní tíha	1,35
			ZS2 - skladby	1,35
			ZS4 - sníh L	1,50
			ZS10 - vitr_+0.2_ee	0,90
			ZS11 - stena spec21	1,35
CO27		Lineární - únosnost	ZS1 - vlastní tíha	1,35
			ZS2 - skladby	1,35
			ZS5 - sníh_R	1,50
			ZS10 - vitr_+0.2_ee	0,90
			ZS11 - stena spec21	1,35
CO28		Lineární - únosnost	ZS1 - vlastní tíha	1,00
			ZS2 - skladby	1,00
			ZS6 - vitr_-0.3_aa	0,90
			ZS11 - stena spec21	1,00
CO29		Lineární - únosnost	ZS1 - vlastní tíha	1,00
			ZS2 - skladby	1,00
			ZS7 - vitr_+0.2_bb	0,90
			ZS11 - stena spec21	1,00
CO30		Lineární - únosnost	ZS1 - vlastní tíha	1,00
			ZS2 - skladby	1,00
			ZS8 - vitr_+0.2_cc	0,90
			ZS11 - stena spec21	1,00
CO31		Lineární - únosnost	ZS1 - vlastní tíha	1,00
			ZS2 - skladby	1,00
			ZS9 - vitr_-0.3_dd	0,90
			ZS11 - stena spec21	1,00
CO32		Lineární - únosnost	ZS1 - vlastní tíha	1,00
			ZS2 - skladby	1,00
			ZS10 - vitr_+0.2_ee	0,90
			ZS11 - stena spec21	1,00
CO33		Lineární - únosnost	ZS1 - vlastní tíha	1,00
			ZS2 - skladby	1,00
			ZS3 - sníh_rovnoměrný	1,50
			ZS11 - stena spec21	1,00
CO34		Lineární - únosnost	ZS1 - vlastní tíha	1,00
			ZS2 - skladby	1,00
			ZS4 - sníh L	1,50
			ZS11 - stena spec21	1,00
CO35		Lineární - únosnost	ZS1 - vlastní tíha	1,00
			ZS2 - skladby	1,00
			ZS5 - sníh_R	1,50
			ZS11 - stena spec21	1,00
CO36		Lineární - únosnost	ZS1 - vlastní tíha	1,00
			ZS2 - skladby	1,00
			ZS3 - sníh_rovnoměrný	1,50
			ZS6 - vitr_-0.3_aa	0,90
			ZS11 - stena spec21	1,00
CO37		Lineární - únosnost	ZS1 - vlastní tíha	1,00
			ZS2 - skladby	1,00
			ZS4 - sníh L	1,50
			ZS6 - vitr_-0.3_aa	0,90
			ZS11 - stena spec21	1,00
CO38		Lineární - únosnost	ZS1 - vlastní tíha	1,00
			ZS2 - skladby	1,00
			ZS3 - sníh_rovnoměrný	1,50
			ZS7 - vitr_+0.2_bb	0,90
			ZS11 - stena spec21	1,00
CO39		Lineární - únosnost	ZS1 - vlastní tíha	1,00
			ZS2 - skladby	1,00
			ZS5 - sníh_R	1,50
			ZS6 - vitr_-0.3_aa	0,90
			ZS11 - stena spec21	1,00
CO40		Lineární - únosnost	ZS1 - vlastní tíha	1,00
			ZS2 - skladby	1,00
			ZS4 - sníh L	1,50
			ZS7 - vitr_+0.2_bb	0,90
			ZS11 - stena spec21	1,00
CO41		Lineární - únosnost	ZS1 - vlastní tíha	1,00

Jméno	Popis	Typ	Zatěžovací stavy	Souč. [-]
			ZS2 - skladby	1,00
			ZS3 - sníh_rovnoměrný	1,50
			ZS8 - vitr_+0.2_cc	0,90
			ZS11 - stena spec21	1,00
CO42		Lineární - únosnost	ZS1 - vlastní tíha	1,00
			ZS2 - skladby	1,00
			ZS5 - sníh_R	1,50
			ZS7 - vitr_+0.2_bb	0,90
			ZS11 - stena spec21	1,00
CO43		Lineární - únosnost	ZS1 - vlastní tíha	1,00
			ZS2 - skladby	1,00
			ZS4 - sníh L	1,50
			ZS8 - vitr_+0.2_cc	0,90
			ZS11 - stena spec21	1,00
CO44		Lineární - únosnost	ZS1 - vlastní tíha	1,00
			ZS2 - skladby	1,00
			ZS3 - sníh_rovnoměrný	1,50
			ZS9 - vitr_-0.3_dd	0,90
			ZS11 - stena spec21	1,00
CO45		Lineární - únosnost	ZS1 - vlastní tíha	1,00
			ZS2 - skladby	1,00
			ZS5 - sníh_R	1,50
			ZS8 - vitr_+0.2_cc	0,90
			ZS11 - stena spec21	1,00
CO46		Lineární - únosnost	ZS1 - vlastní tíha	1,00
			ZS2 - skladby	1,00
			ZS4 - sníh L	1,50
			ZS9 - vitr_-0.3_dd	0,90
			ZS11 - stena spec21	1,00
CO47		Lineární - únosnost	ZS1 - vlastní tíha	1,00
			ZS2 - skladby	1,00
			ZS3 - sníh_rovnoměrný	1,50
			ZS10 - vitr_+0.2_ee	0,90
			ZS11 - stena spec21	1,00
CO48		Lineární - únosnost	ZS1 - vlastní tíha	1,00
			ZS2 - skladby	1,00
			ZS5 - sníh_R	1,50
			ZS9 - vitr_-0.3_dd	0,90
			ZS11 - stena spec21	1,00
CO49		Lineární - únosnost	ZS1 - vlastní tíha	1,00
			ZS2 - skladby	1,00
			ZS4 - sníh L	1,50
			ZS10 - vitr_+0.2_ee	0,90
			ZS11 - stena spec21	1,00
CO50		Lineární - únosnost	ZS1 - vlastní tíha	1,00
			ZS2 - skladby	1,00
			ZS5 - sníh_R	1,50
			ZS10 - vitr_+0.2_ee	0,90
			ZS11 - stena spec21	1,00
CO51		Lineární - únosnost	ZS1 - vlastní tíha	1,35
			ZS2 - skladby	1,35
			ZS3 - sníh_rovnoměrný	0,75
			ZS11 - stena spec21	1,35
CO52		Lineární - únosnost	ZS1 - vlastní tíha	1,35
			ZS2 - skladby	1,35
			ZS4 - sníh L	0,75
			ZS11 - stena spec21	1,35
CO53		Lineární - únosnost	ZS1 - vlastní tíha	1,35
			ZS2 - skladby	1,35
			ZS5 - sníh_R	0,75
			ZS11 - stena spec21	1,35
CO54		Lineární - únosnost	ZS1 - vlastní tíha	1,35
			ZS2 - skladby	1,35
			ZS6 - vitr_-0.3_aa	1,50
			ZS11 - stena spec21	1,35
CO55		Lineární - únosnost	ZS1 - vlastní tíha	1,35
			ZS2 - skladby	1,35
			ZS7 - vitr_+0.2_bb	1,50
			ZS11 - stena spec21	1,35
CO56		Lineární - únosnost	ZS1 - vlastní tíha	1,35

Jméno	Popis	Typ	Zatěžovací stavy	Souč. [-]
			ZS2 - skladby	1,35
			ZS8 - vitr_+0.2_cc	1,50
			ZS11 - stena spec21	1,35
CO57		Lineární - únosnost	ZS1 - vlastní tíha	1,35
			ZS2 - skladby	1,35
			ZS9 - vitr_-0.3_dd	1,50
			ZS11 - stena spec21	1,35
CO58		Lineární - únosnost	ZS1 - vlastní tíha	1,35
			ZS2 - skladby	1,35
			ZS10 - vitr_+0.2_ee	1,50
			ZS11 - stena spec21	1,35
CO59		Lineární - únosnost	ZS1 - vlastní tíha	1,35
			ZS2 - skladby	1,35
			ZS3 - sníh_rovnoměrný	0,75
			ZS6 - vitr_-0.3_aa	1,50
			ZS11 - stena spec21	1,35
CO60		Lineární - únosnost	ZS1 - vlastní tíha	1,35
			ZS2 - skladby	1,35
			ZS4 - sníh L	0,75
			ZS6 - vitr_-0.3_aa	1,50
			ZS11 - stena spec21	1,35
CO61		Lineární - únosnost	ZS1 - vlastní tíha	1,35
			ZS2 - skladby	1,35
			ZS3 - sníh_rovnoměrný	0,75
			ZS7 - vitr_+0.2_bb	1,50
			ZS11 - stena spec21	1,35
CO62		Lineární - únosnost	ZS1 - vlastní tíha	1,35
			ZS2 - skladby	1,35
			ZS5 - sníh_R	0,75
			ZS6 - vitr_-0.3_aa	1,50
			ZS11 - stena spec21	1,35
CO63		Lineární - únosnost	ZS1 - vlastní tíha	1,35
			ZS2 - skladby	1,35
			ZS4 - sníh L	0,75
			ZS7 - vitr_+0.2_bb	1,50
			ZS11 - stena spec21	1,35
CO64		Lineární - únosnost	ZS1 - vlastní tíha	1,35
			ZS2 - skladby	1,35
			ZS3 - sníh_rovnoměrný	0,75
			ZS8 - vitr_+0.2_cc	1,50
			ZS11 - stena spec21	1,35
CO65		Lineární - únosnost	ZS1 - vlastní tíha	1,35
			ZS2 - skladby	1,35
			ZS5 - sníh_R	0,75
			ZS7 - vitr_+0.2_bb	1,50
			ZS11 - stena spec21	1,35
CO66		Lineární - únosnost	ZS1 - vlastní tíha	1,35
			ZS2 - skladby	1,35
			ZS4 - sníh L	0,75
			ZS8 - vitr_+0.2_cc	1,50
			ZS11 - stena spec21	1,35
CO67		Lineární - únosnost	ZS1 - vlastní tíha	1,35
			ZS2 - skladby	1,35
			ZS3 - sníh_rovnoměrný	0,75
			ZS9 - vitr_-0.3_dd	1,50
			ZS11 - stena spec21	1,35
CO68		Lineární - únosnost	ZS1 - vlastní tíha	1,35
			ZS2 - skladby	1,35
			ZS5 - sníh_R	0,75
			ZS8 - vitr_+0.2_cc	1,50
			ZS11 - stena spec21	1,35
CO69		Lineární - únosnost	ZS1 - vlastní tíha	1,35
			ZS2 - skladby	1,35
			ZS4 - sníh L	0,75
			ZS9 - vitr_-0.3_dd	1,50
			ZS11 - stena spec21	1,35
CO70		Lineární - únosnost	ZS1 - vlastní tíha	1,35
			ZS2 - skladby	1,35
			ZS3 - sníh_rovnoměrný	0,75
			ZS10 - vitr_+0.2_ee	1,50

Jméno	Popis	Typ	Zatěžovací stavy	Souč. [-]
			ZS11 - stena spec21	1,35
C071		Lineární - únosnost	ZS1 - vlastní tíha	1,35
			ZS2 - skladby	1,35
			ZS5 - sníh_R	0,75
			ZS9 - vitr_-0.3_dd	1,50
			ZS11 - stena spec21	1,35
C072		Lineární - únosnost	ZS1 - vlastní tíha	1,35
			ZS2 - skladby	1,35
			ZS4 - sníh L	0,75
			ZS10 - vitr_+0.2_ee	1,50
			ZS11 - stena spec21	1,35
C073		Lineární - únosnost	ZS1 - vlastní tíha	1,35
			ZS2 - skladby	1,35
			ZS5 - sníh_R	0,75
			ZS10 - vitr_+0.2_ee	1,50
			ZS11 - stena spec21	1,35
C074		Lineární - únosnost	ZS1 - vlastní tíha	1,00
			ZS2 - skladby	1,00
			ZS3 - sníh_rovnoměrný	0,75
			ZS11 - stena spec21	1,00
C075		Lineární - únosnost	ZS1 - vlastní tíha	1,00
			ZS2 - skladby	1,00
			ZS4 - sníh L	0,75
			ZS11 - stena spec21	1,00
C076		Lineární - únosnost	ZS1 - vlastní tíha	1,00
			ZS2 - skladby	1,00
			ZS5 - sníh_R	0,75
			ZS11 - stena spec21	1,00
C077		Lineární - únosnost	ZS1 - vlastní tíha	1,00
			ZS2 - skladby	1,00
			ZS6 - vitr_-0.3_aa	1,50
			ZS11 - stena spec21	1,00
C078		Lineární - únosnost	ZS1 - vlastní tíha	1,00
			ZS2 - skladby	1,00
			ZS7 - vitr_+0.2_bb	1,50
			ZS11 - stena spec21	1,00
C079		Lineární - únosnost	ZS1 - vlastní tíha	1,00
			ZS2 - skladby	1,00
			ZS8 - vitr_+0.2_cc	1,50
			ZS11 - stena spec21	1,00
C080		Lineární - únosnost	ZS1 - vlastní tíha	1,00
			ZS2 - skladby	1,00
			ZS9 - vitr_-0.3_dd	1,50
			ZS11 - stena spec21	1,00
C081		Lineární - únosnost	ZS1 - vlastní tíha	1,00
			ZS2 - skladby	1,00
			ZS10 - vitr_+0.2_ee	1,50
			ZS11 - stena spec21	1,00
C082		Lineární - únosnost	ZS1 - vlastní tíha	1,00
			ZS2 - skladby	1,00
			ZS3 - sníh_rovnoměrný	0,75
			ZS6 - vitr_-0.3_aa	1,50
			ZS11 - stena spec21	1,00
C083		Lineární - únosnost	ZS1 - vlastní tíha	1,00
			ZS2 - skladby	1,00
			ZS4 - sníh L	0,75
			ZS6 - vitr_-0.3_aa	1,50
			ZS11 - stena spec21	1,00
C084		Lineární - únosnost	ZS1 - vlastní tíha	1,00
			ZS2 - skladby	1,00
			ZS3 - sníh_rovnoměrný	0,75
			ZS7 - vitr_+0.2_bb	1,50
			ZS11 - stena spec21	1,00
C085		Lineární - únosnost	ZS1 - vlastní tíha	1,00
			ZS2 - skladby	1,00
			ZS5 - sníh_R	0,75
			ZS6 - vitr_-0.3_aa	1,50
			ZS11 - stena spec21	1,00
C086		Lineární - únosnost	ZS1 - vlastní tíha	1,00
			ZS2 - skladby	1,00

Jméno	Popis	Typ	Zatěžovací stavy	Souč. [-]
			ZS4 - sníh L	0,75
			ZS7 - vitr_+0.2_bb	1,50
			ZS11 - stena spec21	1,00
CO87		Lineární - únosnost	ZS1 - vlastní tíha	1,00
			ZS2 - skladby	1,00
			ZS3 - sníh_rovnoměrný	0,75
			ZS8 - vitr_+0.2_cc	1,50
			ZS11 - stena spec21	1,00
CO88		Lineární - únosnost	ZS1 - vlastní tíha	1,00
			ZS2 - skladby	1,00
			ZS5 - sníh_R	0,75
			ZS7 - vitr_+0.2_bb	1,50
			ZS11 - stena spec21	1,00
CO89		Lineární - únosnost	ZS1 - vlastní tíha	1,00
			ZS2 - skladby	1,00
			ZS4 - sníh L	0,75
			ZS8 - vitr_+0.2_cc	1,50
			ZS11 - stena spec21	1,00
CO90		Lineární - únosnost	ZS1 - vlastní tíha	1,00
			ZS2 - skladby	1,00
			ZS3 - sníh_rovnoměrný	0,75
			ZS9 - vitr_-0.3_dd	1,50
			ZS11 - stena spec21	1,00
CO91		Lineární - únosnost	ZS1 - vlastní tíha	1,00
			ZS2 - skladby	1,00
			ZS5 - sníh_R	0,75
			ZS8 - vitr_+0.2_cc	1,50
			ZS11 - stena spec21	1,00
CO92		Lineární - únosnost	ZS1 - vlastní tíha	1,00
			ZS2 - skladby	1,00
			ZS4 - sníh L	0,75
			ZS9 - vitr_-0.3_dd	1,50
			ZS11 - stena spec21	1,00
CO93		Lineární - únosnost	ZS1 - vlastní tíha	1,00
			ZS2 - skladby	1,00
			ZS3 - sníh_rovnoměrný	0,75
			ZS10 - vitr_+0.2_ee	1,50
			ZS11 - stena spec21	1,00
CO94		Lineární - únosnost	ZS1 - vlastní tíha	1,00
			ZS2 - skladby	1,00
			ZS5 - sníh_R	0,75
			ZS9 - vitr_-0.3_dd	1,50
			ZS11 - stena spec21	1,00
CO95		Lineární - únosnost	ZS1 - vlastní tíha	1,00
			ZS2 - skladby	1,00
			ZS4 - sníh L	0,75
			ZS10 - vitr_+0.2_ee	1,50
			ZS11 - stena spec21	1,00
CO96		Lineární - únosnost	ZS1 - vlastní tíha	1,00
			ZS2 - skladby	1,00
			ZS5 - sníh_R	0,75
			ZS10 - vitr_+0.2_ee	1,50
			ZS11 - stena spec21	1,00
CO97		Lineární - únosnost	ZS1 - vlastní tíha	1,35
			ZS2 - skladby	1,35
			ZS12 - stena spec22	1,35
CO98		Lineární - únosnost	ZS1 - vlastní tíha	1,00
			ZS2 - skladby	1,00
			ZS12 - stena spec22	1,00
CO99		Lineární - únosnost	ZS1 - vlastní tíha	1,35
			ZS2 - skladby	1,35
			ZS6 - vitr_-0.3_aa	0,90
			ZS12 - stena spec22	1,35
CO100		Lineární - únosnost	ZS1 - vlastní tíha	1,35
			ZS2 - skladby	1,35
			ZS7 - vitr_+0.2_bb	0,90
			ZS12 - stena spec22	1,35
CO101		Lineární - únosnost	ZS1 - vlastní tíha	1,35
			ZS2 - skladby	1,35
			ZS8 - vitr_+0.2_cc	0,90

Jméno	Popis	Typ	Zatěžovací stavy	Souč. [-]
			ZS12 - stena spec22	1,35
CO102		Lineární - únosnost	ZS1 - vlastní tíha	1,35
			ZS2 - skladby	1,35
			ZS9 - vitr_-0.3_dd	0,90
			ZS12 - stena spec22	1,35
CO103		Lineární - únosnost	ZS1 - vlastní tíha	1,35
			ZS2 - skladby	1,35
			ZS10 - vitr_+0.2_ee	0,90
			ZS12 - stena spec22	1,35
CO104		Lineární - únosnost	ZS1 - vlastní tíha	1,35
			ZS2 - skladby	1,35
			ZS3 - sníh_rovnoměrný	1,50
			ZS12 - stena spec22	1,35
CO105		Lineární - únosnost	ZS1 - vlastní tíha	1,35
			ZS2 - skladby	1,35
			ZS4 - sníh L	1,50
			ZS12 - stena spec22	1,35
CO106		Lineární - únosnost	ZS1 - vlastní tíha	1,35
			ZS2 - skladby	1,35
			ZS5 - sníh_R	1,50
			ZS12 - stena spec22	1,35
CO107		Lineární - únosnost	ZS1 - vlastní tíha	1,35
			ZS2 - skladby	1,35
			ZS3 - sníh_rovnoměrný	1,50
			ZS6 - vitr_-0.3_aa	0,90
			ZS12 - stena spec22	1,35
CO108		Lineární - únosnost	ZS1 - vlastní tíha	1,35
			ZS2 - skladby	1,35
			ZS4 - sníh L	1,50
			ZS6 - vitr_-0.3_aa	0,90
			ZS12 - stena spec22	1,35
CO109		Lineární - únosnost	ZS1 - vlastní tíha	1,35
			ZS2 - skladby	1,35
			ZS3 - sníh_rovnoměrný	1,50
			ZS7 - vitr_+0.2_bb	0,90
			ZS12 - stena spec22	1,35
CO110		Lineární - únosnost	ZS1 - vlastní tíha	1,35
			ZS2 - skladby	1,35
			ZS5 - sníh_R	1,50
			ZS6 - vitr_-0.3_aa	0,90
			ZS12 - stena spec22	1,35
CO111		Lineární - únosnost	ZS1 - vlastní tíha	1,35
			ZS2 - skladby	1,35
			ZS4 - sníh L	1,50
			ZS7 - vitr_+0.2_bb	0,90
			ZS12 - stena spec22	1,35
CO112		Lineární - únosnost	ZS1 - vlastní tíha	1,35
			ZS2 - skladby	1,35
			ZS3 - sníh_rovnoměrný	1,50
			ZS8 - vitr_+0.2_cc	0,90
			ZS12 - stena spec22	1,35
CO113		Lineární - únosnost	ZS1 - vlastní tíha	1,35
			ZS2 - skladby	1,35
			ZS5 - sníh_R	1,50
			ZS7 - vitr_+0.2_bb	0,90
			ZS12 - stena spec22	1,35
CO114		Lineární - únosnost	ZS1 - vlastní tíha	1,35
			ZS2 - skladby	1,35
			ZS4 - sníh L	1,50
			ZS8 - vitr_+0.2_cc	0,90
			ZS12 - stena spec22	1,35
CO115		Lineární - únosnost	ZS1 - vlastní tíha	1,35
			ZS2 - skladby	1,35
			ZS3 - sníh_rovnoměrný	1,50
			ZS9 - vitr_-0.3_dd	0,90
			ZS12 - stena spec22	1,35
CO116		Lineární - únosnost	ZS1 - vlastní tíha	1,35
			ZS2 - skladby	1,35
			ZS5 - sníh_R	1,50
			ZS8 - vitr_+0.2_cc	0,90

Jméno	Popis	Typ	Zatěžovací stavy	Souč. [-]
			ZS12 - stena spec22	1,35
CO117		Lineární - únosnost	ZS1 - vlastní tíha	1,35
			ZS2 - skladby	1,35
			ZS4 - sníh L	1,50
			ZS9 - vitr_-0.3_dd	0,90
			ZS12 - stena spec22	1,35
CO118		Lineární - únosnost	ZS1 - vlastní tíha	1,35
			ZS2 - skladby	1,35
			ZS3 - sníh_rovnoměrný	1,50
			ZS10 - vitr_+0.2_ee	0,90
			ZS12 - stena spec22	1,35
CO119		Lineární - únosnost	ZS1 - vlastní tíha	1,35
			ZS2 - skladby	1,35
			ZS5 - sníh_R	1,50
			ZS9 - vitr_-0.3_dd	0,90
			ZS12 - stena spec22	1,35
CO120		Lineární - únosnost	ZS1 - vlastní tíha	1,35
			ZS2 - skladby	1,35
			ZS4 - sníh L	1,50
			ZS10 - vitr_+0.2_ee	0,90
			ZS12 - stena spec22	1,35
CO121		Lineární - únosnost	ZS1 - vlastní tíha	1,35
			ZS2 - skladby	1,35
			ZS5 - sníh_R	1,50
			ZS10 - vitr_+0.2_ee	0,90
			ZS12 - stena spec22	1,35
CO122		Lineární - únosnost	ZS1 - vlastní tíha	1,00
			ZS2 - skladby	1,00
			ZS6 - vitr_-0.3_aa	0,90
			ZS12 - stena spec22	1,00
CO123		Lineární - únosnost	ZS1 - vlastní tíha	1,00
			ZS2 - skladby	1,00
			ZS7 - vitr_+0.2_bb	0,90
			ZS12 - stena spec22	1,00
CO124		Lineární - únosnost	ZS1 - vlastní tíha	1,00
			ZS2 - skladby	1,00
			ZS8 - vitr_+0.2_cc	0,90
			ZS12 - stena spec22	1,00
CO125		Lineární - únosnost	ZS1 - vlastní tíha	1,00
			ZS2 - skladby	1,00
			ZS9 - vitr_-0.3_dd	0,90
			ZS12 - stena spec22	1,00
CO126		Lineární - únosnost	ZS1 - vlastní tíha	1,00
			ZS2 - skladby	1,00
			ZS10 - vitr_+0.2_ee	0,90
			ZS12 - stena spec22	1,00
CO127		Lineární - únosnost	ZS1 - vlastní tíha	1,00
			ZS2 - skladby	1,00
			ZS3 - sníh_rovnoměrný	1,50
			ZS12 - stena spec22	1,00
CO128		Lineární - únosnost	ZS1 - vlastní tíha	1,00
			ZS2 - skladby	1,00
			ZS4 - sníh L	1,50
			ZS12 - stena spec22	1,00
CO129		Lineární - únosnost	ZS1 - vlastní tíha	1,00
			ZS2 - skladby	1,00
			ZS5 - sníh_R	1,50
			ZS12 - stena spec22	1,00
CO130		Lineární - únosnost	ZS1 - vlastní tíha	1,00
			ZS2 - skladby	1,00
			ZS3 - sníh_rovnoměrný	1,50
			ZS6 - vitr_-0.3_aa	0,90
			ZS12 - stena spec22	1,00
CO131		Lineární - únosnost	ZS1 - vlastní tíha	1,00
			ZS2 - skladby	1,00
			ZS4 - sníh L	1,50
			ZS6 - vitr_-0.3_aa	0,90
			ZS12 - stena spec22	1,00
CO132		Lineární - únosnost	ZS1 - vlastní tíha	1,00
			ZS2 - skladby	1,00

Jméno	Popis	Typ	Zatěžovací stavy	Souč. [-]
			ZS3 - sníh_rovnoměrný	1,50
			ZS7 - vitr_+0.2_bb	0,90
			ZS12 - stena spec22	1,00
CO133		Lineární - únosnost	ZS1 - vlastní tíha	1,00
			ZS2 - skladby	1,00
			ZS5 - sníh_R	1,50
			ZS6 - vitr_-0.3_aa	0,90
			ZS12 - stena spec22	1,00
CO134		Lineární - únosnost	ZS1 - vlastní tíha	1,00
			ZS2 - skladby	1,00
			ZS4 - sníh L	1,50
			ZS7 - vitr_+0.2_bb	0,90
			ZS12 - stena spec22	1,00
CO135		Lineární - únosnost	ZS1 - vlastní tíha	1,00
			ZS2 - skladby	1,00
			ZS3 - sníh_rovnoměrný	1,50
			ZS8 - vitr_+0.2_cc	0,90
			ZS12 - stena spec22	1,00
CO136		Lineární - únosnost	ZS1 - vlastní tíha	1,00
			ZS2 - skladby	1,00
			ZS5 - sníh_R	1,50
			ZS7 - vitr_+0.2_bb	0,90
			ZS12 - stena spec22	1,00
CO137		Lineární - únosnost	ZS1 - vlastní tíha	1,00
			ZS2 - skladby	1,00
			ZS4 - sníh L	1,50
			ZS8 - vitr_+0.2_cc	0,90
			ZS12 - stena spec22	1,00
CO138		Lineární - únosnost	ZS1 - vlastní tíha	1,00
			ZS2 - skladby	1,00
			ZS3 - sníh_rovnoměrný	1,50
			ZS9 - vitr_-0.3_dd	0,90
			ZS12 - stena spec22	1,00
CO139		Lineární - únosnost	ZS1 - vlastní tíha	1,00
			ZS2 - skladby	1,00
			ZS5 - sníh_R	1,50
			ZS8 - vitr_+0.2_cc	0,90
			ZS12 - stena spec22	1,00
CO140		Lineární - únosnost	ZS1 - vlastní tíha	1,00
			ZS2 - skladby	1,00
			ZS4 - sníh L	1,50
			ZS9 - vitr_-0.3_dd	0,90
			ZS12 - stena spec22	1,00
CO141		Lineární - únosnost	ZS1 - vlastní tíha	1,00
			ZS2 - skladby	1,00
			ZS3 - sníh_rovnoměrný	1,50
			ZS10 - vitr_+0.2_ee	0,90
			ZS12 - stena spec22	1,00
CO142		Lineární - únosnost	ZS1 - vlastní tíha	1,00
			ZS2 - skladby	1,00
			ZS5 - sníh_R	1,50
			ZS9 - vitr_-0.3_dd	0,90
			ZS12 - stena spec22	1,00
CO143		Lineární - únosnost	ZS1 - vlastní tíha	1,00
			ZS2 - skladby	1,00
			ZS4 - sníh L	1,50
			ZS10 - vitr_+0.2_ee	0,90
			ZS12 - stena spec22	1,00
CO144		Lineární - únosnost	ZS1 - vlastní tíha	1,00
			ZS2 - skladby	1,00
			ZS5 - sníh_R	1,50
			ZS10 - vitr_+0.2_ee	0,90
			ZS12 - stena spec22	1,00
CO145		Lineární - únosnost	ZS1 - vlastní tíha	1,35
			ZS2 - skladby	1,35
			ZS3 - sníh_rovnoměrný	0,75
			ZS12 - stena spec22	1,35
CO146		Lineární - únosnost	ZS1 - vlastní tíha	1,35
			ZS2 - skladby	1,35
			ZS4 - sníh L	0,75

Jméno	Popis	Typ	Zatěžovací stavy	Souč. [-]
			ZS12 - stena spec22	1,35
CO147		Lineární - únosnost	ZS1 - vlastní tíha	1,35
			ZS2 - skladby	1,35
			ZS5 - sníh_R	0,75
			ZS12 - stena spec22	1,35
CO148		Lineární - únosnost	ZS1 - vlastní tíha	1,35
			ZS2 - skladby	1,35
			ZS6 - vitr_-0.3_aa	1,50
			ZS12 - stena spec22	1,35
CO149		Lineární - únosnost	ZS1 - vlastní tíha	1,35
			ZS2 - skladby	1,35
			ZS7 - vitr_+0.2_bb	1,50
			ZS12 - stena spec22	1,35
CO150		Lineární - únosnost	ZS1 - vlastní tíha	1,35
			ZS2 - skladby	1,35
			ZS8 - vitr_+0.2_cc	1,50
			ZS12 - stena spec22	1,35
CO151		Lineární - únosnost	ZS1 - vlastní tíha	1,35
			ZS2 - skladby	1,35
			ZS9 - vitr_-0.3_dd	1,50
			ZS12 - stena spec22	1,35
CO152		Lineární - únosnost	ZS1 - vlastní tíha	1,35
			ZS2 - skladby	1,35
			ZS10 - vitr_+0.2_ee	1,50
			ZS12 - stena spec22	1,35
CO153		Lineární - únosnost	ZS1 - vlastní tíha	1,35
			ZS2 - skladby	1,35
			ZS3 - sníh_rovnomořný	0,75
			ZS6 - vitr_-0.3_aa	1,50
			ZS12 - stena spec22	1,35
CO154		Lineární - únosnost	ZS1 - vlastní tíha	1,35
			ZS2 - skladby	1,35
			ZS4 - sníh_L	0,75
			ZS6 - vitr_-0.3_aa	1,50
			ZS12 - stena spec22	1,35
CO155		Lineární - únosnost	ZS1 - vlastní tíha	1,35
			ZS2 - skladby	1,35
			ZS3 - sníh_rovnomořný	0,75
			ZS7 - vitr_+0.2_bb	1,50
			ZS12 - stena spec22	1,35
CO156		Lineární - únosnost	ZS1 - vlastní tíha	1,35
			ZS2 - skladby	1,35
			ZS5 - sníh_R	0,75
			ZS6 - vitr_-0.3_aa	1,50
			ZS12 - stena spec22	1,35
CO157		Lineární - únosnost	ZS1 - vlastní tíha	1,35
			ZS2 - skladby	1,35
			ZS4 - sníh_L	0,75
			ZS7 - vitr_+0.2_bb	1,50
			ZS12 - stena spec22	1,35
CO158		Lineární - únosnost	ZS1 - vlastní tíha	1,35
			ZS2 - skladby	1,35
			ZS3 - sníh_rovnomořný	0,75
			ZS8 - vitr_+0.2_cc	1,50
			ZS12 - stena spec22	1,35
CO159		Lineární - únosnost	ZS1 - vlastní tíha	1,35
			ZS2 - skladby	1,35
			ZS5 - sníh_R	0,75
			ZS7 - vitr_+0.2_bb	1,50
			ZS12 - stena spec22	1,35
CO160		Lineární - únosnost	ZS1 - vlastní tíha	1,35
			ZS2 - skladby	1,35
			ZS4 - sníh_L	0,75
			ZS8 - vitr_+0.2_cc	1,50
			ZS12 - stena spec22	1,35
CO161		Lineární - únosnost	ZS1 - vlastní tíha	1,35
			ZS2 - skladby	1,35
			ZS3 - sníh_rovnomořný	0,75
			ZS9 - vitr_-0.3_dd	1,50
			ZS12 - stena spec22	1,35

Jméno	Popis	Typ	Zatěžovací stavy	Souč. [-]
CO162		Lineární - únosnost	ZS1 - vlastní tíha	1,35
			ZS2 - skladby	1,35
			ZS5 - sníh_R	0,75
			ZS8 - vitr_+0.2_cc	1,50
			ZS12 - stena spec22	1,35
CO163		Lineární - únosnost	ZS1 - vlastní tíha	1,35
			ZS2 - skladby	1,35
			ZS4 - sníh L	0,75
			ZS9 - vitr_-0.3_dd	1,50
			ZS12 - stena spec22	1,35
CO164		Lineární - únosnost	ZS1 - vlastní tíha	1,35
			ZS2 - skladby	1,35
			ZS3 - sníh_rovnoměrný	0,75
			ZS10 - vitr_+0.2_ee	1,50
			ZS12 - stena spec22	1,35
CO165		Lineární - únosnost	ZS1 - vlastní tíha	1,35
			ZS2 - skladby	1,35
			ZS5 - sníh_R	0,75
			ZS9 - vitr_-0.3_dd	1,50
			ZS12 - stena spec22	1,35
CO166		Lineární - únosnost	ZS1 - vlastní tíha	1,35
			ZS2 - skladby	1,35
			ZS4 - sníh L	0,75
			ZS10 - vitr_+0.2_ee	1,50
			ZS12 - stena spec22	1,35
CO167		Lineární - únosnost	ZS1 - vlastní tíha	1,35
			ZS2 - skladby	1,35
			ZS5 - sníh_R	0,75
			ZS10 - vitr_+0.2_ee	1,50
			ZS12 - stena spec22	1,35
CO168		Lineární - únosnost	ZS1 - vlastní tíha	1,00
			ZS2 - skladby	1,00
			ZS3 - sníh_rovnoměrný	0,75
			ZS12 - stena spec22	1,00
CO169		Lineární - únosnost	ZS1 - vlastní tíha	1,00
			ZS2 - skladby	1,00
			ZS4 - sníh L	0,75
			ZS12 - stena spec22	1,00
CO170		Lineární - únosnost	ZS1 - vlastní tíha	1,00
			ZS2 - skladby	1,00
			ZS5 - sníh_R	0,75
			ZS12 - stena spec22	1,00
CO171		Lineární - únosnost	ZS1 - vlastní tíha	1,00
			ZS2 - skladby	1,00
			ZS6 - vitr_-0.3_aa	1,50
			ZS12 - stena spec22	1,00
CO172		Lineární - únosnost	ZS1 - vlastní tíha	1,00
			ZS2 - skladby	1,00
			ZS7 - vitr_+0.2_bb	1,50
			ZS12 - stena spec22	1,00
CO173		Lineární - únosnost	ZS1 - vlastní tíha	1,00
			ZS2 - skladby	1,00
			ZS8 - vitr_+0.2_cc	1,50
			ZS12 - stena spec22	1,00
CO174		Lineární - únosnost	ZS1 - vlastní tíha	1,00
			ZS2 - skladby	1,00
			ZS9 - vitr_-0.3_dd	1,50
			ZS12 - stena spec22	1,00
CO175		Lineární - únosnost	ZS1 - vlastní tíha	1,00
			ZS2 - skladby	1,00
			ZS10 - vitr_+0.2_ee	1,50
			ZS12 - stena spec22	1,00
CO176		Lineární - únosnost	ZS1 - vlastní tíha	1,00
			ZS2 - skladby	1,00
			ZS3 - sníh_rovnoměrný	0,75
			ZS6 - vitr_-0.3_aa	1,50
			ZS12 - stena spec22	1,00
CO177		Lineární - únosnost	ZS1 - vlastní tíha	1,00
			ZS2 - skladby	1,00
			ZS4 - sníh L	0,75

Jméno	Popis	Typ	Zatěžovací stavy	Souč. [-]
			ZS6 - vitr_-0.3_aa	1,50
			ZS12 - stena spec22	1,00
CO178		Lineární - únosnost	ZS1 - vlastní tíha	1,00
			ZS2 - skladby	1,00
			ZS3 - sníh_rovnoměrný	0,75
			ZS7 - vitr_+0.2_bb	1,50
			ZS12 - stena spec22	1,00
CO179		Lineární - únosnost	ZS1 - vlastní tíha	1,00
			ZS2 - skladby	1,00
			ZS5 - sníh_R	0,75
			ZS6 - vitr_-0.3_aa	1,50
			ZS12 - stena spec22	1,00
CO180		Lineární - únosnost	ZS1 - vlastní tíha	1,00
			ZS2 - skladby	1,00
			ZS4 - sníh L	0,75
			ZS7 - vitr_+0.2_bb	1,50
			ZS12 - stena spec22	1,00
CO181		Lineární - únosnost	ZS1 - vlastní tíha	1,00
			ZS2 - skladby	1,00
			ZS3 - sníh_rovnoměrný	0,75
			ZS8 - vitr_+0.2_cc	1,50
			ZS12 - stena spec22	1,00
CO182		Lineární - únosnost	ZS1 - vlastní tíha	1,00
			ZS2 - skladby	1,00
			ZS5 - sníh_R	0,75
			ZS7 - vitr_+0.2_bb	1,50
			ZS12 - stena spec22	1,00
CO183		Lineární - únosnost	ZS1 - vlastní tíha	1,00
			ZS2 - skladby	1,00
			ZS4 - sníh L	0,75
			ZS8 - vitr_+0.2_cc	1,50
			ZS12 - stena spec22	1,00
CO184		Lineární - únosnost	ZS1 - vlastní tíha	1,00
			ZS2 - skladby	1,00
			ZS3 - sníh_rovnoměrný	0,75
			ZS9 - vitr_-0.3_dd	1,50
			ZS12 - stena spec22	1,00
CO185		Lineární - únosnost	ZS1 - vlastní tíha	1,00
			ZS2 - skladby	1,00
			ZS5 - sníh_R	0,75
			ZS8 - vitr_+0.2_cc	1,50
			ZS12 - stena spec22	1,00
CO186		Lineární - únosnost	ZS1 - vlastní tíha	1,00
			ZS2 - skladby	1,00
			ZS4 - sníh L	0,75
			ZS9 - vitr_-0.3_dd	1,50
			ZS12 - stena spec22	1,00
CO187		Lineární - únosnost	ZS1 - vlastní tíha	1,00
			ZS2 - skladby	1,00
			ZS3 - sníh_rovnoměrný	0,75
			ZS10 - vitr_+0.2_ee	1,50
			ZS12 - stena spec22	1,00
CO188		Lineární - únosnost	ZS1 - vlastní tíha	1,00
			ZS2 - skladby	1,00
			ZS5 - sníh_R	0,75
			ZS9 - vitr_-0.3_dd	1,50
			ZS12 - stena spec22	1,00
CO189		Lineární - únosnost	ZS1 - vlastní tíha	1,00
			ZS2 - skladby	1,00
			ZS4 - sníh L	0,75
			ZS10 - vitr_+0.2_ee	1,50
			ZS12 - stena spec22	1,00
CO190		Lineární - únosnost	ZS1 - vlastní tíha	1,00
			ZS2 - skladby	1,00
			ZS5 - sníh_R	0,75
			ZS10 - vitr_+0.2_ee	1,50
			ZS12 - stena spec22	1,00


**Skupiny výsledků**

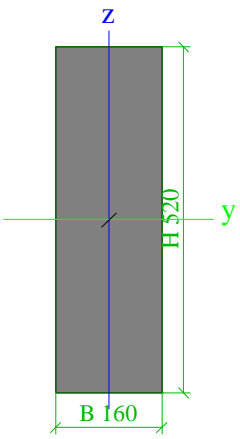
Jméno	Popis	Výpis
GEO		CO1 - EN-MSÚ (STR/GEO) Soubor B CO2 - EN-MSÚ (STR/GEO) Soubor B
NC_MSU	nelinear	NC1
		NC2
		NC3
		NC4
		NC5
		NC6
		NC7
		NC8
		NC9
		NC10
		NC11
		NC12
		NC13
		NC14
		NC15
		NC16
		NC17
		NC18
		NC19
		NC20
		NC21
		NC22
		NC23
		NC24
		NC25
		NC26
		NC27
		NC28
		NC29
		NC30
		NC31
		NC32
		NC33
		NC34
		NC35
		NC36
		NC37
		NC38
		NC39
		NC40
		NC41
		NC42
		NC43
		NC44
		NC45
		NC46
		NC47
		NC48
		NC49
		NC50
		NC51
		NC52
		NC53
		NC54
		NC55
		NC56
		NC57
		NC58
		NC59
		NC60
		NC61
		NC62
		NC63
		NC64
		NC65
		NC66
		NC67

Jméno	Popis	Výpis
		NC68
		NC69
		NC70
		NC71
		NC72
		NC73
		NC74
		NC75
		NC76
		NC77
		NC78
		NC79
		NC80
		NC81
		NC82
		NC83
		NC84
		NC85
		NC86
		NC87
		NC88
		NC89
		NC90
		NC91
		NC92
		NC93
		NC94
		NC95
		NC96
		NC97
		NC98
		NC99
		NC100
		NC101
		NC102
		NC103
		NC104
		NC105
		NC106
		NC107
		NC108
		NC109
		NC110
		NC111
		NC112
		NC113
		NC114
		NC115
		NC116
		NC117
		NC118
		NC119
		NC120
		NC121
		NC122
		NC123
		NC124
		NC125
		NC126
		NC127
		NC128
		NC129
		NC130
		NC131
		NC132
		NC133
		NC134
		NC135
		NC136
		NC137
		NC138


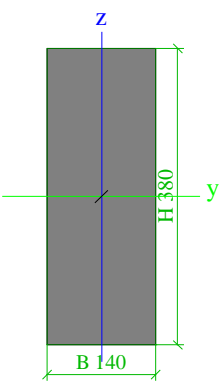
Jméno	Popis	Výpis
		NC139
		NC140
		NC141
		NC142
		NC143
		NC144
		NC145
		NC146
		NC147
		NC148
		NC149
		NC150
		NC151
		NC152
		NC153
		NC154
		NC155
		NC156
		NC157
		NC158
		NC159
		NC160
		NC161
		NC162
		NC163
		NC164
		NC165
		NC166
		NC167
		NC168
		NC169
		NC170
		NC171
		NC172
		NC173
		NC174
		NC175
		NC176
		NC177
		NC178
		NC179
		NC180
		NC181
		NC183
		NC184
		NC185
		NC186
		NC187
		NC188
		NC182

## 5. Průřezy


CS1			
Typ	OBDEL		
Detailní	160; 520		
Typ tvaru	Tlustostěnný		
Materiál	GL 24h (EN 14080)		
Výroba	dřevo		
Barva			
A [m <sup>2</sup> ]	8,3200e-02		
A <sub>y</sub> [m <sup>2</sup> ], A <sub>z</sub> [m <sup>2</sup> ]	6,9334e-02	6,9333e-02	
A <sub>L</sub> [m <sup>2</sup> /m], A <sub>B</sub> [m <sup>2</sup> /m]	1,3600e+00	1,3600e+00	
C <sub>y,UCS</sub> [mm], C <sub>z,UCS</sub> [mm]	80	260	
α [deg]	0,00		
I <sub>y</sub> [m <sup>4</sup> ], I <sub>z</sub> [m <sup>4</sup> ]	1,8748e-03	1,7749e-04	
i <sub>y</sub> [mm], i <sub>z</sub> [mm]	150	46	
W <sub>el,y</sub> [m <sup>3</sup> ], W <sub>el,z</sub> [m <sup>3</sup> ]	7,2107e-03	2,2187e-03	
W <sub>pl,y</sub> [m <sup>3</sup> ], W <sub>pl,z</sub> [m <sup>3</sup> ]	9,6142e-03	2,9582e-03	

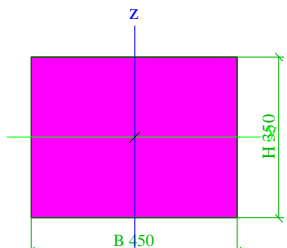
$M_{pl,y,+}$ [Nm], $M_{pl,y,-}$ [Nm]	2,31e+05	2,31e+05
$M_{pl,z,+}$ [Nm], $M_{pl,z,-}$ [Nm]	7,10e+04	7,10e+04
$d_y$ [mm], $d_z$ [mm]	0	0
$I_t$ [m <sup>4</sup> ], $I_w$ [m <sup>6</sup> ]	5,7063e-04	2,6663e-06
$\beta_y$ [mm], $\beta_z$ [mm]	0	0
Obrázek		


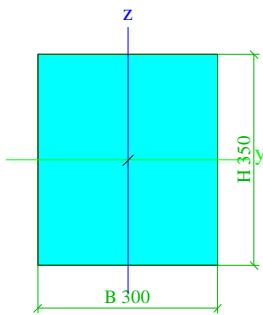
**CS2**


Typ	OBDEL	
Detailní	140; 380	
Typ tvaru	Tlustostěnný	
Materiál	GL 24h (EN 14080)	
Výroba	dřevo	
Barva		
A [m <sup>2</sup> ]	5,3200e-02	
$A_y$ [m <sup>2</sup> ], $A_z$ [m <sup>2</sup> ]	4,4333e-02	4,4333e-02
$A_L$ [m <sup>2</sup> /m], $A_D$ [m <sup>2</sup> /m]	1,0400e+00	1,0400e+00
$C_{Y,UCS}$ [mm], $C_{Z,UCS}$ [mm]	70	190
$\alpha$ [deg]	0,00	
$I_y$ [m <sup>4</sup> ], $I_z$ [m <sup>4</sup> ]	6,4017e-04	8,6893e-05
$i_y$ [mm], $i_z$ [mm]	110	40
$W_{el,y}$ [m <sup>3</sup> ], $W_{el,z}$ [m <sup>3</sup> ]	3,3693e-03	1,2413e-03
$W_{pl,y}$ [m <sup>3</sup> ], $W_{pl,z}$ [m <sup>3</sup> ]	4,4924e-03	1,6551e-03
$M_{pl,y,+}$ [Nm], $M_{pl,y,-}$ [Nm]	1,08e+05	1,08e+05
$M_{pl,z,+}$ [Nm], $M_{pl,z,-}$ [Nm]	3,97e+04	3,97e+04
$d_y$ [mm], $d_z$ [mm]	0	0
$I_t$ [m <sup>4</sup> ], $I_w$ [m <sup>6</sup> ]	2,6627e-04	5,9444e-07
$\beta_y$ [mm], $\beta_z$ [mm]	0	0
Obrázek		

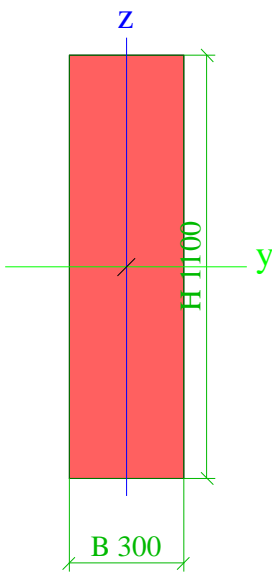
**CS3**

Typ	Obdélník	
Detailní	350; 450	
Typ tvaru	Tlustostěnný	
Materiál	C25/30	
Výroba	beton	
Barva		
A [m <sup>2</sup> ]	1,5750e-01	
$A_y$ [m <sup>2</sup> ], $A_z$ [m <sup>2</sup> ]	1,3125e-01	1,3125e-01
$A_L$ [m <sup>2</sup> /m], $A_D$ [m <sup>2</sup> /m]	1,6000e+00	1,6000e+00


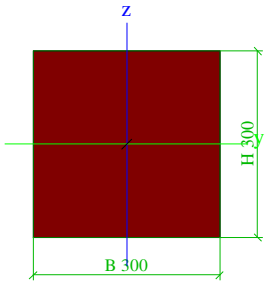
$C_{Y,UCS}$ [mm], $C_{Z,UCS}$ [mm]	225	175
$\alpha$ [deg]	0,00	
$I_y$ [m <sup>4</sup> ], $I_z$ [m <sup>4</sup> ]	1,6078e-03	2,6578e-03
$i_y$ [mm], $i_z$ [mm]	101	130
$W_{el,y}$ [m <sup>3</sup> ], $W_{el,z}$ [m <sup>3</sup> ]	9,1875e-03	1,1813e-02
$W_{pl,y}$ [m <sup>3</sup> ], $W_{pl,z}$ [m <sup>3</sup> ]	0,0000e+00	0,0000e+00
$M_{pl,y,+}$ [Nm], $M_{pl,y,-}$ [Nm]	0,00e+00	0,00e+00
$M_{pl,z,+}$ [Nm], $M_{pl,z,-}$ [Nm]	0,00e+00	0,00e+00
$d_y$ [mm], $d_z$ [mm]	0	0
$I_t$ [m <sup>4</sup> ], $I_w$ [m <sup>6</sup> ]	3,3824e-03	2,0626e-06
$\beta_y$ [mm], $\beta_z$ [mm]	0	0
Obrázek		

CS4		
Typ	Obdélník	
Detailní	350; 300	
Typ tvaru	Tlustostěnný	
Materiál	C25/30	
Výroba	beton	
Barva		
A [m <sup>2</sup> ]	1,0500e-01	
$A_y$ [m <sup>2</sup> ], $A_z$ [m <sup>2</sup> ]	8,7500e-02	8,7500e-02
$A_L$ [m <sup>2</sup> /m], $A_D$ [m <sup>2</sup> /m]	1,3000e+00	1,3000e+00
$C_{Y,UCS}$ [mm], $C_{Z,UCS}$ [mm]	150	175
$\alpha$ [deg]	0,00	
$I_y$ [m <sup>4</sup> ], $I_z$ [m <sup>4</sup> ]	1,0719e-03	7,8750e-04
$i_y$ [mm], $i_z$ [mm]	101	87
$W_{el,y}$ [m <sup>3</sup> ], $W_{el,z}$ [m <sup>3</sup> ]	6,1250e-03	5,2500e-03
$W_{pl,y}$ [m <sup>3</sup> ], $W_{pl,z}$ [m <sup>3</sup> ]	0,0000e+00	0,0000e+00
$M_{pl,y,+}$ [Nm], $M_{pl,y,-}$ [Nm]	0,00e+00	0,00e+00
$M_{pl,z,+}$ [Nm], $M_{pl,z,-}$ [Nm]	0,00e+00	0,00e+00
$d_y$ [mm], $d_z$ [mm]	0	0
$I_t$ [m <sup>4</sup> ], $I_w$ [m <sup>6</sup> ]	1,5308e-03	3,2658e-07
$\beta_y$ [mm], $\beta_z$ [mm]	0	0
Obrázek		


CS5		
Typ	Obdélník	
Detailní	1100; 300	
Typ tvaru	Tlustostěnný	
Materiál	C25/30	
Výroba	beton	
Barva		
A [m <sup>2</sup> ]	3,3000e-01	
$A_y$ [m <sup>2</sup> ], $A_z$ [m <sup>2</sup> ]	2,7500e-01	2,7500e-01
$A_L$ [m <sup>2</sup> /m], $A_D$ [m <sup>2</sup> /m]	2,8000e+00	2,8000e+00
$C_{Y,UCS}$ [mm], $C_{Z,UCS}$ [mm]	150	550
$\alpha$ [deg]	0,00	
$I_y$ [m <sup>4</sup> ], $I_z$ [m <sup>4</sup> ]	3,3275e-02	2,4750e-03
$i_y$ [mm], $i_z$ [mm]	318	87
$W_{el,y}$ [m <sup>3</sup> ], $W_{el,z}$ [m <sup>3</sup> ]	6,0500e-02	1,6500e-02

$W_{pl,y} [m^3], W_{pl,z} [m^3]$	0,0000e+00	0,0000e+00
$M_{pl,y,+} [Nm], M_{pl,y,-} [Nm]$	0,00e+00	0,00e+00
$M_{pl,z,+} [Nm], M_{pl,z,-} [Nm]$	0,00e+00	0,00e+00
$d_y [mm], d_z [mm]$	0	0
$I_t [m^4], I_w [m^6]$	8,1788e-03	1,8100e-04
$\beta_y [mm], \beta_z [mm]$	0	0
Obrázek		

**CS6**

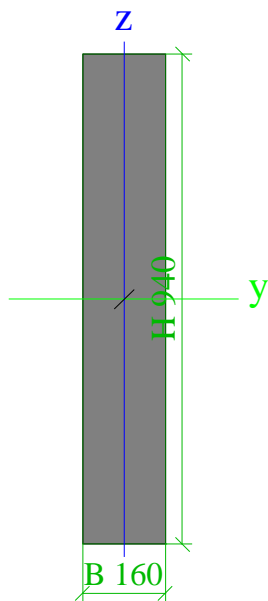
Typ	Obdélník	
Detailní	300; 300	
Typ tvaru	Tlustostěnný	
Materiál	C25/30	
Výroba	beton	
Barva		
$A [m^2]$	9,0000e-02	
$A_y [m^2], A_z [m^2]$	7,5000e-02	7,5000e-02
$A_L [m^2/m], A_D [m^2/m]$	1,2000e+00	1,2000e+00
$C_{y,UCS} [mm], C_{z,UCS} [mm]$	150	150
$\alpha [deg]$	0,00	
$I_y [m^4], I_z [m^4]$	6,7500e-04	6,7500e-04
$i_y [mm], i_z [mm]$	87	87
$W_{el,y} [m^3], W_{el,z} [m^3]$	4,5000e-03	4,5000e-03
$W_{pl,y} [m^3], W_{pl,z} [m^3]$	0,0000e+00	0,0000e+00
$M_{pl,y,+} [Nm], M_{pl,y,-} [Nm]$	0,00e+00	0,00e+00
$M_{pl,z,+} [Nm], M_{pl,z,-} [Nm]$	0,00e+00	0,00e+00
$d_y [mm], d_z [mm]$	0	0
$I_t [m^4], I_w [m^6]$	1,1369e-03	9,1138e-08
$\beta_y [mm], \beta_z [mm]$	0	0
Obrázek		


**CS7**

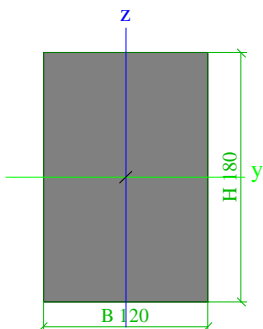

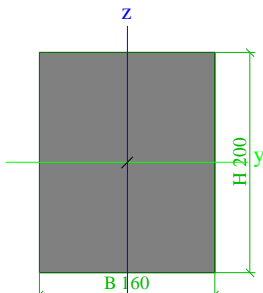

Typ	OBDEL	
Detailní	160; 940	
Typ tvaru	Tlustostěnný	
Materiál	GL 24h (EN 14080)	
Výroba	dřevo	
Barva		
$A [m^2]$	1,5040e-01	

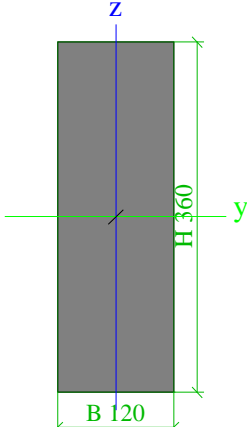

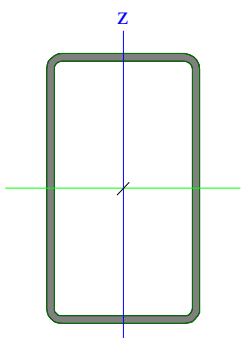

$A_y$ [m <sup>2</sup> ], $A_z$ [m <sup>2</sup> ]	1,2533e-01	1,2533e-01
$A_L$ [m <sup>2</sup> /m], $A_D$ [m <sup>2</sup> /m]	2,2000e+00	2,2000e+00
$C_{Y,UCS}$ [mm], $C_{Z,UCS}$ [mm]	80	470
$\alpha$ [deg]	0,00	
$I_y$ [m <sup>4</sup> ], $I_z$ [m <sup>4</sup> ]	1,1074e-02	3,2085e-04
$i_y$ [mm], $i_z$ [mm]	271	46
$W_{el,y}$ [m <sup>3</sup> ], $W_{el,z}$ [m <sup>3</sup> ]	2,3563e-02	4,0107e-03
$W_{pl,y}$ [m <sup>3</sup> ], $W_{pl,z}$ [m <sup>3</sup> ]	3,1417e-02	5,3476e-03
$M_{pl,y,+}$ [Nm], $M_{pl,y,-}$ [Nm]	7,54e+05	7,54e+05
$M_{pl,z,+}$ [Nm], $M_{pl,z,-}$ [Nm]	1,28e+05	1,28e+05
$d_y$ [mm], $d_z$ [mm]	0	0
$I_t$ [m <sup>4</sup> ], $I_w$ [m <sup>6</sup> ]	1,1408e-03	2,0278e-05
$\beta_y$ [mm], $\beta_z$ [mm]	0	0

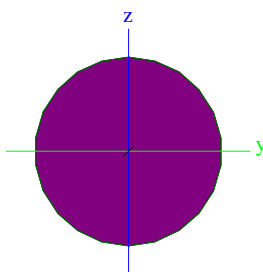
Obrázek


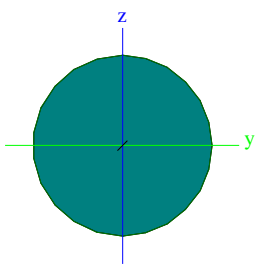
**CS8**


Typ	OBDEL	
Detailní	120; 180	
Typ tvaru	Tlustostěnný	
Materiál	C24 (EN 338)	
Výroba	dřevo	
Barva		
$A$ [m <sup>2</sup> ]	2,1600e-02	
$A_y$ [m <sup>2</sup> ], $A_z$ [m <sup>2</sup> ]	1,8000e-02	1,8000e-02
$A_L$ [m <sup>2</sup> /m], $A_D$ [m <sup>2</sup> /m]	6,0000e-01	6,0000e-01
$C_{Y,UCS}$ [mm], $C_{Z,UCS}$ [mm]	60	90
$\alpha$ [deg]	0,00	
$I_y$ [m <sup>4</sup> ], $I_z$ [m <sup>4</sup> ]	5,8320e-05	2,5920e-05
$i_y$ [mm], $i_z$ [mm]	52	35
$W_{el,y}$ [m <sup>3</sup> ], $W_{el,z}$ [m <sup>3</sup> ]	6,4800e-04	4,3200e-04
$W_{pl,y}$ [m <sup>3</sup> ], $W_{pl,z}$ [m <sup>3</sup> ]	7,9403e-04	5,2935e-04
$M_{pl,y,+}$ [Nm], $M_{pl,y,-}$ [Nm]	1,67e+04	1,67e+04
$M_{pl,z,+}$ [Nm], $M_{pl,z,-}$ [Nm]	1,11e+04	1,11e+04
$d_y$ [mm], $d_z$ [mm]	0	0
$I_t$ [m <sup>4</sup> ], $I_w$ [m <sup>6</sup> ]	6,0795e-05	1,1144e-08
$\beta_y$ [mm], $\beta_z$ [mm]	0	0

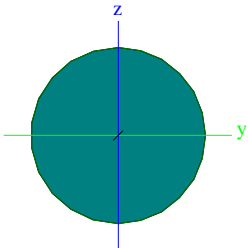
Obrázek		
CS9		
Typ	OBDEL	
Detailní	160; 200	
Typ tvaru	Tlustostěnný	
Materiál	C24 (EN 338)	
Výroba	dřevo	
Barva		
A [m <sup>2</sup> ]	3,2000e-02	
A <sub>y</sub> [m <sup>2</sup> ], A <sub>z</sub> [m <sup>2</sup> ]	2,6667e-02	2,6667e-02
A <sub>L</sub> [m <sup>2</sup> /m], A <sub>D</sub> [m <sup>2</sup> /m]	7,2000e-01	7,2000e-01
c <sub>y,UCS</sub> [mm], c <sub>z,UCS</sub> [mm]	80	100
α [deg]	0,00	
I <sub>y</sub> [m <sup>4</sup> ], I <sub>z</sub> [m <sup>4</sup> ]	1,0667e-04	6,8267e-05
i <sub>y</sub> [mm], i <sub>z</sub> [mm]	58	46
W <sub>el,y</sub> [m <sup>3</sup> ], W <sub>el,z</sub> [m <sup>3</sup> ]	1,0667e-03	8,5333e-04
W <sub>pl,y</sub> [m <sup>3</sup> ], W <sub>pl,z</sub> [m <sup>3</sup> ]	1,3070e-03	1,0456e-03
M <sub>pl,y,+</sub> [Nm], M <sub>pl,y,-</sub> [Nm]	2,74e+04	2,74e+04
M <sub>pl,z,+</sub> [Nm], M <sub>pl,z,-</sub> [Nm]	2,20e+04	2,20e+04
d <sub>y</sub> [mm], d <sub>z</sub> [mm]	0	0
I <sub>t</sub> [m <sup>4</sup> ], I <sub>w</sub> [m <sup>6</sup> ]	1,4052e-04	1,4678e-08
β <sub>y</sub> [mm], β <sub>z</sub> [mm]	0	0
Obrázek		
CS10		
Typ	OBDEL	
Detailní	120; 360	
Typ tvaru	Tlustostěnný	
Materiál	GL 24h (EN 14080)	
Výroba	dřevo	
Barva		
A [m <sup>2</sup> ]	4,3200e-02	
A <sub>y</sub> [m <sup>2</sup> ], A <sub>z</sub> [m <sup>2</sup> ]	3,6000e-02	3,6000e-02
A <sub>L</sub> [m <sup>2</sup> /m], A <sub>D</sub> [m <sup>2</sup> /m]	9,6000e-01	9,6000e-01
c <sub>y,UCS</sub> [mm], c <sub>z,UCS</sub> [mm]	60	180
α [deg]	0,00	
I <sub>y</sub> [m <sup>4</sup> ], I <sub>z</sub> [m <sup>4</sup> ]	4,6656e-04	5,1840e-05
i <sub>y</sub> [mm], i <sub>z</sub> [mm]	104	35
W <sub>el,y</sub> [m <sup>3</sup> ], W <sub>el,z</sub> [m <sup>3</sup> ]	2,5920e-03	8,6400e-04
W <sub>pl,y</sub> [m <sup>3</sup> ], W <sub>pl,z</sub> [m <sup>3</sup> ]	3,4560e-03	1,1520e-03
M <sub>pl,y,+</sub> [Nm], M <sub>pl,y,-</sub> [Nm]	8,29e+04	8,29e+04
M <sub>pl,z,+</sub> [Nm], M <sub>pl,z,-</sub> [Nm]	2,76e+04	2,76e+04
d <sub>y</sub> [mm], d <sub>z</sub> [mm]	0	0
I <sub>t</sub> [m <sup>4</sup> ], I <sub>w</sub> [m <sup>6</sup> ]	1,6332e-04	3,4956e-07
β <sub>y</sub> [mm], β <sub>z</sub> [mm]	0	0

Obrázek			
CS11			
Typ	CFRHS140X80X4		
Kód tvaru	2 - Obdélníkové uzavřené průřezy		
Typ tvaru	Tenkostěnný		
Materiál	S 235		
Výroba	tvářený za studena		
Barva			
Posudek rovinného vzpěru y-y, Posudek rovinného vzpěru z-z	c	c	
A [m <sup>2</sup> ]	1,6550e-03		
A <sub>y</sub> [m <sup>2</sup> ], A <sub>z</sub> [m <sup>2</sup> ]	6,0147e-04	1,0526e-03	
A <sub>L</sub> [m <sup>2</sup> /m], A <sub>D</sub> [m <sup>2</sup> /m]	4,2600e-01	8,2730e-01	
C <sub>y,UCS</sub> [mm], C <sub>z,UCS</sub> [mm]	40	70	
α [deg]	0,00		
I <sub>y</sub> [m <sup>4</sup> ], I <sub>z</sub> [m <sup>4</sup> ]	4,2960e-06	1,8042e-06	
i <sub>y</sub> [mm], i <sub>z</sub> [mm]	51	33	
W <sub>el,y</sub> [m <sup>3</sup> ], W <sub>el,z</sub> [m <sup>3</sup> ]	6,1370e-05	4,5100e-05	
W <sub>pl,y</sub> [m <sup>3</sup> ], W <sub>pl,z</sub> [m <sup>3</sup> ]	7,5510e-05	5,1310e-05	
M <sub>pl,y,+</sub> [Nm], M <sub>pl,y,-</sub> [Nm]	1,77e+04	1,77e+04	
M <sub>pl,z,+</sub> [Nm], M <sub>pl,z,-</sub> [Nm]	1,21e+04	1,21e+04	
d <sub>y</sub> [mm], d <sub>z</sub> [mm]	0	0	
I <sub>t</sub> [m <sup>4</sup> ], I <sub>w</sub> [m <sup>6</sup> ]	4,1160e-06	4,5995e-09	
β <sub>y</sub> [mm], β <sub>z</sub> [mm]	0	0	
Obrázek			
CS12			
Typ	RD16		
Kód tvaru	11 - Plný kruhový průřez		
Typ tvaru	Tlustostěnný		
Materiál	S 235		
Výroba	válcovaný		
Barva			
Posudek rovinného vzpěru y-y, Posudek rovinného vzpěru z-z	c	c	
A [m <sup>2</sup> ]	2,0096e-04		
A <sub>y</sub> [m <sup>2</sup> ], A <sub>z</sub> [m <sup>2</sup> ]	1,8047e-04	1,8047e-04	
A <sub>L</sub> [m <sup>2</sup> /m], A <sub>D</sub> [m <sup>2</sup> /m]	5,0133e-02	5,0263e-02	


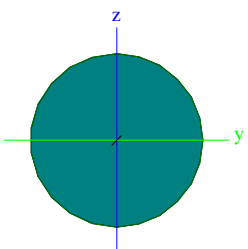
C <sub>y,UCS</sub> [mm], C <sub>z,UCS</sub> [mm]	8	8
α [deg]	0,00	
I <sub>y</sub> [m <sup>4</sup> ], I <sub>z</sub> [m <sup>4</sup> ]	3,1496e-09	3,1496e-09
i <sub>y</sub> [mm], i <sub>z</sub> [mm]	4	4
W <sub>el,y</sub> [m <sup>3</sup> ], W <sub>el,z</sub> [m <sup>3</sup> ]	3,9370e-07	3,9370e-07
W <sub>pl,y</sub> [m <sup>3</sup> ], W <sub>pl,z</sub> [m <sup>3</sup> ]	6,7190e-07	6,7190e-07
M <sub>pl,y,+</sub> [Nm], M <sub>pl,y,-</sub> [Nm]	1,60e+02	1,60e+02
M <sub>pl,z,+</sub> [Nm], M <sub>pl,z,-</sub> [Nm]	1,60e+02	1,60e+02
d <sub>y</sub> [mm], d <sub>z</sub> [mm]	0	0
I <sub>t</sub> [m <sup>4</sup> ], I <sub>w</sub> [m <sup>6</sup> ]	6,4452e-09	1,0235e-23
β <sub>y</sub> [mm], β <sub>z</sub> [mm]	0	0
Obrázek		

CS13		
Typ	RD100	
Kód tvaru	11 - Plný kruhový průřez	
Typ tvaru	Tlustostěnný	
Materiál	spec21	
Výroba	válcovaný	
Barva		
Posudek rovinného vzpěru y-y, Posudek rovinného vzpěru z-z	c	c
A [m <sup>2</sup> ]	7,8500e-03	
A <sub>y</sub> [m <sup>2</sup> ], A <sub>z</sub> [m <sup>2</sup> ]	7,0485e-03	7,0485e-03
A <sub>L</sub> [m <sup>2</sup> /m], A <sub>D</sub> [m <sup>2</sup> /m]	3,1333e-01	3,1414e-01
C <sub>y,UCS</sub> [mm], C <sub>z,UCS</sub> [mm]	50	50
α [deg]	0,00	
I <sub>y</sub> [m <sup>4</sup> ], I <sub>z</sub> [m <sup>4</sup> ]	4,8059e-06	4,8059e-06
i <sub>y</sub> [mm], i <sub>z</sub> [mm]	25	25
W <sub>el,y</sub> [m <sup>3</sup> ], W <sub>el,z</sub> [m <sup>3</sup> ]	9,6117e-05	9,6117e-05
W <sub>pl,y</sub> [m <sup>3</sup> ], W <sub>pl,z</sub> [m <sup>3</sup> ]	1,6404e-04	1,6404e-04
M <sub>pl,y,+</sub> [Nm], M <sub>pl,y,-</sub> [Nm]	4,58e+04	4,58e+04
M <sub>pl,z,+</sub> [Nm], M <sub>pl,z,-</sub> [Nm]	4,58e+04	4,58e+04
d <sub>y</sub> [mm], d <sub>z</sub> [mm]	0	0
I <sub>t</sub> [m <sup>4</sup> ], I <sub>w</sub> [m <sup>6</sup> ]	9,8368e-06	6,1003e-19
β <sub>y</sub> [mm], β <sub>z</sub> [mm]	0	0
Obrázek		


CS14		
Typ	RD90	
Kód tvaru	11 - Plný kruhový průřez	
Typ tvaru	Tlustostěnný	
Materiál	spec21	
Výroba	válcovaný	
Barva		
Posudek rovinného vzpěru y-y, Posudek rovinného vzpěru z-z	c	c
A [m <sup>2</sup> ]	6,3585e-03	
A <sub>y</sub> [m <sup>2</sup> ], A <sub>z</sub> [m <sup>2</sup> ]	5,7249e-03	5,7249e-03
A <sub>L</sub> [m <sup>2</sup> /m], A <sub>D</sub> [m <sup>2</sup> /m]	2,8200e-01	2,8273e-01

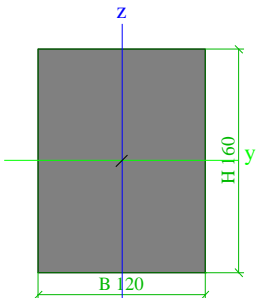
$C_{y,UCS}$ [mm], $C_{z,UCS}$ [mm]	45	45
$\alpha$ [deg]	0,00	
$I_y$ [m <sup>4</sup> ], $I_z$ [m <sup>4</sup> ]	3,1531e-06	3,1531e-06
$i_y$ [mm], $i_z$ [mm]	22	22
$W_{el,y}$ [m <sup>3</sup> ], $W_{el,z}$ [m <sup>3</sup> ]	7,0070e-05	7,0070e-05
$W_{pl,y}$ [m <sup>3</sup> ], $W_{pl,z}$ [m <sup>3</sup> ]	1,1958e-04	1,1958e-04
$M_{pl,y,+}$ [Nm], $M_{pl,y,-}$ [Nm]	3,34e+04	3,34e+04
$M_{pl,z,+}$ [Nm], $M_{pl,z,-}$ [Nm]	3,34e+04	3,34e+04
$d_y$ [mm], $d_z$ [mm]	0	0
$I_t$ [m <sup>4</sup> ], $I_w$ [m <sup>6</sup> ]	6,4539e-06	3,2419e-19
$\beta_y$ [mm], $\beta_z$ [mm]	0	0
Obrázek		

**CS15**


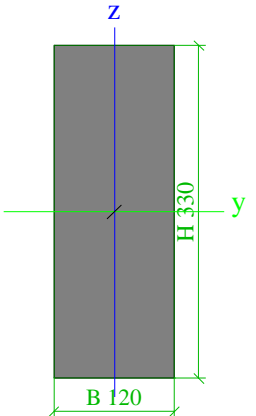
Typ	RD100	
Kód tvaru	11 - Plný kruhový průřez	
Typ tvaru	Tlustostěnný	
Materiál	spec21	
Výroba	válcovaný	
Barva		
Posudek rovinného vzpěru y-y, Posudek rovinného vzpěru z-z	c	c
$A$ [m <sup>2</sup> ]	7,8500e-03	
$A_y$ [m <sup>2</sup> ], $A_z$ [m <sup>2</sup> ]	7,0485e-03	7,0485e-03
$A_L$ [m <sup>2</sup> /m], $A_D$ [m <sup>2</sup> /m]	3,1333e-01	3,1414e-01
$C_{y,UCS}$ [mm], $C_{z,UCS}$ [mm]	50	50
$\alpha$ [deg]	0,00	
$I_y$ [m <sup>4</sup> ], $I_z$ [m <sup>4</sup> ]	4,8059e-06	4,8059e-06
$i_y$ [mm], $i_z$ [mm]	25	25
$W_{el,y}$ [m <sup>3</sup> ], $W_{el,z}$ [m <sup>3</sup> ]	9,6117e-05	9,6117e-05
$W_{pl,y}$ [m <sup>3</sup> ], $W_{pl,z}$ [m <sup>3</sup> ]	1,6404e-04	1,6404e-04
$M_{pl,y,+}$ [Nm], $M_{pl,y,-}$ [Nm]	4,58e+04	4,58e+04
$M_{pl,z,+}$ [Nm], $M_{pl,z,-}$ [Nm]	4,58e+04	4,58e+04
$d_y$ [mm], $d_z$ [mm]	0	0
$I_t$ [m <sup>4</sup> ], $I_w$ [m <sup>6</sup> ]	9,8368e-06	6,1003e-19
$\beta_y$ [mm], $\beta_z$ [mm]	0	0
Obrázek		

**CS16**


Typ	OBDEL	
Detailní	120; 160	
Typ tvaru	Tlustostěnný	
Materiál	C24 (EN 338)	
Výroba	dřevo	
Barva		
$A$ [m <sup>2</sup> ]	1,9200e-02	
$A_y$ [m <sup>2</sup> ], $A_z$ [m <sup>2</sup> ]	1,6000e-02	1,6000e-02
$A_L$ [m <sup>2</sup> /m], $A_D$ [m <sup>2</sup> /m]	5,6000e-01	5,6000e-01
$C_{y,UCS}$ [mm], $C_{z,UCS}$ [mm]	60	80
$\alpha$ [deg]	0,00	
$I_y$ [m <sup>4</sup> ], $I_z$ [m <sup>4</sup> ]	4,0960e-05	2,3040e-05
$i_y$ [mm], $i_z$ [mm]	46	35
$W_{el,y}$ [m <sup>3</sup> ], $W_{el,z}$ [m <sup>3</sup> ]	5,1200e-04	3,8400e-04

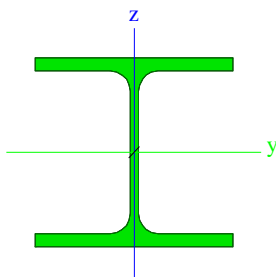
$W_{pl,y} [m^3], W_{pl,z} [m^3]$	6,2738e-04	4,7054e-04
$M_{pl,y,+} [Nm], M_{pl,y,-} [Nm]$	1,32e+04	1,32e+04
$M_{pl,z,+} [Nm], M_{pl,z,-} [Nm]$	9,88e+03	9,88e+03
$d_y [mm], d_z [mm]$	0	0
$I_t [m^4], I_w [m^6]$	4,9814e-05	4,5711e-09
$\beta_y [mm], \beta_z [mm]$	0	0
Obrázek		


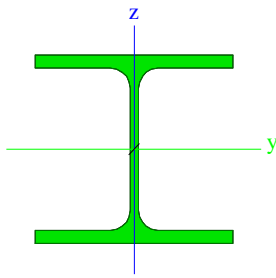
**CS17**


Typ	OBDEL	
Detailní	120; 330	
Typ tvaru	Tlustostěnný	
Materiál	GL 24h (EN 14080)	
Výroba	dřevo	
Barva		
$A [m^2]$	3,9600e-02	
$A_y [m^2], A_z [m^2]$	3,3000e-02	3,3000e-02
$A_L [m^2/m], A_D [m^2/m]$	9,0000e-01	9,0000e-01
$C_{y,UCS} [mm], C_{z,UCS} [mm]$	60	165
$\alpha [deg]$	0,00	
$I_y [m^4], I_z [m^4]$	3,5937e-04	4,7520e-05
$i_y [mm], i_z [mm]$	95	35
$W_{el,y} [m^3], W_{el,z} [m^3]$	2,1780e-03	7,9200e-04
$W_{pl,y} [m^3], W_{pl,z} [m^3]$	2,9040e-03	1,0560e-03
$M_{pl,y,+} [Nm], M_{pl,y,-} [Nm]$	6,97e+04	6,97e+04
$M_{pl,z,+} [Nm], M_{pl,z,-} [Nm]$	2,53e+04	2,53e+04
$d_y [mm], d_z [mm]$	0	0
$I_t [m^4], I_w [m^6]$	1,4609e-04	2,4751e-07
$\beta_y [mm], \beta_z [mm]$	0	0
Obrázek		

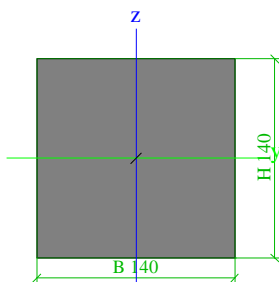
**CS18**


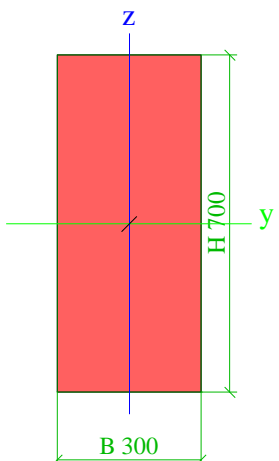
Typ	HEA120	
Kód tvaru	1 - I průřez	
Typ tvaru	Tenkostěnný	
Materiál	S 235	
Výroba	válcovaný	
Barva		
Posudek rovinného vzpěru y-y, Posudek rovinného vzpěru z-z	b	c
$A [m^2]$	2,5300e-03	
$A_y [m^2], A_z [m^2]$	1,8775e-03	6,1698e-04
$A_L [m^2/m], A_D [m^2/m]$	6,7700e-01	6,7730e-01


$C_{Y,UCS}$ [mm], $C_{Z,UCS}$ [mm]	60	57
$\alpha$ [deg]	0,00	
$I_y$ [m <sup>4</sup> ], $I_z$ [m <sup>4</sup> ]	6,0600e-06	2,3100e-06
$i_y$ [mm], $i_z$ [mm]	49	30
$W_{el,y}$ [m <sup>3</sup> ], $W_{el,z}$ [m <sup>3</sup> ]	1,0600e-04	3,8500e-05
$W_{pl,y}$ [m <sup>3</sup> ], $W_{pl,z}$ [m <sup>3</sup> ]	1,1958e-04	5,8750e-05
$M_{pl,y,+}$ [Nm], $M_{pl,y,-}$ [Nm]	2,81e+04	2,81e+04
$M_{pl,z,+}$ [Nm], $M_{pl,z,-}$ [Nm]	1,38e+04	1,38e+04
$d_y$ [mm], $d_z$ [mm]	0	0
$I_t$ [m <sup>4</sup> ], $I_w$ [m <sup>6</sup> ]	5,9900e-08	6,4719e-09
$\beta_y$ [mm], $\beta_z$ [mm]	0	0
Obrázek		

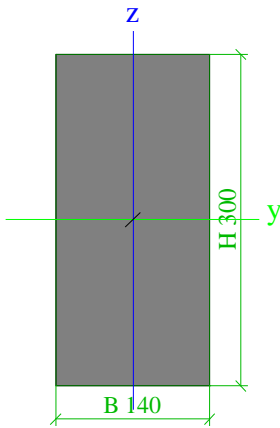
CS19		
Typ	HEA120	
Kód tvaru	1 - I průřez	
Typ tvaru	Tenkostěnný	
Materiál	S 235	
Výroba	válcovaný	
Barva		
Posudek rovinného vzpěru y-y, Posudek rovinného vzpěru z-z	b	c
A [m <sup>2</sup> ]	2,5300e-03	
$A_y$ [m <sup>2</sup> ], $A_z$ [m <sup>2</sup> ]	1,8775e-03	6,1698e-04
$A_L$ [m <sup>2</sup> /m], $A_D$ [m <sup>2</sup> /m]	6,7700e-01	6,7730e-01
$C_{Y,UCS}$ [mm], $C_{Z,UCS}$ [mm]	60	57
$\alpha$ [deg]	0,00	
$I_y$ [m <sup>4</sup> ], $I_z$ [m <sup>4</sup> ]	6,0600e-06	2,3100e-06
$i_y$ [mm], $i_z$ [mm]	49	30
$W_{el,y}$ [m <sup>3</sup> ], $W_{el,z}$ [m <sup>3</sup> ]	1,0600e-04	3,8500e-05
$W_{pl,y}$ [m <sup>3</sup> ], $W_{pl,z}$ [m <sup>3</sup> ]	1,1958e-04	5,8750e-05
$M_{pl,y,+}$ [Nm], $M_{pl,y,-}$ [Nm]	2,81e+04	2,81e+04
$M_{pl,z,+}$ [Nm], $M_{pl,z,-}$ [Nm]	1,38e+04	1,38e+04
$d_y$ [mm], $d_z$ [mm]	0	0
$I_t$ [m <sup>4</sup> ], $I_w$ [m <sup>6</sup> ]	5,9900e-08	6,4719e-09
$\beta_y$ [mm], $\beta_z$ [mm]	0	0
Obrázek		

CS20		
Typ	OBDEL	
Detailní	140; 140	
Typ tvaru	Tlustostěnný	
Materiál	C24 (EN 338)	
Výroba	dřevo	
Barva		
A [m <sup>2</sup> ]	1,9600e-02	
$A_y$ [m <sup>2</sup> ], $A_z$ [m <sup>2</sup> ]	1,6333e-02	1,6333e-02
$A_L$ [m <sup>2</sup> /m], $A_D$ [m <sup>2</sup> /m]	5,6000e-01	5,6000e-01
$C_{Y,UCS}$ [mm], $C_{Z,UCS}$ [mm]	70	70
$\alpha$ [deg]	0,00	
$I_y$ [m <sup>4</sup> ], $I_z$ [m <sup>4</sup> ]	3,2013e-05	3,2013e-05

$i_y$ [mm], $i_z$ [mm]	40	40
$W_{el,y}$ [m <sup>3</sup> ], $W_{el,z}$ [m <sup>3</sup> ]	4,5733e-04	4,5733e-04
$W_{pl,y}$ [m <sup>3</sup> ], $W_{pl,z}$ [m <sup>3</sup> ]	5,6039e-04	5,6039e-04
$M_{pl,y,+}$ [Nm], $M_{pl,y,-}$ [Nm]	1,18e+04	1,18e+04
$M_{pl,z,+}$ [Nm], $M_{pl,z,-}$ [Nm]	1,18e+04	1,18e+04
$d_y$ [mm], $d_z$ [mm]	0	0
$I_t$ [m <sup>4</sup> ], $I_w$ [m <sup>6</sup> ]	5,3929e-05	9,4968e-10
$\beta_y$ [mm], $\beta_z$ [mm]	0	0
Obrázek		

CS21		
Typ	Obdélník	
Detailní	700; 300	
Typ tvaru	Tlustostěnný	
Materiál	C25/30	
Výroba	beton	
Barva		
A [m <sup>2</sup> ]	2,1000e-01	
$A_y$ [m <sup>2</sup> ], $A_z$ [m <sup>2</sup> ]	1,7500e-01	1,7500e-01
$A_L$ [m <sup>2</sup> /m], $A_D$ [m <sup>2</sup> /m]	2,0000e+00	2,0000e+00
$c_{y,UCS}$ [mm], $c_{z,UCS}$ [mm]	150	350
$\alpha$ [deg]	0,00	
$I_y$ [m <sup>4</sup> ], $I_z$ [m <sup>4</sup> ]	8,5750e-03	1,5750e-03
$i_y$ [mm], $i_z$ [mm]	202	87
$W_{el,y}$ [m <sup>3</sup> ], $W_{el,z}$ [m <sup>3</sup> ]	2,4500e-02	1,0500e-02
$W_{pl,y}$ [m <sup>3</sup> ], $W_{pl,z}$ [m <sup>3</sup> ]	0,0000e+00	0,0000e+00
$M_{pl,y,+}$ [Nm], $M_{pl,y,-}$ [Nm]	0,00e+00	0,00e+00
$M_{pl,z,+}$ [Nm], $M_{pl,z,-}$ [Nm]	0,00e+00	0,00e+00
$d_y$ [mm], $d_z$ [mm]	0	0
$I_t$ [m <sup>4</sup> ], $I_w$ [m <sup>6</sup> ]	4,5909e-03	3,0270e-05
$\beta_y$ [mm], $\beta_z$ [mm]	0	0
Obrázek		

CS22		
Typ	OBDEL	
Detailní	140; 300	
Typ tvaru	Tlustostěnný	
Materiál	GL 24h (EN 14080)	
Výroba	dřevo	
Barva		
A [m <sup>2</sup> ]	4,2000e-02	
$A_y$ [m <sup>2</sup> ], $A_z$ [m <sup>2</sup> ]	3,5000e-02	3,5000e-02
$A_L$ [m <sup>2</sup> /m], $A_D$ [m <sup>2</sup> /m]	8,8000e-01	8,8000e-01

$C_{Y,UCS}$ [mm], $C_{Z,UCS}$ [mm]	70	150
$\alpha$ [deg]	0,00	
$I_y$ [m <sup>4</sup> ], $I_z$ [m <sup>4</sup> ]	3,1500e-04	6,8600e-05
$i_y$ [mm], $i_z$ [mm]	87	40
$W_{el,y}$ [m <sup>3</sup> ], $W_{el,z}$ [m <sup>3</sup> ]	2,1000e-03	9,8000e-04
$W_{pl,y}$ [m <sup>3</sup> ], $W_{pl,z}$ [m <sup>3</sup> ]	2,8000e-03	1,3067e-03
$M_{pl,y,+}$ [Nm], $M_{pl,y,-}$ [Nm]	6,72e+04	6,72e+04
$M_{pl,z,+}$ [Nm], $M_{pl,z,-}$ [Nm]	3,14e+04	3,14e+04
$d_y$ [mm], $d_z$ [mm]	0	0
$I_t$ [m <sup>4</sup> ], $I_w$ [m <sup>6</sup> ]	1,9339e-04	2,1069e-07
$\beta_y$ [mm], $\beta_z$ [mm]	0	0
Obrázek		

Vysvětlivky symbolů	
A	Plocha
$A_y$	Smyková plocha ve směru hlavní osy y - Vypočteno 2D MKP analýzou
$A_z$	Smyková plocha ve směru hlavní osy z - Vypočteno 2D MKP analýzou
$A_L$	Obvodový povrch na jednotku délky
$A_D$	Vysýchající povrch na jednotku délky
$C_{Y,UCS}$	Souřadnice těžiště ve směru osy Y zadávacího systému
$C_{Z,UCS}$	Souřadnice těžiště ve směru osy Z zadávacího systému
$I_{Y,LCS}$	Moment setrvačnosti kolem osy YLSS
$I_{Z,LCS}$	Moment setrvačnosti kolem osy ZLSS
$I_{YZ,LCS}$	Moment setrvačnosti $I_{yz}$ v LSS
$\alpha$	Úhel pootočení hlavní osy
$I_y$	Moment setrvačnosti kolem hlavní osy y
$I_z$	Moment setrvačnosti kolem hlavní osy z
$i_y$	Poloměr setrvačnosti kolem hlavní osy y
$i_z$	Poloměr setrvačnosti kolem hlavní osy z
$W_{el,y}$	Pružný modul průřezu k hlavní ose y
$W_{el,z}$	Pružný modul průřezu k hlavní ose z
$W_{pl,y}$	Plastický modul průřezu k hlavní ose y
$W_{pl,z}$	Plastický modul průřezu k hlavní ose z
$M_{pl,y,+}$	Plastický moment kolem hlavní osy y pro kladný moment $M_y$
$M_{pl,y,-}$	Plastický moment kolem hlavní osy y pro záporný moment $M_y$
$M_{pl,z,+}$	Plastický moment kolem hlavní osy z pro kladný moment $M_z$
$M_{pl,z,-}$	Plastický moment kolem hlavní osy z pro záporný moment $M_z$
$d_y$	Souřadnice středu smyku ve směru hlavní osy y měřená od těžiště - Vypočteno 2D MKP analýzou
$d_z$	Souřadnice středu smyku ve směru hlavní osy z měřená od těžiště - Vypočteno 2D MKP analýzou

Vysvětlivky symbolů	
$I_t$	Moment setrvačnosti v prostém kroucení - Vypočteno 2D MKP analýzou
$I_w$	Výsečový moment setrvačnosti - Vypočteno 2D MKP analýzou
$\beta_y$	Mono-symetrická konstanta kolem hlavní osy y
$\beta_z$	Mono-symetrická konstanta kolem hlavní osy z

## B) Výkaz materiálu – prutový model výpočtové hodnoty

## 6. Výkaz materiálu – orientační

Jméno	Hmotnost [kg]	Povrch [mm <sup>2</sup> ]	Objem [m <sup>3</sup> ]
Celkový součet :	84605,3	1021143908,716	6,0076e+01



Vysvětlivky symbolů	
Povrch	Pozn.: pro výpočet plochy povrchu se uvažuje pouze jeden povrch každého 2D dílce


Průřez	Materiál	Délka [mm]	Hmotnost [kg]	Povrch [mm <sup>2</sup> ]	Objemová hmotnost [kg/m <sup>3</sup> ]	Objem [m <sup>3</sup> ]
CS1 - OBDEL (160; 520)	GL 24h (EN 14080)	43247,982	1799,1	58817249,298	500,0	3,5982e+00
CS2 - OBDEL (140; 380)	GL 24h (EN 14080)	158583,069	4218,3	164926391,602	500,0	8,4366e+00
CS3 - Obdélník (350; 450)	C25/30	62000,000	24412,5	99200004,578	2500,0	9,7650e+00
CS4 - Obdélník (350; 300)	C25/30	43150,002	11326,9	56095001,221	2500,0	4,5307e+00
CS5 - Obdélník (1100; 300)	C25/30	12237,840	10096,2	34265949,249	2500,0	4,0385e+00
CS6 - Obdélník (300; 300)	C25/30	44983,650	10121,3	53980384,827	2500,0	4,0485e+00
CS7 - OBDEL (160; 940)	GL 24h (EN 14080)	49005,199	3369,1	94580039,978	500,0	6,7382e+00
CS8 - OBDEL (120; 180)	C24 (EN 338)	167939,438	1813,7	100763694,763	500,0	3,6275e+00
CS9 - OBDEL (160; 200)	C24 (EN 338)	10150,320	162,4	7308230,877	500,0	3,2481e-01
CS10 - OBDEL (120; 360)	GL 24h (EN 14080)	124180,542	2682,3	119213447,571	500,0	5,3646e+00
CS11 - CFRHS140X80X4	S 235	46248,627	600,9	19701919,556	7850,0	7,6542e-02
CS12 - RD16	S 235	72567,635	114,5	3638011,217	7850,0	1,4583e-02
CS16 - OBDEL (120; 160)	C24 (EN 338)	9951,891	95,5	5573058,128	500,0	1,9108e-01
CS17 - OBDEL (120; 330)	GL 24h (EN 14080)	20789,999	411,6	18711000,443	500,0	8,2328e-01
CS18 - HEA120	S 235	17501,329	347,6	11848401,070	7850,0	4,4278e-02
CS19 - HEA120	S 235	19945,038	396,1	13502791,405	7850,0	5,0461e-02
CS20 - OBDEL (140; 140)	C24 (EN 338)	198763,824	1947,9	111307723,999	500,0	3,8958e+00
CS21 - Obdélník (700; 300)	C25/30	20084,990	10544,6	40169979,095	2500,0	4,2178e+00
CS22 - OBDEL (140; 300)	GL 24h (EN 14080)	12162,410	144,7	7540694,237	500,0	2,8947e-01

Materiál	Hmotnost [kg]	Povrch [mm <sup>2</sup> ]	Objemová hmotnost [kg/m <sup>3</sup> ]	Objem [m <sup>3</sup> ]
S 235	1459,0	48691123,962	7850,0	1,8586e-01
C25/30	66501,5	283711303,711	2500,0	2,6601e+01
C24 (EN 338)	4019,6	224952514,648	500,0	8,0391e+00
GL 24h (EN 14080)	12625,2	463788696,289	500,0	2,5250e+01



## Typy materiálů

Ocel EC3

Jméno	$\rho$ [kg/m <sup>3</sup> ]	$E_{mod}$ [MPa] $G_{mod}$ [MPa]	$\mu$ $\alpha$ [m/mK]	Dolní mez [mm]	Horní mez [mm]	$F_y$ [MPa]	$F_u$ [MPa]	Barva
S 235	7850,0	2,1000e+05	0,3	0	40	235,0	360,0	
		8,0769e+04	0,00	40	80	215,0	360,0	
spec21	0,8	2,1000e+07	0,3	0	40	275,0	430,0	
		8,0769e+06	0,00	40	80	255,0	410,0	

Jméno	Typ	$\rho$ [kg/m <sup>3</sup> ]	Hustota v čerstvém stavu [kg/m <sup>3</sup> ]	$E_{mod}$ [MPa]	$\mu$	$\alpha$ [m/mK]	$f_{c,k,28}$ [MPa]	Barva
C25/30	Beton	2500,0	2600,0	3,1500e+04	0,2	0,00	25,00	

Timber EC5

Jméno	Typ dřeva	$\mu$	$E_{mod}$ [MPa]	$f_{m,k}$ [MPa]	$f_{t.0,k}$ [MPa]	$f_{t.90,k}$ [MPa]	$f_{c.0,k}$ [MPa]	$f_{c.90,k}$ [MPa]	$f_{v,k}$ [MPa]	Barva
	$\rho$ [kg/m <sup>3</sup> ]	$\alpha$ [m/mK]	$G_{mod}$ [MPa]							
C24 (EN 338)	Rostlé dřevo	0	1,1000e+04	24,0	14,5	0,4	21,0	2,5	4,0	
	500,0	0,00	6,9000e+02							
GL 24h (EN 14080)	Lepené, laminované	0	1,1500e+04	24,0	19,2	0,5	24,0	2,5	3,5	
	500,0	0,00	6,5000e+02							

**Tonáž ocelové konstrukce - kotvení a spojů S235\_J0**

Celkem tonáž rezerva svary a výztuhy

**5270kg****Kubatura dřevěné konstrukce**

Kubatura LLD GL24h

**32.0m<sup>3</sup>**

Kubatura řeziva C24

**10.0m<sup>3</sup>****Kotvení a spojovací materiál**

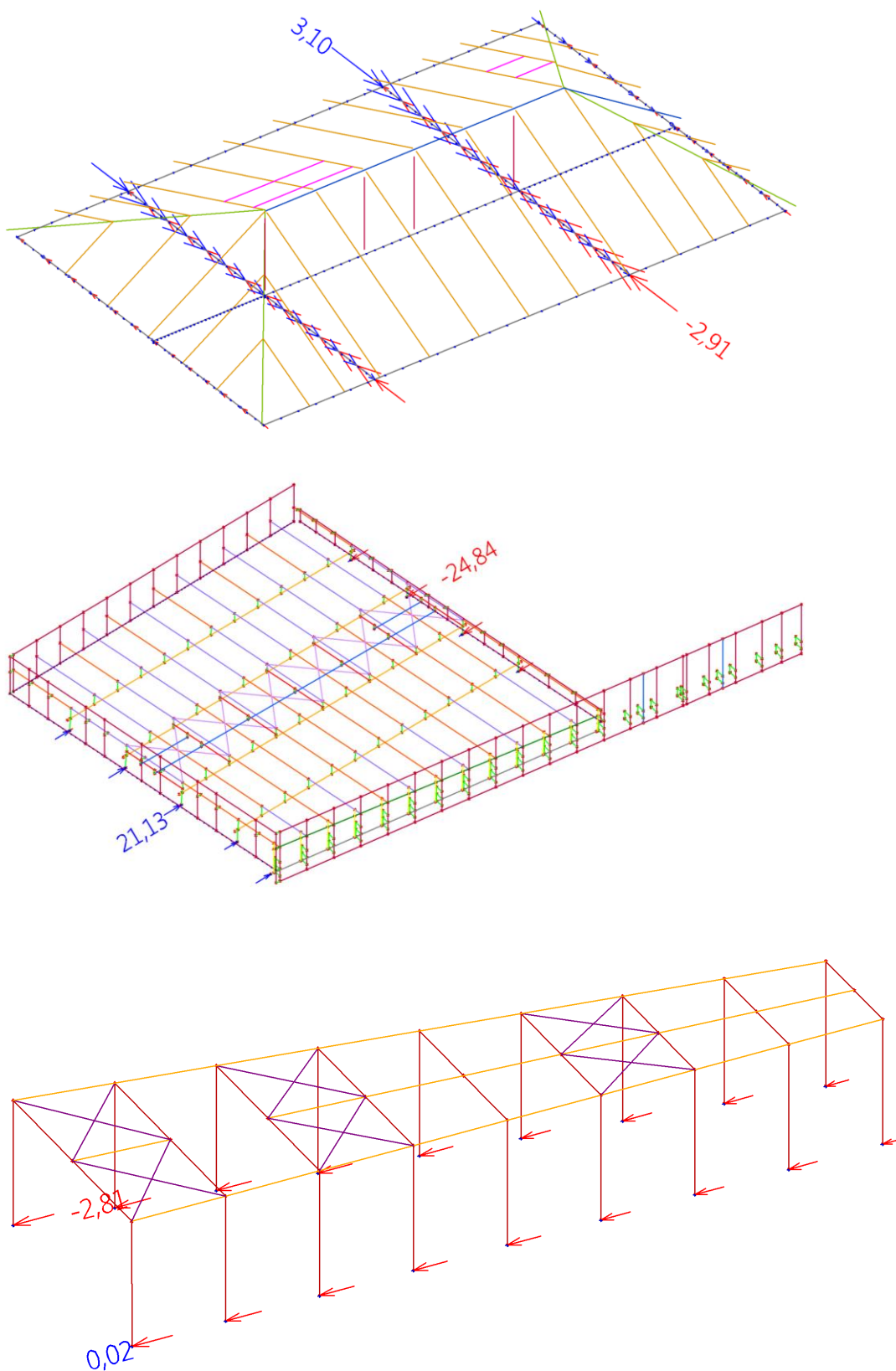
Spoje a kotvení

**47 000 korun**

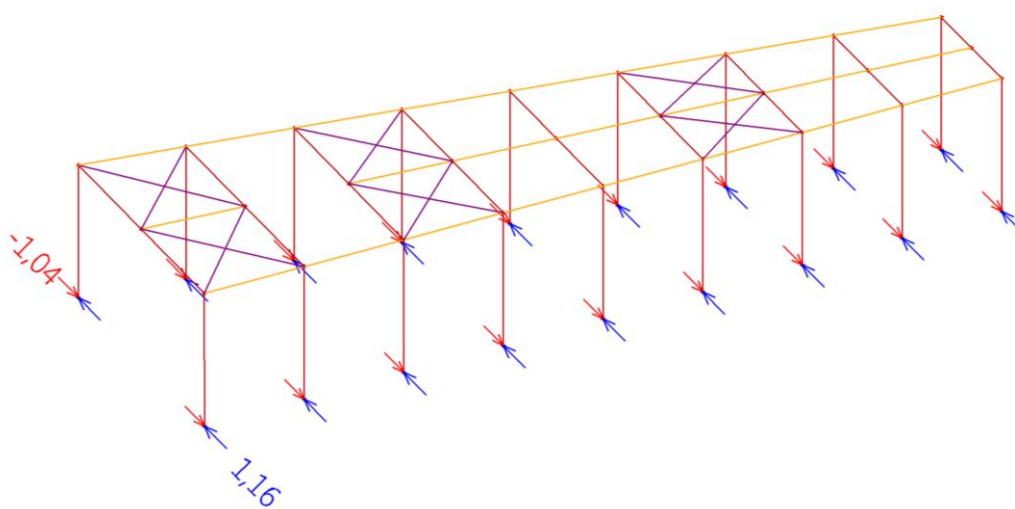
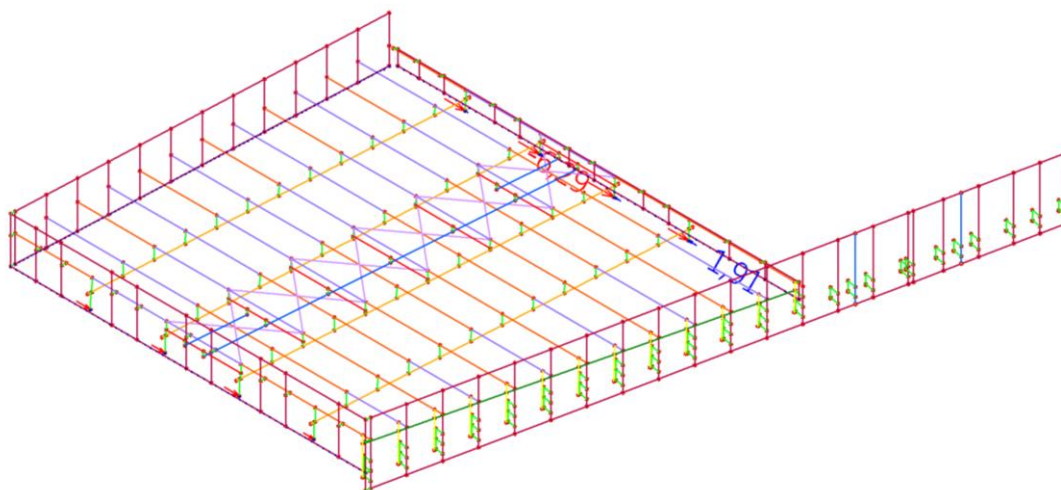
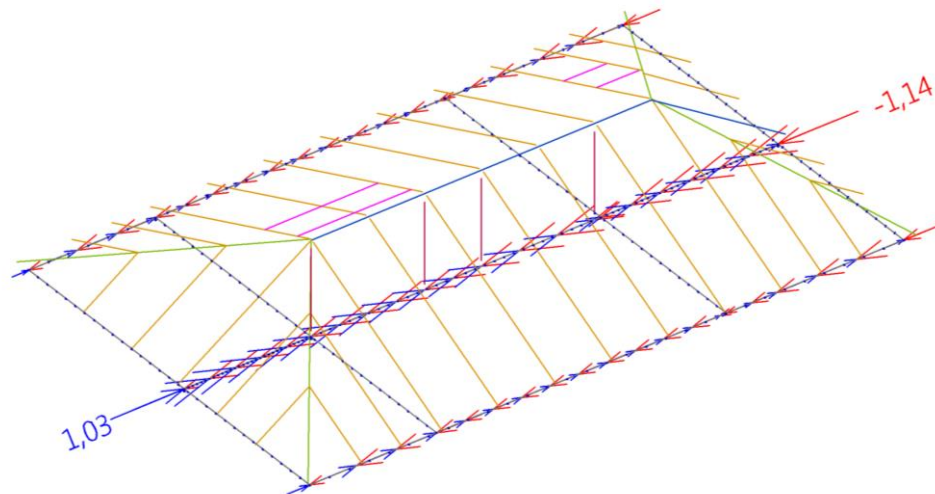
Uvedené kubatury jsou zohledněny se rezervou je zde možná optimalizace.

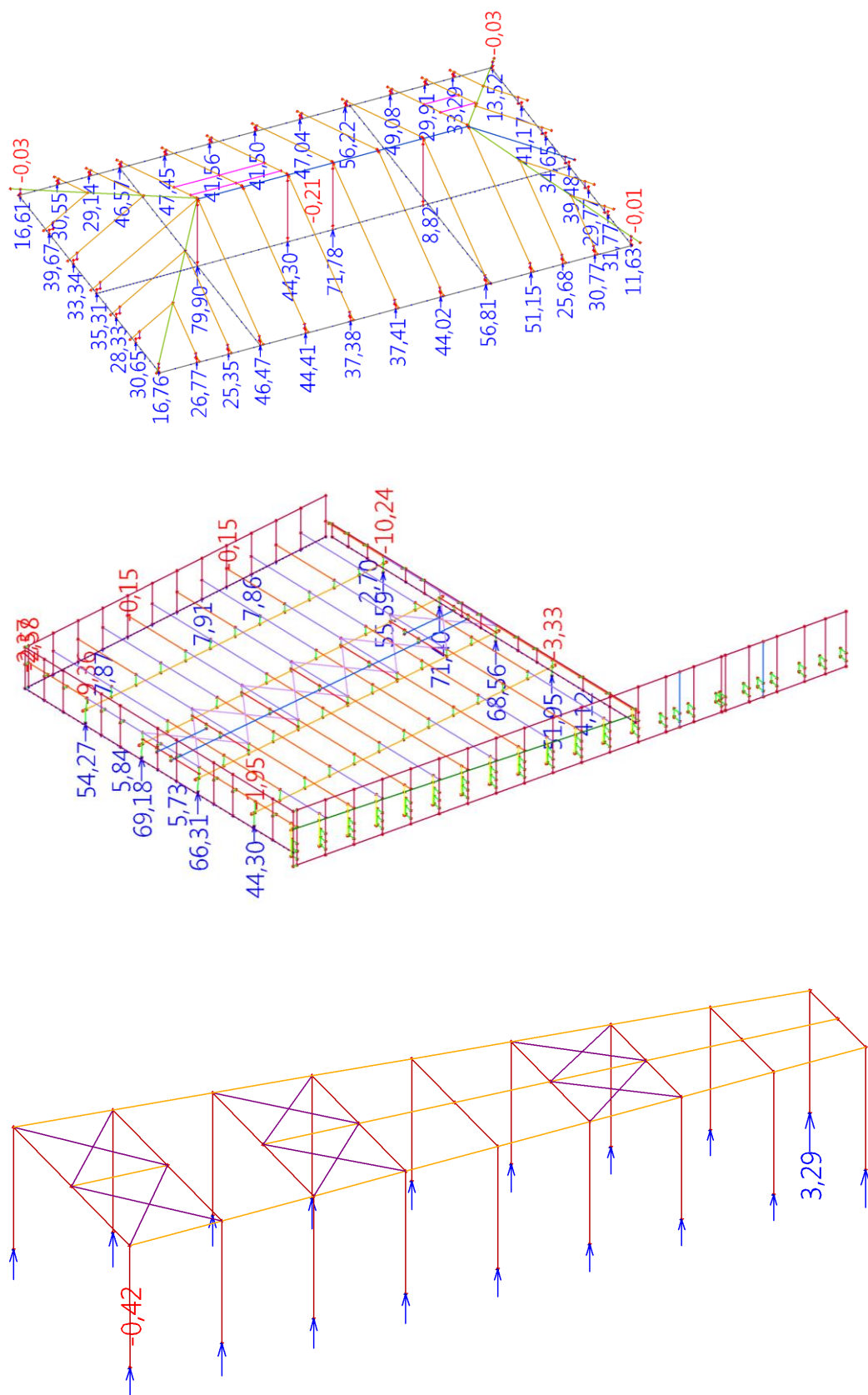
C) Reakce – **prutový model výpočtové hodnoty**

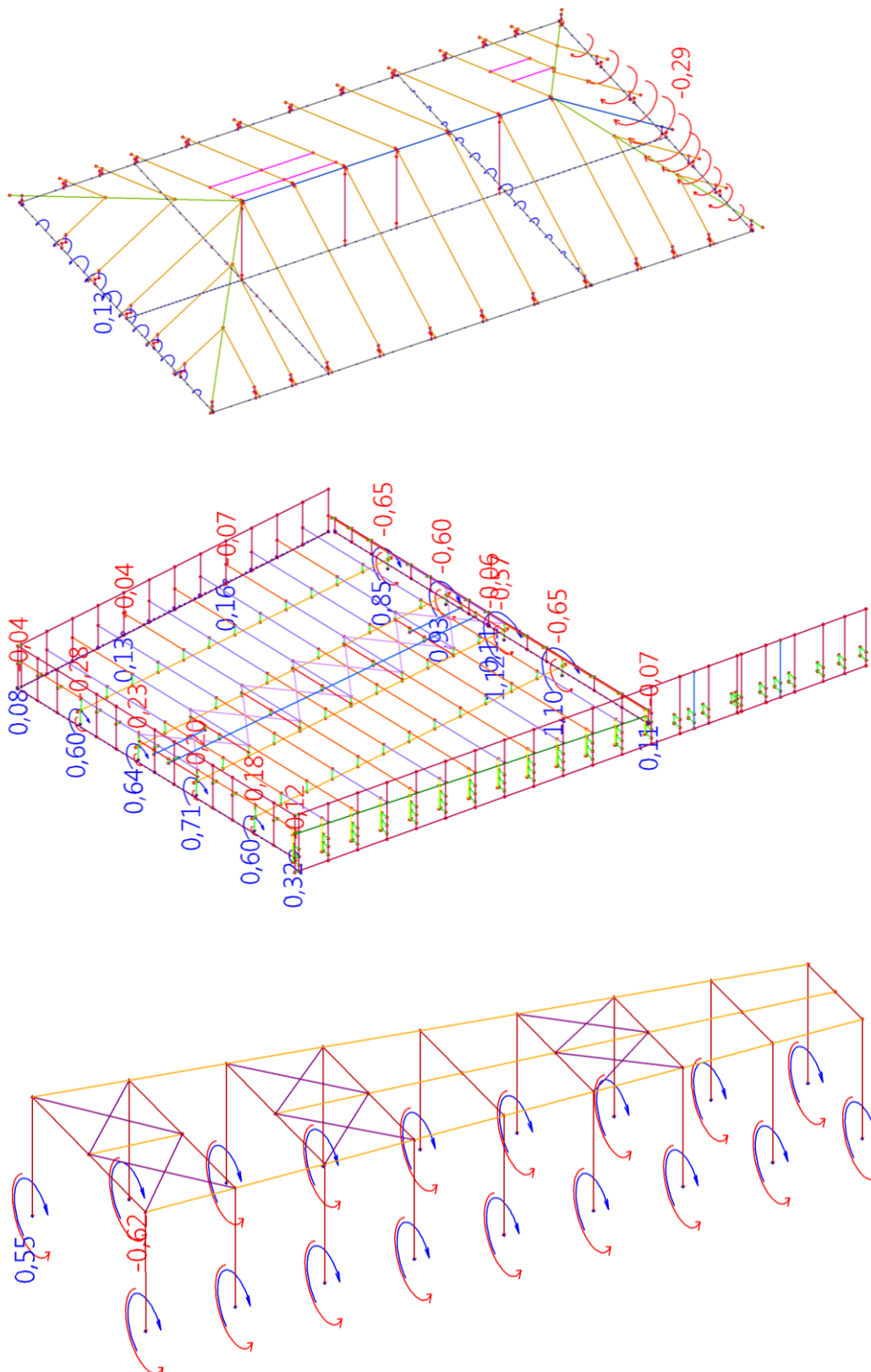
## 7. Reakce v kotvení Rx [kN] – S03 celek



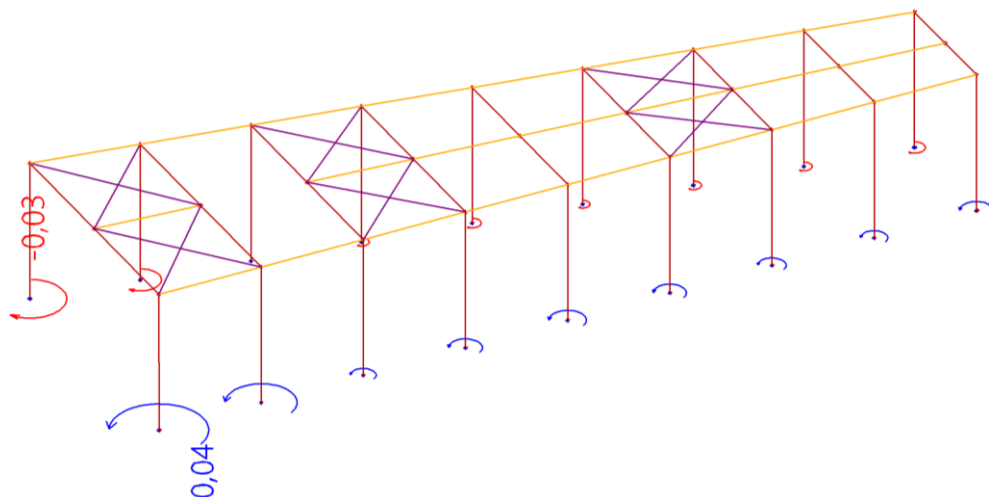
## 8. Reakce v kotvení Ry [kN] – S03 celek



**9. Reakce v kotvení Rz [kN] – S03 celek**

**10.Reakce v kotvení Mx [kNm] – S03 celek**





### 13. Reakce kotvení – S03 celek

Nelineární výpočet, Extrém : Globální – krovová konstrukce

Výběr : Sn92..Sn107, Sn109..Sn127, Sn129..Sn131, Sn136, Slb1..Slb9

Třída : NC\_MSU

Podpora	Stav	dx [mm]	Rx [kN]	Ry [kN]	Rz [kN]	Mx [kNm]	My [kNm]	Mz [kNm]
Slb3/B191	NC62	11245,000	<b>-2,91</b>	0,00	0,76	0,02	0,00	0,00
Slb3/B191	NC59	960,000	<b>3,10</b>	0,00	1,01	0,01	0,00	0,00
Slb8/B343	NC65	4687,771	0,00	<b>-1,14</b>	1,00	0,00	0,01	0,00
Slb9/B345	NC68	805,000	0,00	<b>1,03</b>	0,19	0,00	0,01	0,00
Slb6/B344	NC13	4500,000	0,00	0,17	<b>-0,21</b>	0,00	0,03	0,00
Slb4/B193	NC19	6720,000	0,02	-0,09	<b>79,90</b>	-0,01	0,03	0,00
Sn114/N399	NC22		0,01	-0,04	39,48	<b>-0,29</b>	0,00	0,00
Sn122/N455	NC65		-0,04	0,00	29,07	<b>0,13</b>	0,00	0,00
Slb5/B347	NC20	9425,000	0,00	-0,06	41,23	0,00	<b>-0,42</b>	0,00
Sn96/N261	NC61		0,00	-0,01	33,21	0,00	<b>0,23</b>	0,00
Slb6/B344	NC15	6599,892	0,00	-0,03	2,02	0,00	0,04	<b>0,00</b>
Slb8/B343	NC20	2812,662	0,00	-0,41	3,66	0,00	0,02	<b>0,00</b>

Nelineární výpočet, Extrém : Globální - hala

Výběr : Sn48..Sn55, Slb10..Slb16

Třída : NC\_MSU

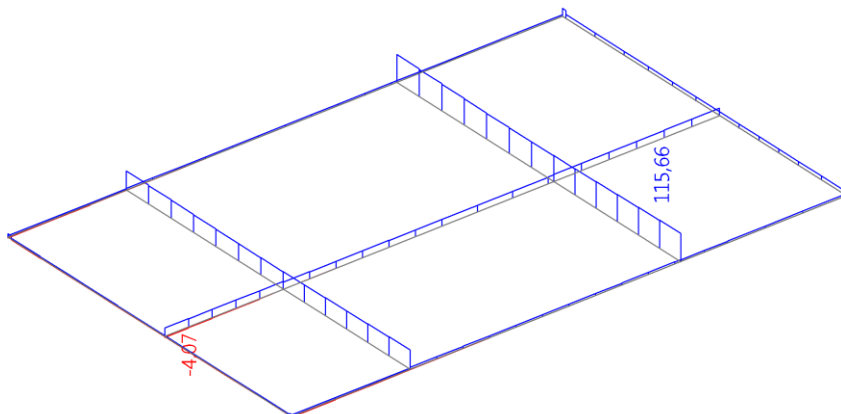
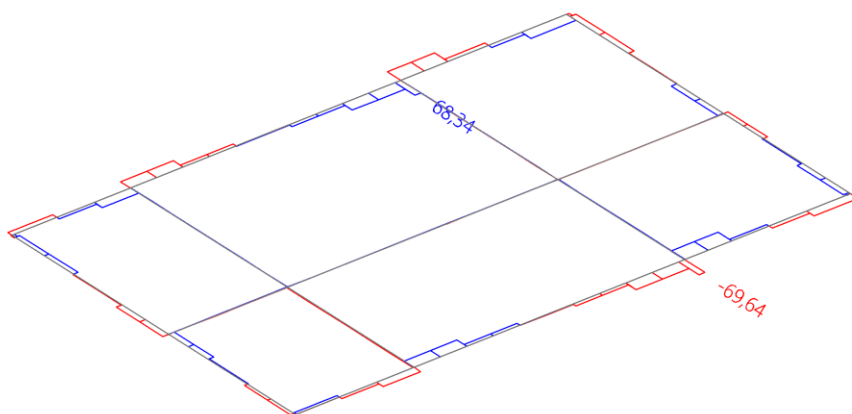
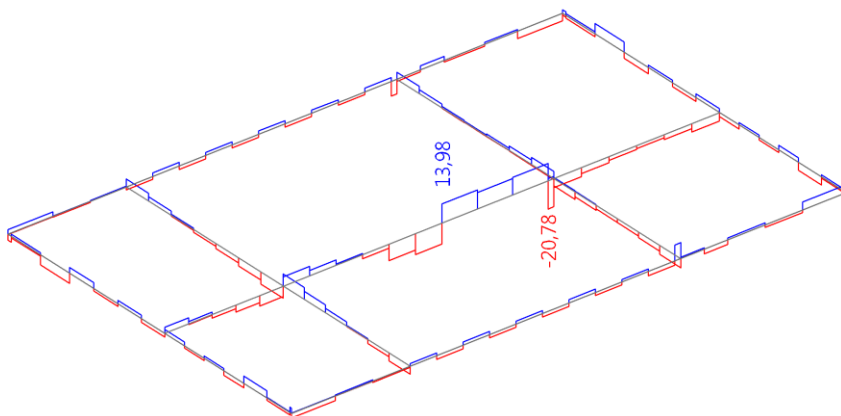
Podpora	Stav	dx [mm]	Rx [kN]	Ry [kN]	Rz [kN]	Mx [kNm]	My [kNm]	Mz [kNm]
Sn54/N63	NC110		<b>-24,84</b>	-1,26	69,01	0,04	0,03	1,28
Sn49/N93	NC110		<b>21,13</b>	-2,20	66,31	0,30	-0,03	-1,45
Sn53/N95	NC55		-2,71	<b>-6,29</b>	32,76	<b>1,12</b>	0,01	2,50
Sn52/N127	NC185		-6,13	<b>1,91</b>	27,01	-0,65	0,01	-0,63
Sn55/N31	NC75		-0,45	-2,02	<b>-10,24</b>	0,10	0,00	1,76
Sn54/N63	NC16		-23,73	-1,27	<b>71,40</b>	0,04	0,03	1,23
Sn52/N127	NC91		-6,11	1,81	26,90	<b>-0,65</b>	0,01	-0,60
Slb13/B659	NC179	1692,000	-1,18	-0,11	3,10	0,00	<b>-0,19</b>	0,01
Slb13/B659	NC55	1692,000	0,91	-0,17	2,96	0,01	<b>0,21</b>	0,00
Sn51/N29	NC159		9,61	-3,38	15,02	0,59	-0,01	<b>-3,06</b>
Sn55/N31	NC159		-6,57	-5,09	36,31	0,82	0,01	<b>3,23</b>

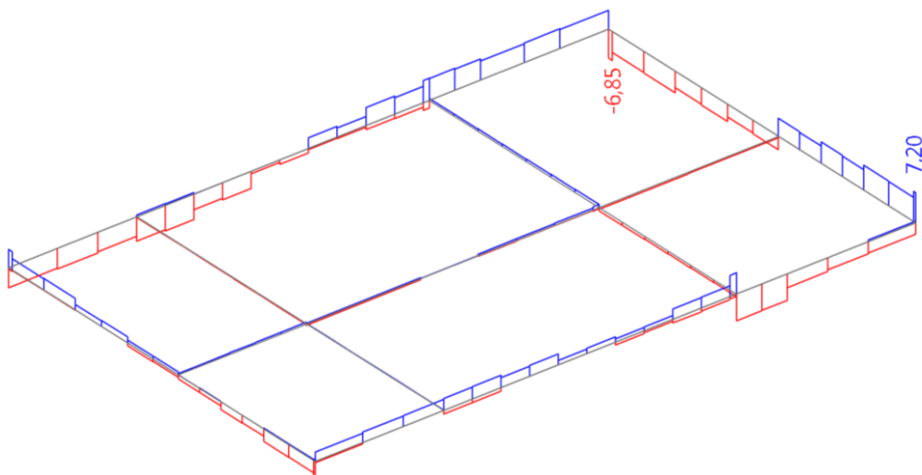
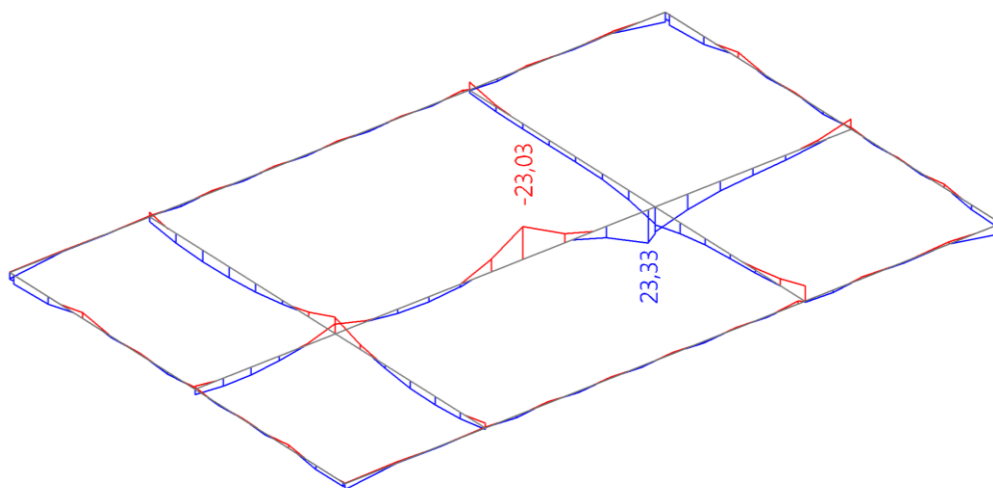
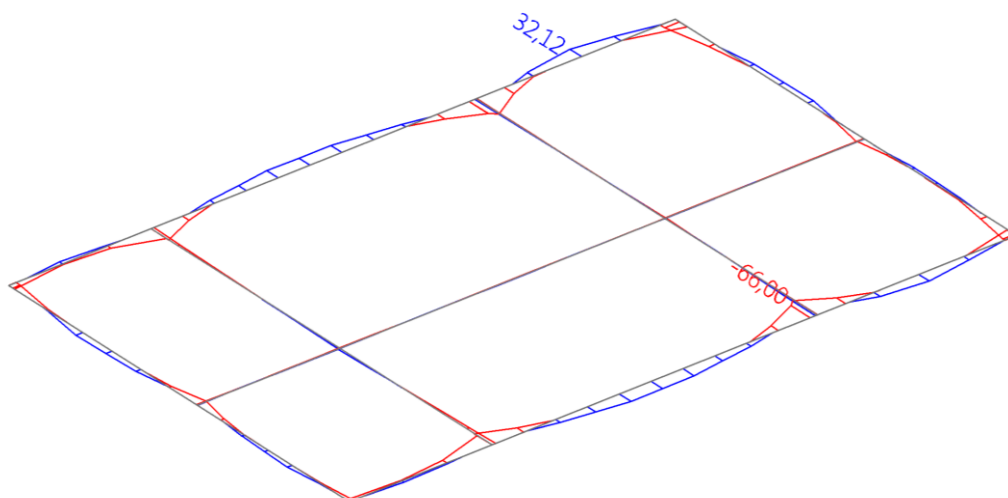
Nelineární výpočet, Extrém : Globální - slunolamy

Výběr : Sn1..Sn18

Třída : NC\_MSU

Podpora	Stav	Rx [kN]	Ry [kN]	Rz [kN]	Mx [kNm]	My [kNm]	Mz [kNm]
Sn16/N185	NC75	<b>-2,81</b>	-0,11	-0,17	0,16	-1,98	-0,03
Sn10/N173	NC56	<b>0,02</b>	1,14	1,45	-0,62	0,02	0,00
Sn16/N185	NC65	0,02	<b>-1,04</b>	1,80	<b>0,55</b>	-0,01	0,00
Sn10/N173	NC68	0,02	<b>1,16</b>	1,72	<b>-0,62</b>	0,02	0,00
Sn10/N173	NC75	-2,79	-0,14	<b>-0,42</b>	0,19	-1,93	0,04
Sn18/N189	NC57	-1,59	0,08	<b>3,29</b>	0,00	-1,51	-0,01
Sn16/N185	NC57	-2,81	-0,14	0,62	0,16	<b>-1,98</b>	<b>-0,03</b>
Sn16/N185	NC56	0,00	1,12	0,62	-0,62	<b>0,02</b>	0,00
Sn10/N173	NC57	-2,79	-0,11	0,37	0,19	-1,94	<b>0,04</b>

**D) Vnitřní síly – prutový model výpočtové hodnoty****14. Vnitřní síly železobetonový věnec S03.1 - N [kN]****15. Vnitřní síly železobetonový věnec S03.1 - Vy [kN]****16. Vnitřní síly železobetonový věnec S03.1 - Vz [kN]**

**17. Vnitřní síly železobetonový věnec S03.1 -  $M_x$  [kNm]****18. Vnitřní síly železobetonový věnec S03.1 -  $M_y$  [kNm]****19. Vnitřní síly železobetonový věnec S03.1 -  $M_z$  [kNm]**

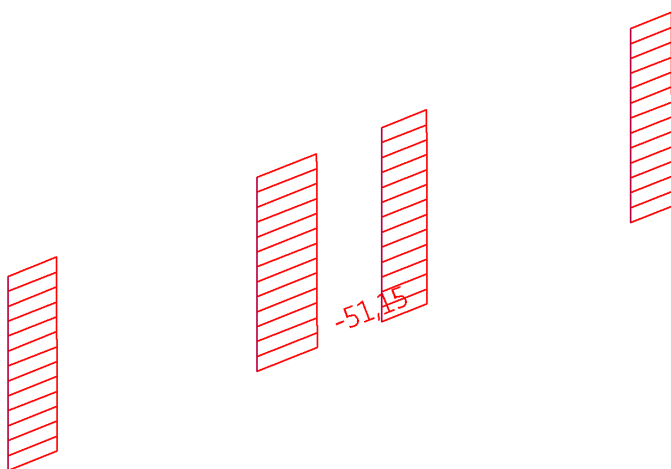
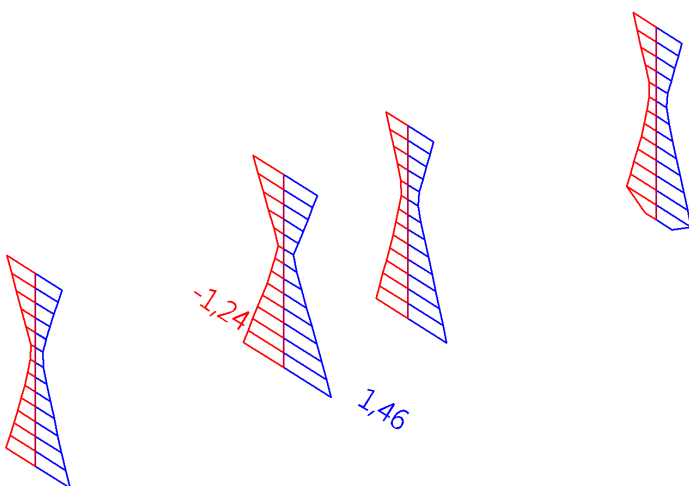
**20. Vnitřní síly železobetonový věnec S03.1**

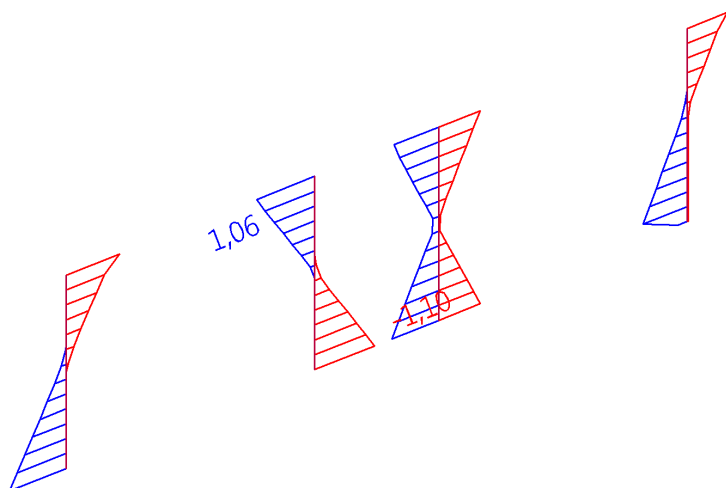
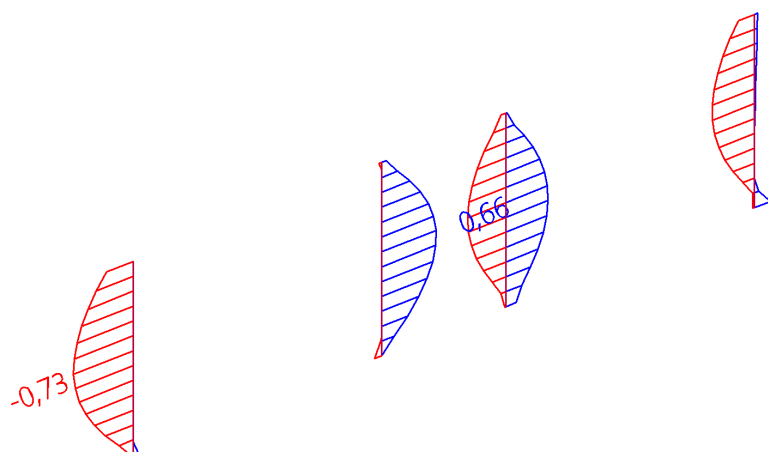
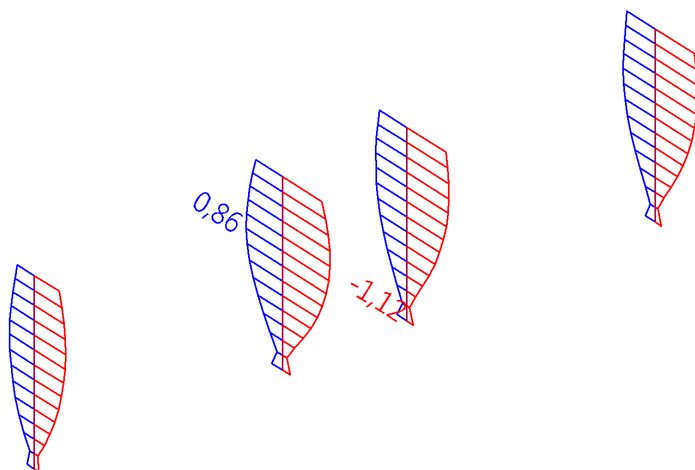
Nelineární výpočet, Extrém : Globální, Systém : Hlavní

Výběr : B191, B193, B343..B346, B348, B349, B347

Třída : NC\_MSU

Dílec	Stav	dx [mm]	N [kN]	Vy [kN]	Vz [kN]	Mx [kNm]	My [kNm]	Mz [kNm]
B345	NC78	805,000	<b>-4,07</b>	0,08	1,83	0,17	4,15	-0,14
B191	NC16	11245,001	<b>115,66</b>	1,09	-6,45	-0,56	-4,53	2,92
B349	NC16	13225,000	7,93	<b>-69,64</b>	11,57	4,35	0,29	<b>-66,00</b>
B347	NC13	5625,001	6,72	<b>68,34</b>	-9,29	1,73	0,01	-65,28
B344	NC13	8999,681	27,04	0,17	<b>-20,78</b>	0,03	23,15	0,28
B344	NC13	5400,001	26,80	0,09	<b>13,98</b>	0,00	<b>-23,03</b>	-0,04
B346	NC25	12007,321	32,19	-3,96	-0,94	<b>-6,85</b>	2,32	-29,89
B346	NC24	74,380	25,62	4,29	1,93	<b>7,20</b>	0,63	-24,24
B344	NC13	8999,680	26,87	0,09	12,74	0,09	<b>23,33</b>	0,28
B347	NC22	2649,551	4,33	-12,64	-1,23	4,07	0,58	<b>32,12</b>

**21. Vnitřní síly sloupek S03.1 - N [kN]****22. Vnitřní síly sloupek S03.1 - Vy [kN]**

**23. Vnitřní síly sloupek S03.1 - Vz [kN]****24. Vnitřní síly sloupek S03.1 - My [kNm]****25. Vnitřní síly sloupek S03.1 - Mz [kNm]**

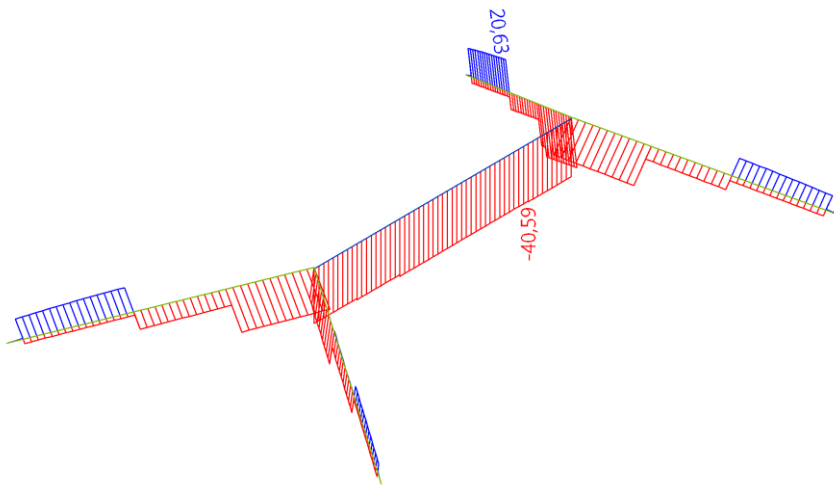
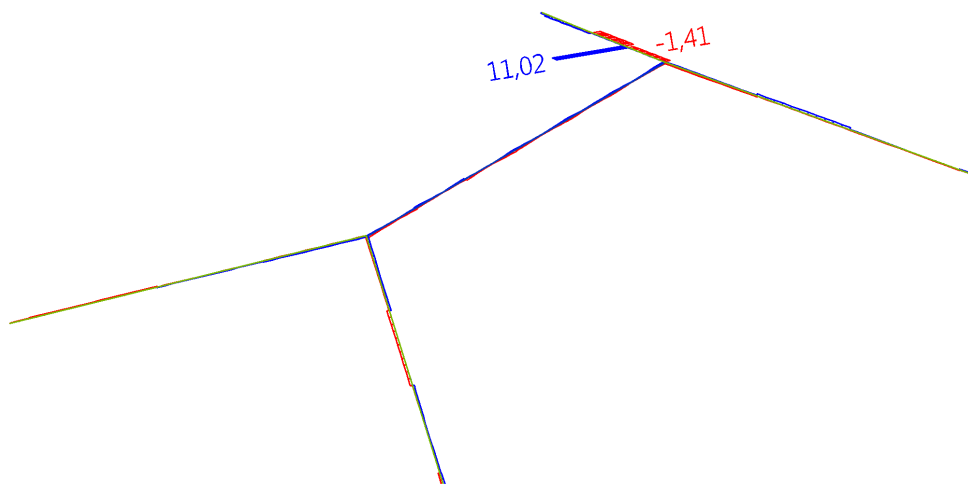
**26. Vnitřní síly sloupek S03.1**

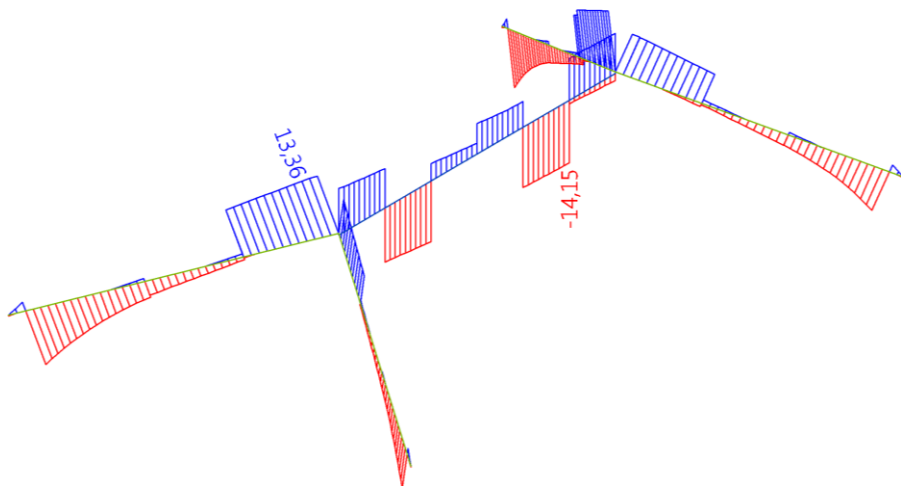
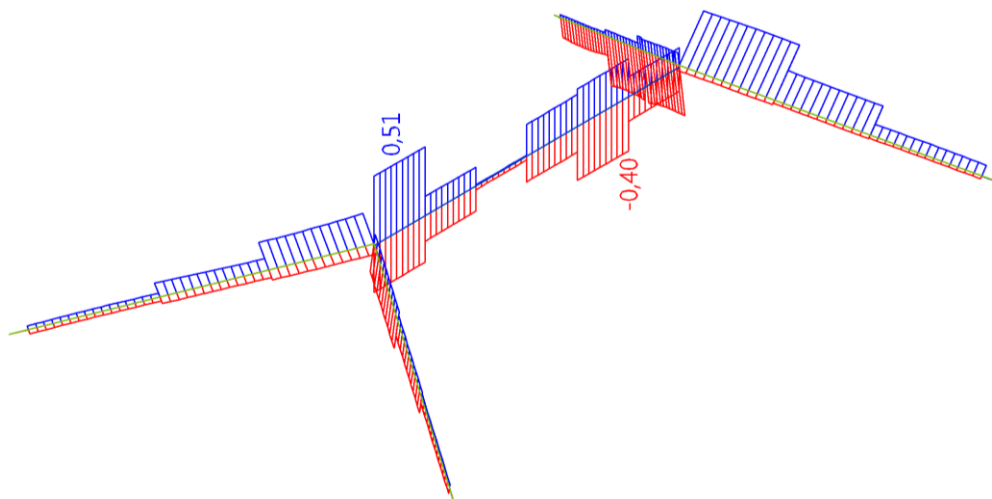
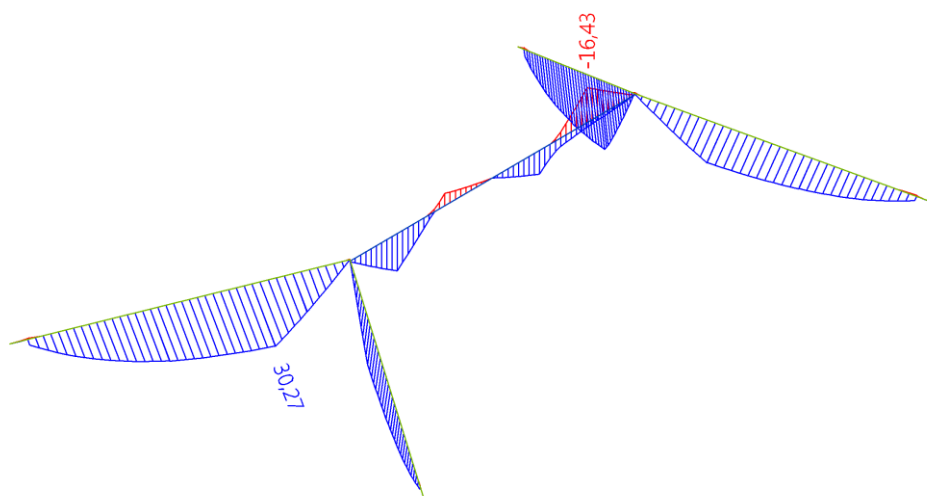
Nelineární výpočet, Extrém : Globální, Systém : Hlavní

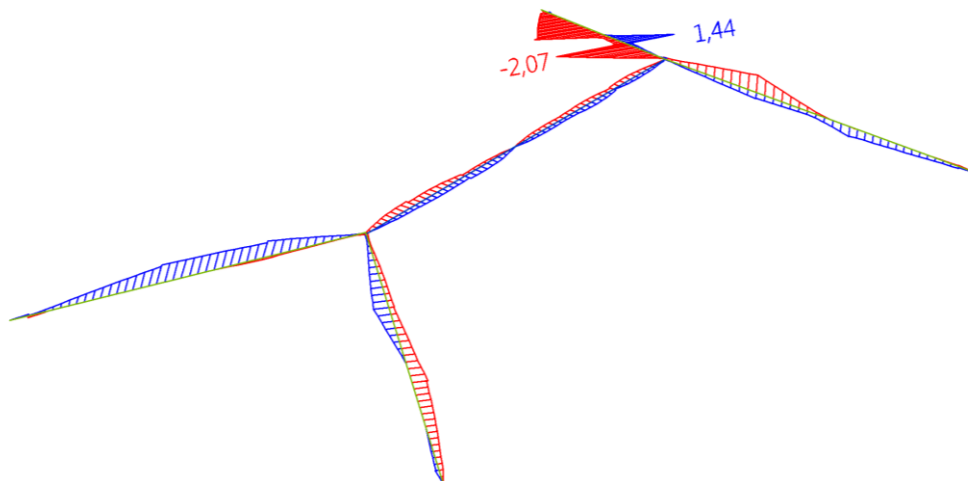
Výběr : B304, B305, B351, B567

Třída : NC\_MSU

Dílec	Stav	dx [mm]	N [kN]	Vy [kN]	Vz [kN]	Mx [kNm]	My [kNm]	Mz [kNm]
B305	NC16	2537,580	<b>-51,15</b>	1,42	<b>-1,10</b>	0,00	-0,05	0,21
B567	NC78	0,000	<b>-0,24</b>	0,01	-0,03	0,00	0,04	-0,03
B305	NC15	2537,580	-44,88	<b>-1,24</b>	-0,95	0,00	-0,03	-0,16
B305	NC20	2537,580	-45,90	<b>1,46</b>	-0,97	0,00	-0,03	0,25
B305	NC16	0,000	-50,61	-0,84	<b>1,06</b>	0,00	-0,01	-0,58
B351	NC25	2537,580	-27,80	0,84	0,80	<b>-0,02</b>	0,06	0,13
B567	NC61	195,200	-24,19	0,18	-0,38	<b>0,00</b>	-0,20	0,69
B351	NC19	1171,190	-41,57	0,01	0,03	-0,01	<b>-0,73</b>	-0,62
B305	NC16	1171,190	-50,86	0,22	0,07	0,00	<b>0,66</b>	-0,94
B305	NC20	780,800	-45,53	0,06	0,37	0,00	0,50	<b>-1,12</b>
B305	NC15	975,990	-44,55	-0,04	0,22	0,00	0,55	<b>0,86</b>

**27. Vnitřní síly páteř S03.1- N [kN]****28. Vnitřní síly páteř S03.1-Vy [kN]**

**29. Vnitřní síly páteř S03.1- Vz [kN]****30. Vnitřní síly páteř S03.1- Mx [kNm]****31. Vnitřní síly páteř S03.1- My [kNm]**

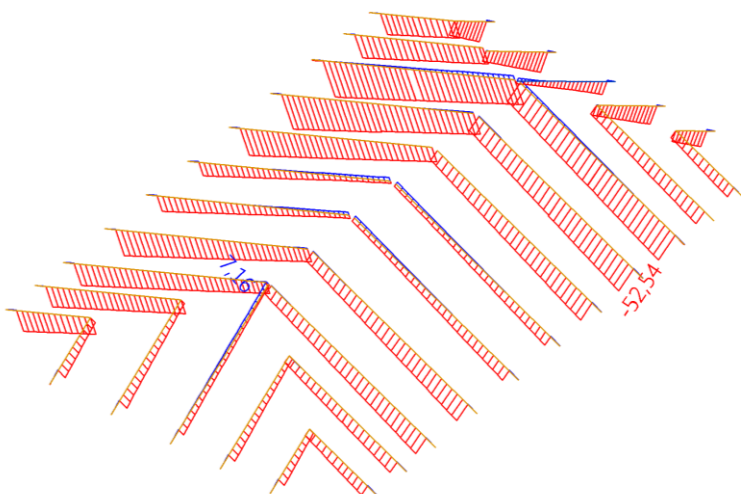
**32. Vnitřní síly páteř S03.1- Mz [kNm]****33. Vnitřní síly páteř S03.1**

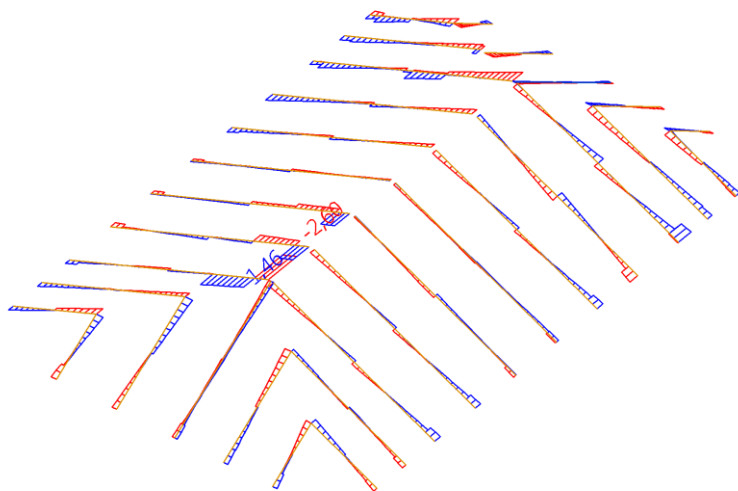
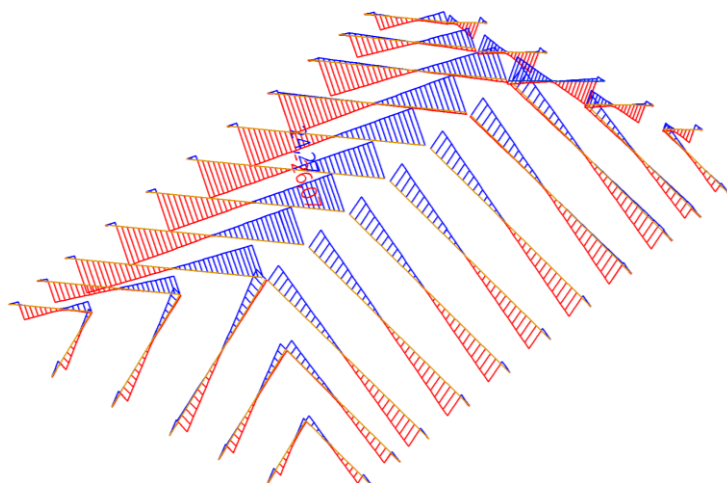
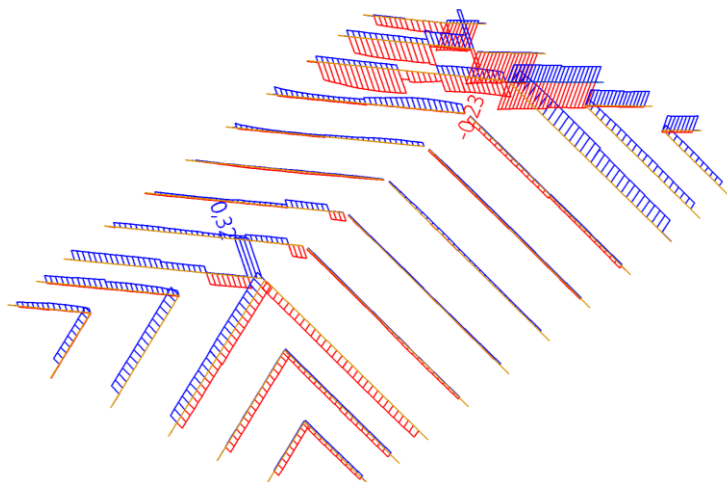
Nelineární výpočet, Extrém : Globální, Systém : Hlavní

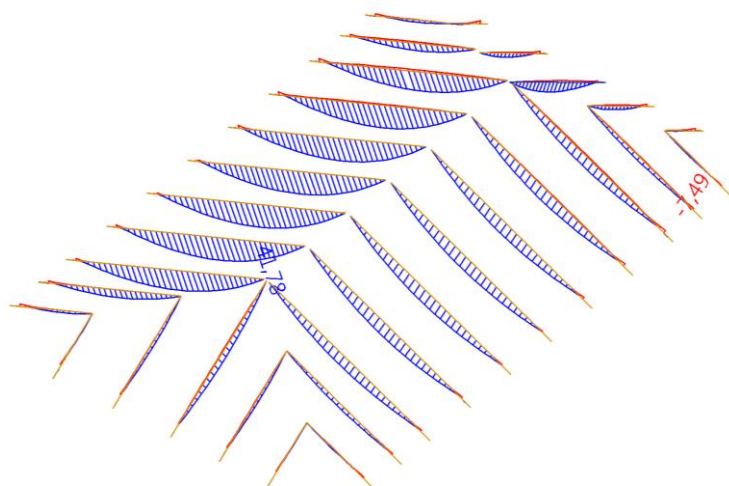
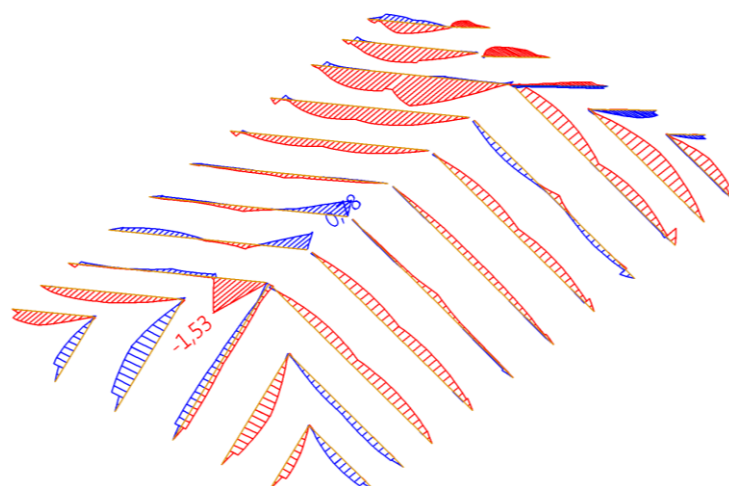
Výběr : B253, B254, B261, B276, B313, B318

Třída : NC\_MSU

Dílec	Stav	dx [mm]	N [kN]	Vy [kN]	Vz [kN]	Mx [kNm]	My [kNm]	Mz [kNm]
B254	NC22	3600,001	<b>-40,59</b>	-0,22	9,48	-0,03	<b>-16,43</b>	-0,05
B276	NC20	5056,741	<b>20,63</b>	0,38	-3,56	-0,13	23,99	-1,53
B276	NC16	2788,691	-7,27	<b>-1,41</b>	-1,36	-0,32	29,79	1,38
B276	NC22	2788,690	-26,07	<b>11,02</b>	4,72	-0,14	28,44	1,32
B254	NC16	3600,000	-36,84	-0,23	<b>-14,15</b>	-0,25	-14,22	0,02
B318	NC19	0,000	-26,15	0,50	<b>13,36</b>	0,09	-0,13	-0,10
B254	NC66	3600,000	-25,74	-0,21	-10,32	<b>-0,40</b>	-9,57	0,02
B253	NC20	0,000	-32,10	0,21	9,52	<b>0,51</b>	0,09	-0,04
B318	NC19	2483,230	-26,94	0,36	10,95	0,07	<b>30,27</b>	0,97
B276	NC25	2483,230	-29,23	-0,78	9,74	-0,31	27,29	<b>-2,07</b>
B276	NC13	2788,690	-26,61	10,00	6,46	-0,01	25,92	<b>1,44</b>

**34. Vnitřní síly krokve S03.1 - N [kN]**

**35. Vnitřní síly krokve S03.1 -  $V_y$  [kN]****36. Vnitřní síly krokve S03.1 -  $V_z$  [kN]****37. Vnitřní síly krokve S03.1 -  $M_x$  [kNm]**

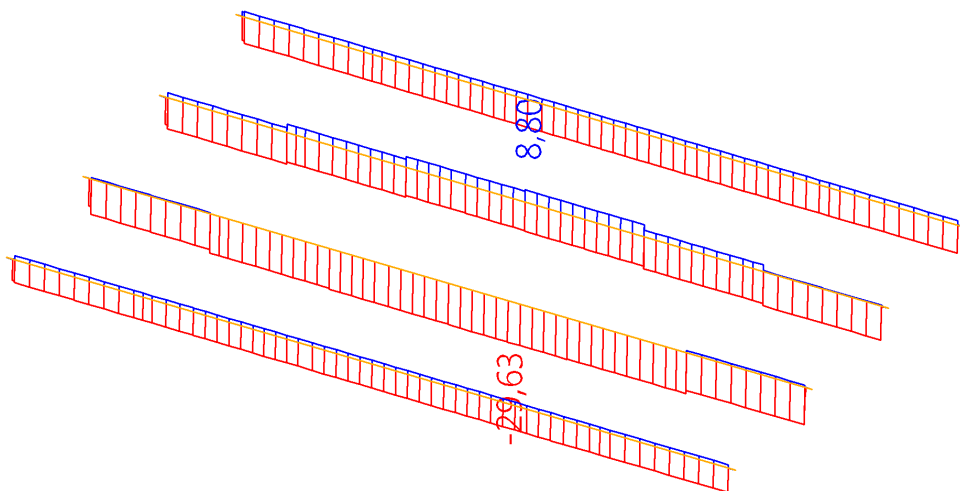
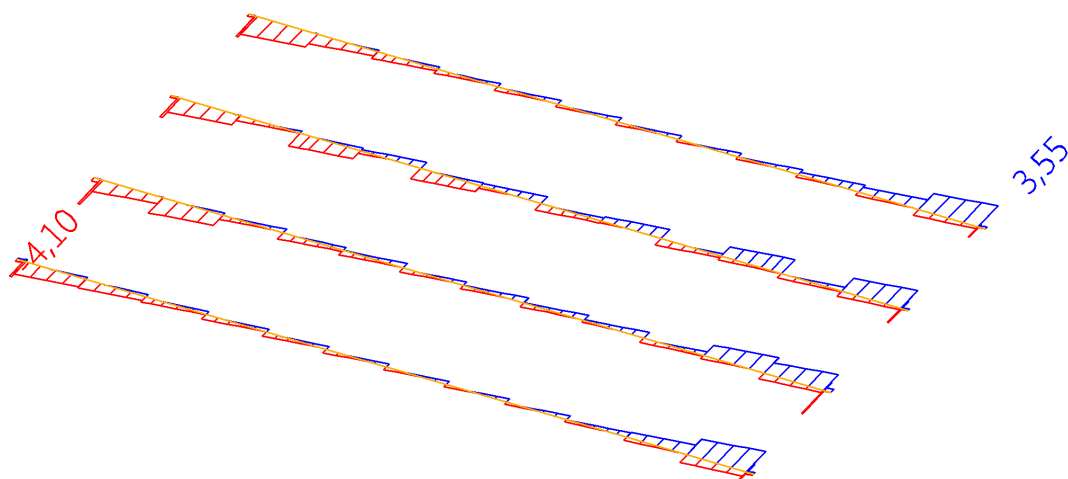
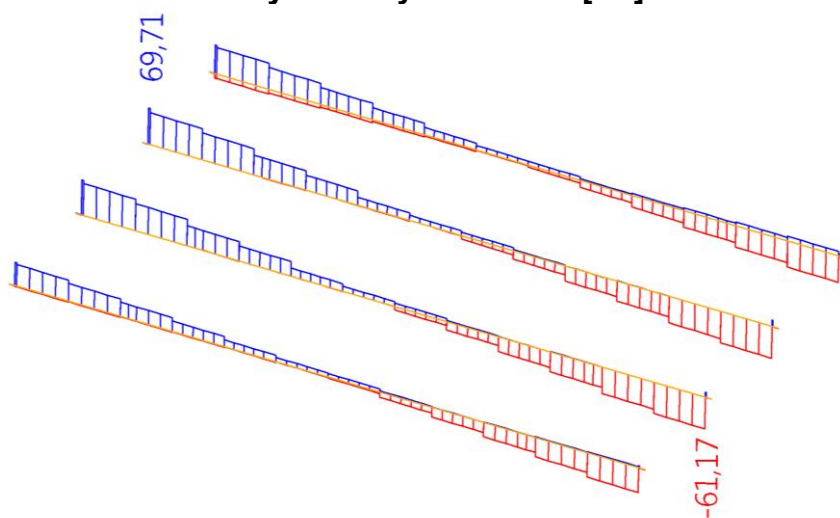
**38. Vnitřní síly krokve S03.1 - My [kNm]****39. Vnitřní síly krokve S03.1 - Mz [kNm]****40. Vnitřní síly krokve S03.1**

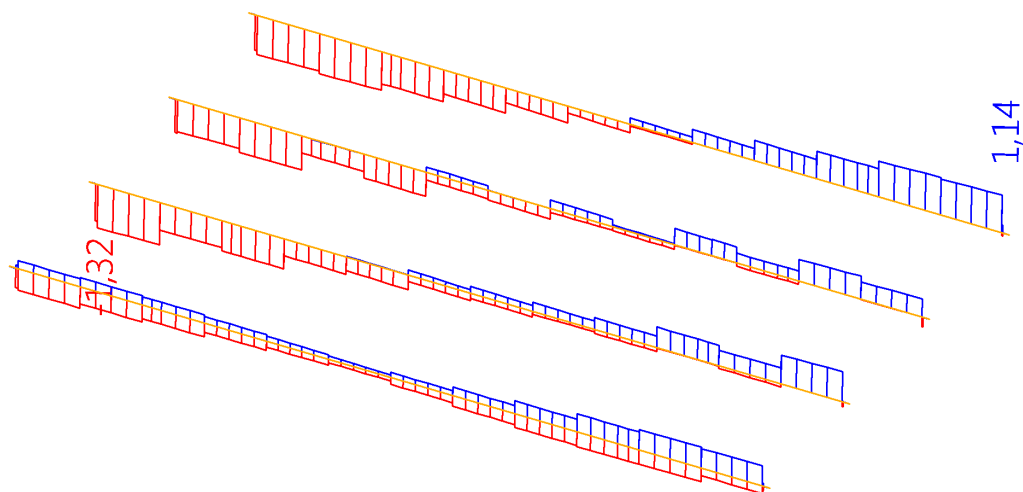
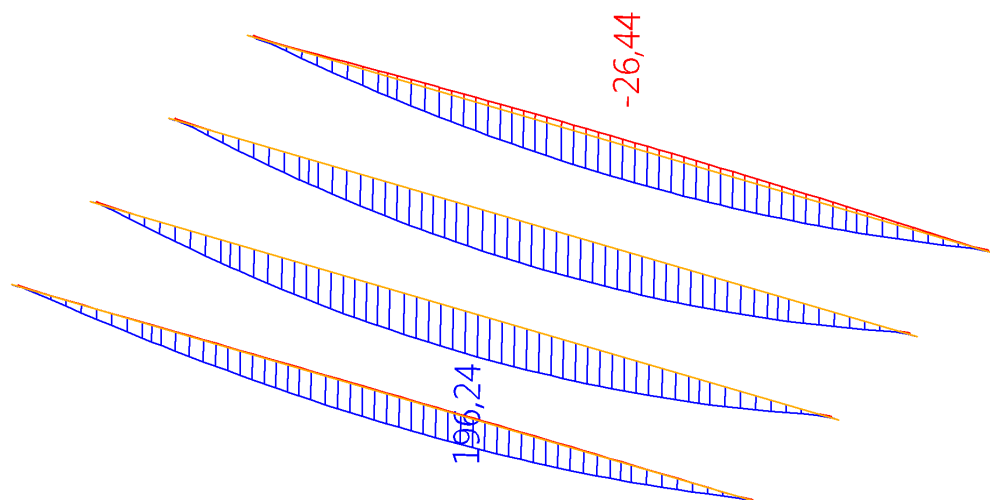
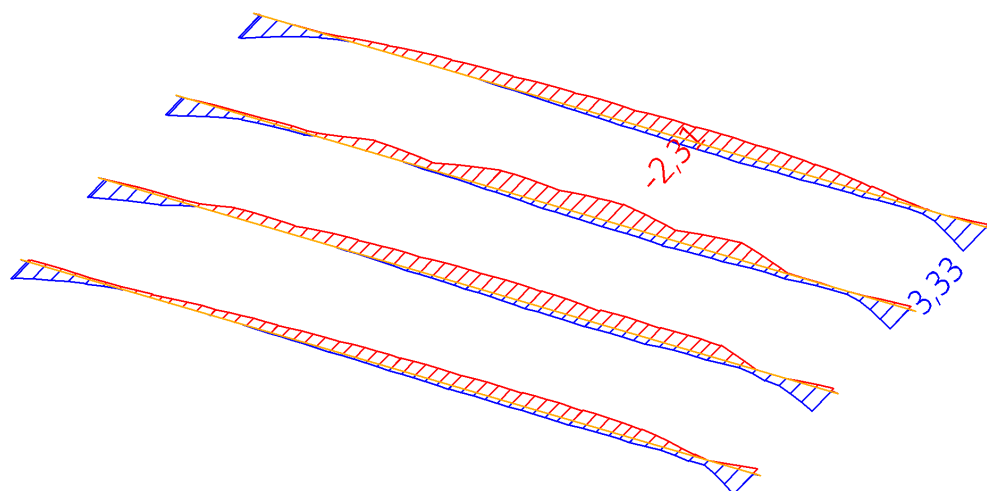
Nelineární výpočet, Extrém : Globální, Systém : Hlavní

Výběr : B214, B194, B197, B202, B205, B210, B219, B222, B227, B231, B236, B239, B244, B248, B255, B258, B281, B282, B293..B296, B307, B310, B319..B321, B332..B335, B897

Třída : NC\_MSU

Dílec	Stav	dx [mm]	N [kN]	Vy [kN]	Vz [kN]	Mx [kNm]	My [kNm]	Mz [kNm]
B231	NC16	5855,320	<b>-52,54</b>	0,47	-15,63	0,16	<b>-7,49</b>	0,07
B333	NC65	0,000	<b>7,16</b>	0,03	14,27	0,02	-0,16	-0,03
B236	NC22	0,000	-11,01	<b>-2,60</b>	17,40	<b>0,32</b>	-0,20	-0,16
B244	NC22	0,000	-13,97	<b>1,46</b>	20,18	-0,09	-0,21	0,01
B219	NC16	6999,690	-42,79	0,58	<b>-26,07</b>	0,06	-6,16	0,13
B210	NC16	0,000	-1,21	1,32	<b>24,27</b>	-0,07	-0,19	0,01
B293	NC20	0,000	-11,75	-0,60	6,71	<b>-0,23</b>	-0,06	0,07
B210	NC20	3495,550	-9,10	-0,21	-0,25	0,02	<b>41,78</b>	-0,16
B236	NC22	528,750	-12,12	-2,57	14,76	0,32	8,31	<b>-1,53</b>
B244	NC22	528,750	-15,26	1,41	17,12	-0,08	9,66	<b>0,78</b>

**41. Vnitřní síly nosníky S03.2 - N [kN]****42. Vnitřní síly nosníky S03.2 - Vy [kN]****43. Vnitřní síly nosníky S03.2 - Vz [kN]**

**44. Vnitřní síly nosníky S03.2 -  $M_x$  [kNm]****45. Vnitřní síly nosníky S03.2 -  $M_y$  [kNm]****46. Vnitřní síly nosníky S03.2 -  $M_z$  [kNm]**

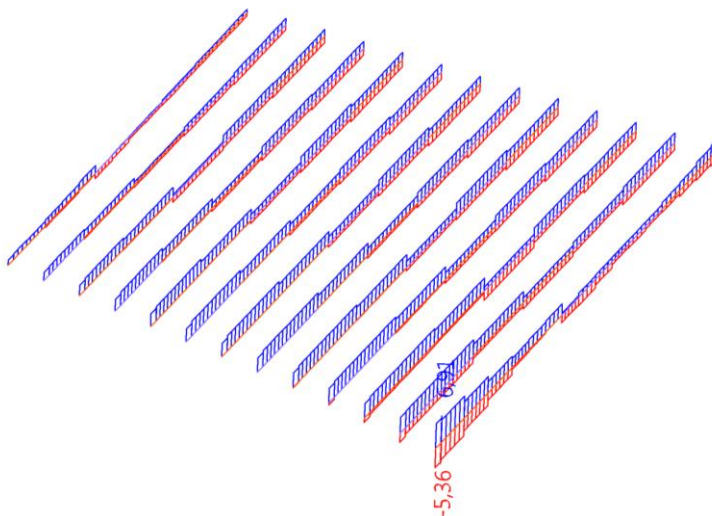
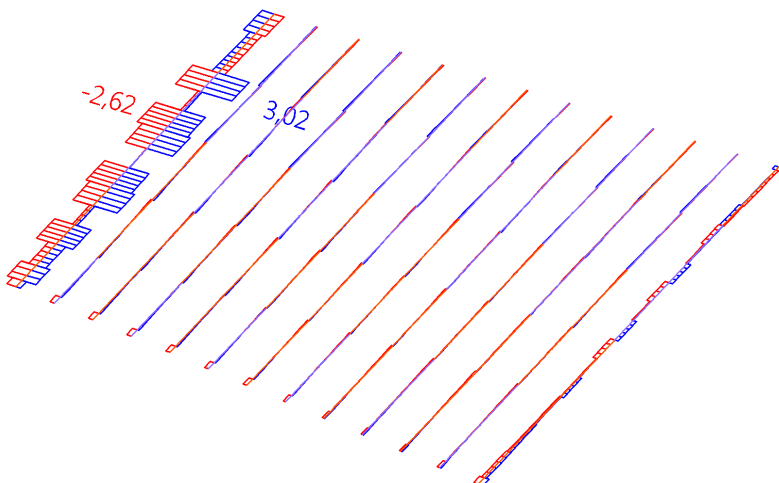
**47. Vnitřní síly nosníky S03.2**

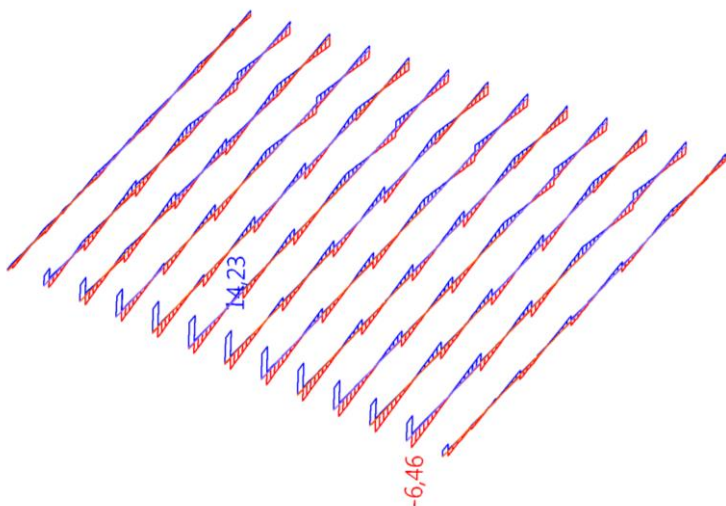
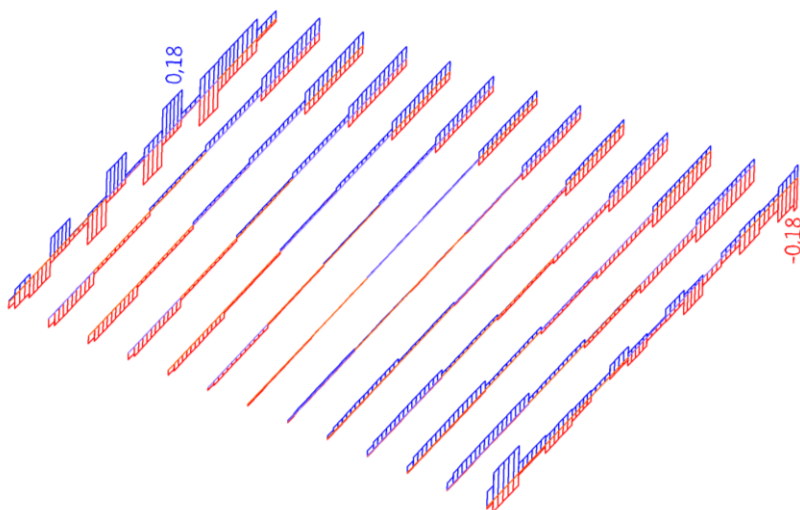
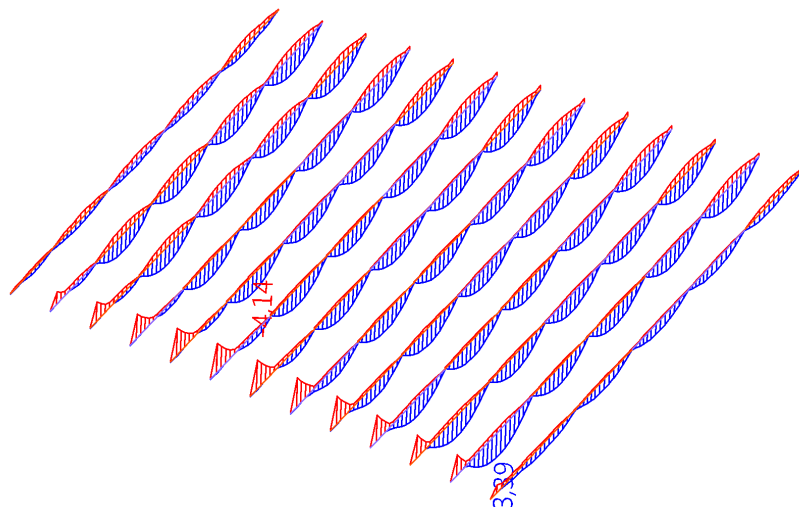
Nelineární výpočet, Extrém : Globální, Systém : Hlavní

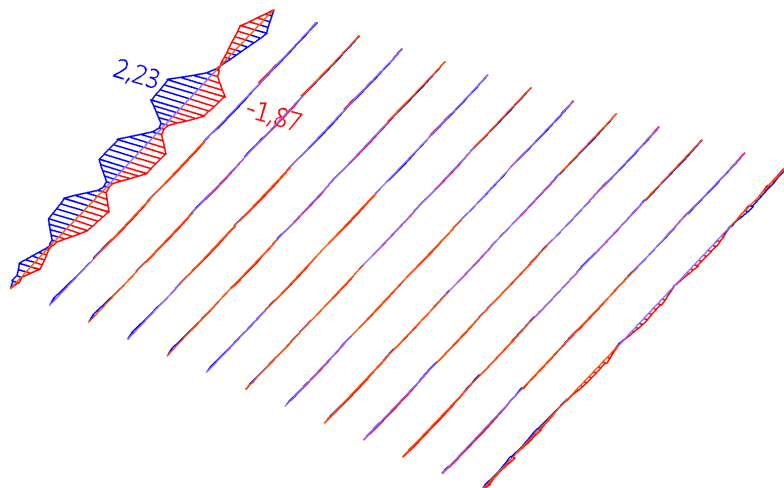
Výběr : B1, B17, B33, B49

Třída : NC\_MSU

Dílec	Stav	dx [mm]	N [kN]	Vy [kN]	Vz [kN]	Mx [kNm]	My [kNm]	Mz [kNm]
B33	NC105	7143,341	<b>-29,63</b>	-0,33	-15,81	0,01	186,59	-0,29
B17	NC78	6143,111	<b>8,80</b>	-0,85	7,01	0,24	36,03	-1,36
B33	NC159	105,171	-12,62	<b>-4,10</b>	28,38	-1,00	-5,89	2,46
B1	NC159	12129,580	-6,54	<b>3,55</b>	-32,47	1,06	-2,21	<b>3,33</b>
B33	NC110	12129,580	-26,40	1,07	<b>-61,17</b>	0,49	-7,39	1,26
B17	NC16	105,171	-17,81	-2,19	<b>69,71</b>	-0,66	-8,37	1,45
B33	NC52	141,691	-17,75	-1,74	35,19	<b>-1,32</b>	-1,07	1,71
B1	NC113	12129,580	-13,00	3,00	-44,79	<b>1,14</b>	-4,46	2,86
B1	NC75	6143,110	0,09	0,39	-1,43	-0,14	<b>-26,44</b>	-0,83
B33	NC110	6143,111	-29,44	-0,08	-6,63	-0,11	<b>196,24</b>	-0,73
B17	NC159	7143,341	1,07	0,76	-3,97	0,04	115,02	<b>-2,31</b>

**48. Vnitřní síly vaznice S03.2 - N [kN]****49. Vnitřní síly vaznice S03.2 2 - Vy [kN]**

**50. Vnitřní síly vaznice S03.2 - Vz [kN]****51. Vnitřní síly vaznice S03.2 - Mx [kNm]****52. Vnitřní síly vaznice S03.2 - My [kNm]**

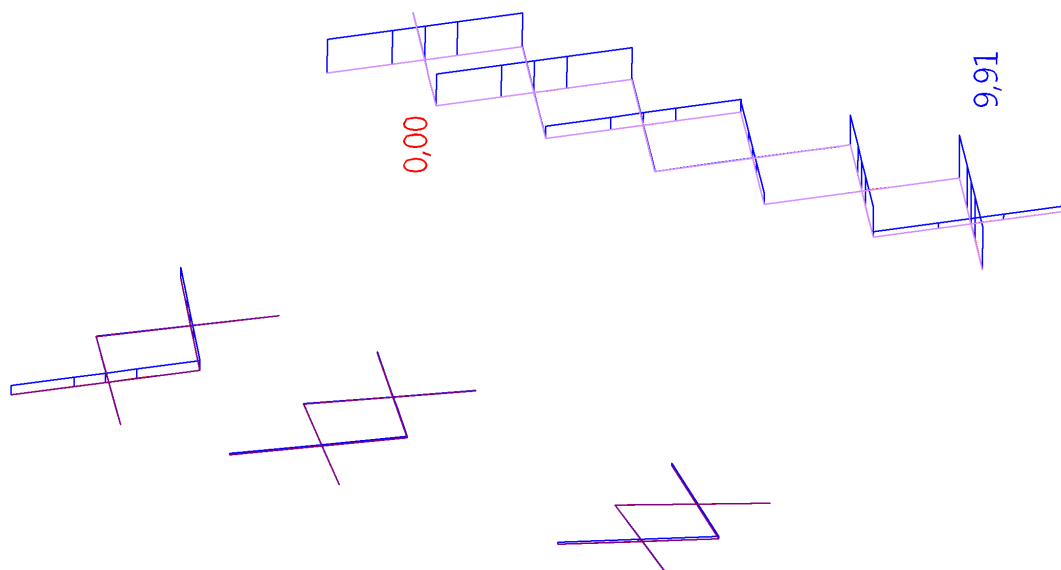
**53. Vnitřní síly vaznice S03.2 - Mz [kNm]****54. Vnitřní síly vaznice S03.2**

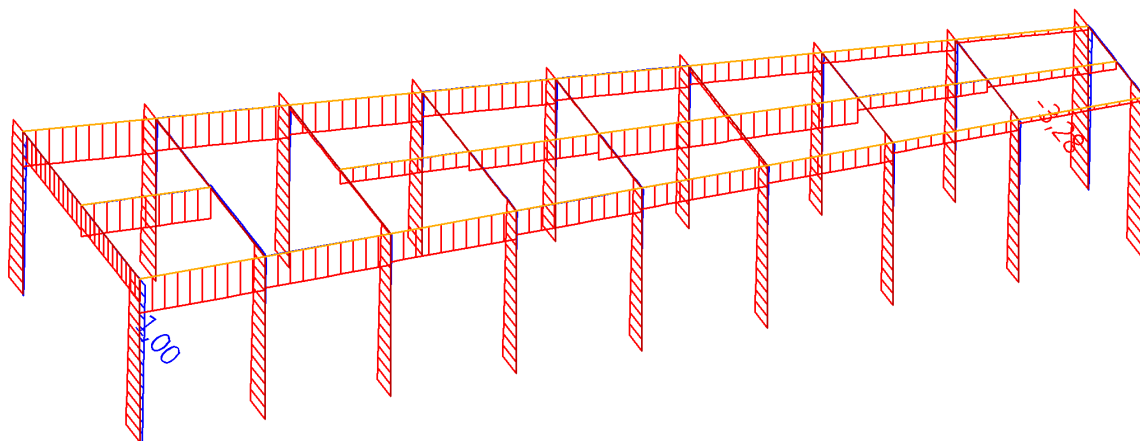
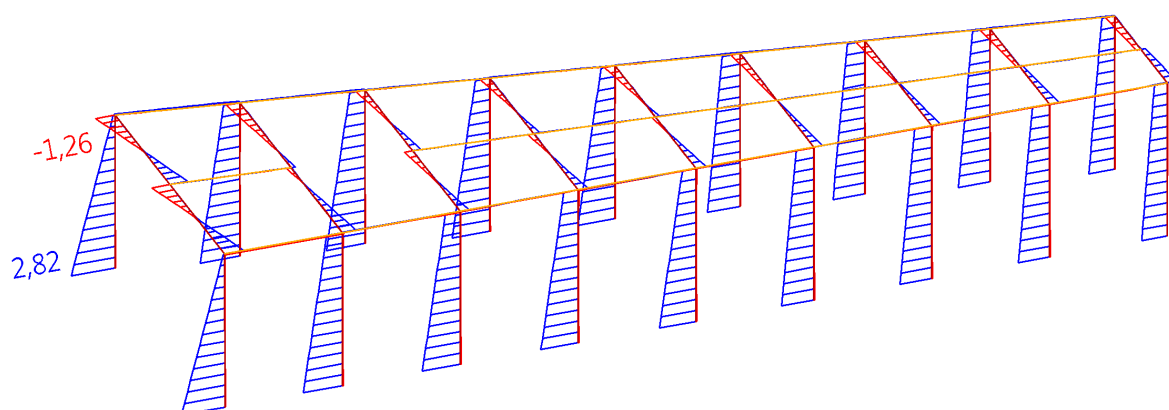
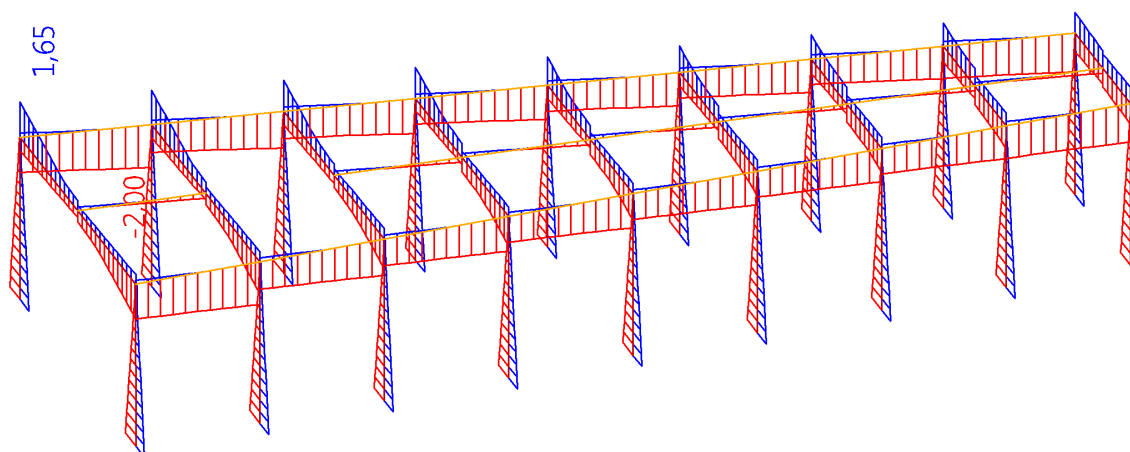
Nelineární výpočet, Extrém : Globální, Systém : Hlavní

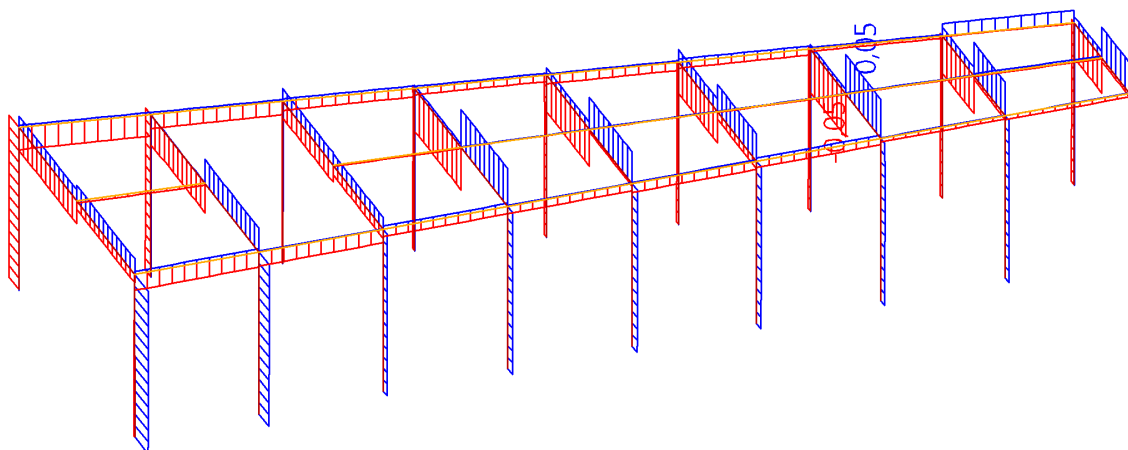
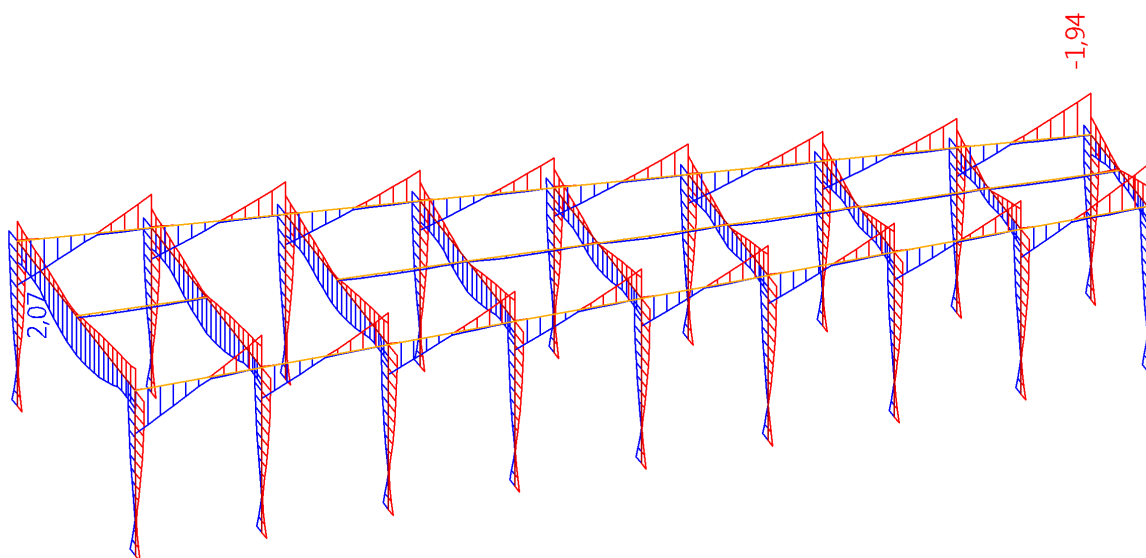
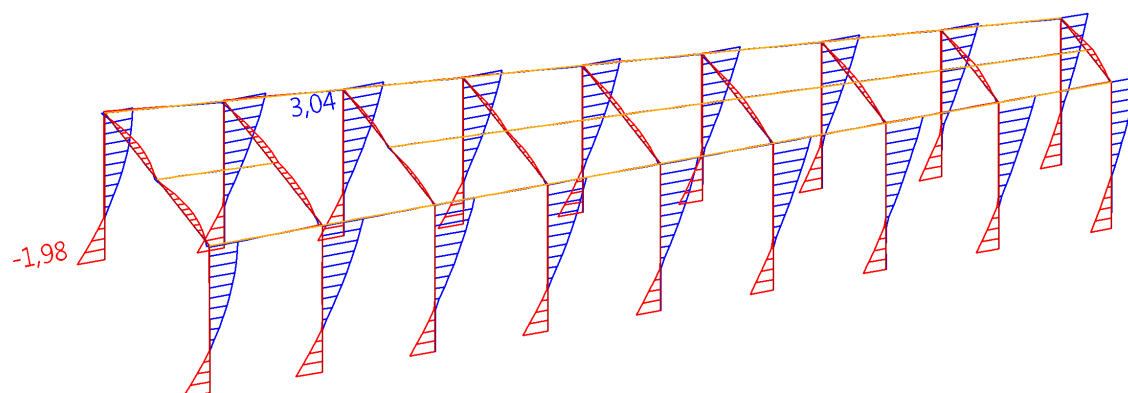
Výběr : B69, B80, B65..B68, B70..B79, B81..B84, B86..B90, B97..B109, B353..B371, B373..B379, B763

Třída : NC, MSU

Dílec	Stav	dx [mm]	N [kN]	Vy [kN]	Vz [kN]	Mx [kNm]	My [kNm]	Mz [kNm]
B377	NC182	3539,281	<b>-5,36</b>	-0,34	-1,92	0,08	-0,31	0,03
B377	NC61	3545,550	<b>6,91</b>	0,36	0,51	-0,01	-0,29	-0,07
B78	NC55	2500,190	-0,63	<b>-2,62</b>	1,68	0,15	0,10	-0,16
B78	NC55	0,000	-0,34	<b>3,02</b>	-1,40	-0,14	-0,04	-0,22
B107	NC16	3382,390	2,98	0,09	<b>-6,46</b>	0,06	-2,94	-0,07
B374	NC110	2566,601	2,14	-0,31	<b>14,23</b>	-0,01	-3,91	0,07
B77	NC156	2441,251	2,74	0,33	-0,87	<b>-0,18</b>	0,04	-0,02
B78	NC162	2160,700	-0,60	-2,43	0,11	<b>0,18</b>	0,01	0,66
B374	NC110	2566,600	3,12	0,11	-5,97	-0,01	<b>-4,14</b>	0,03
B107	NC19	1392,751	-0,44	-0,05	0,28	0,06	<b>3,39</b>	-0,06
B78	NC179	811,470	0,44	-2,45	0,33	0,04	0,75	<b>-1,87</b>
B78	NC55	811,470	-0,35	3,01	-0,09	-0,14	-0,64	<b>2,23</b>

**55. Vnitřní síly táhla S03.2 - N [kN]**

**56. Vnitřní síly LLD rám exteriér S03.3 - N [kN]****57. Vnitřní síly LLD rám exteriér S03.3 - Vy [kN]****58. Vnitřní síly LLD rám exteriér S03.3 - Vz [kN]**

**59. Vnitřní síly LLD rám exteriér S03.3 -  $M_x$  [kNm]****60. Vnitřní síly LLD rám exteriér S03.3 -  $M_y$  [kNm]****61. Vnitřní síly LLD rám exteriér S03.3 -  $M_z$  [kNm]**

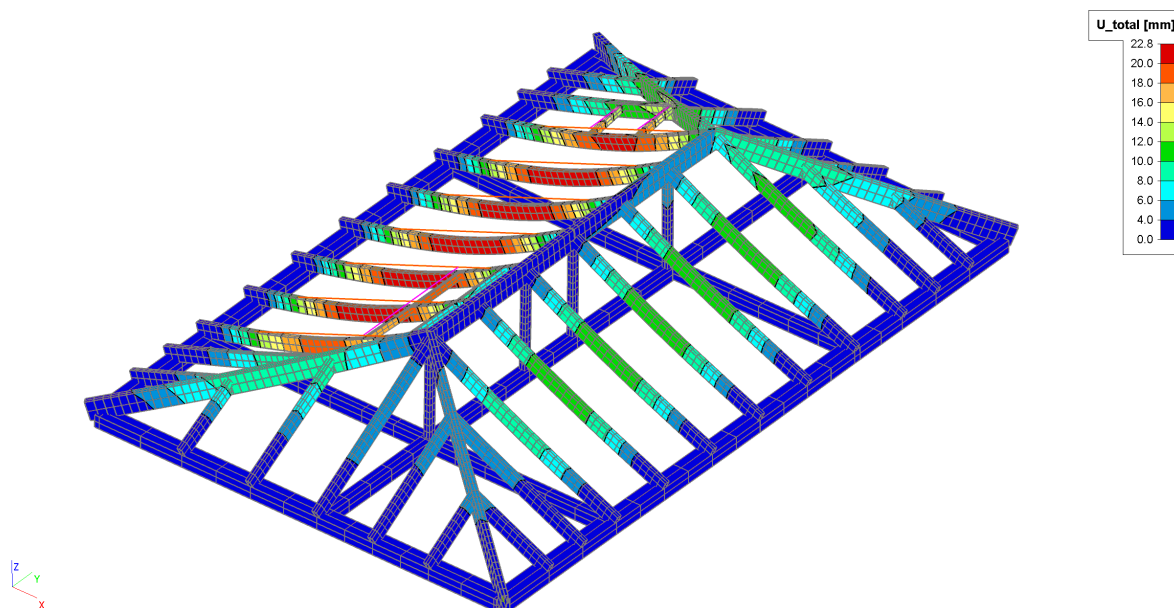
**62. Vnitřní síly LLD rám exteriér S03.3**

Nelineární výpočet, Extrém : Globální, Systém : Hlavní

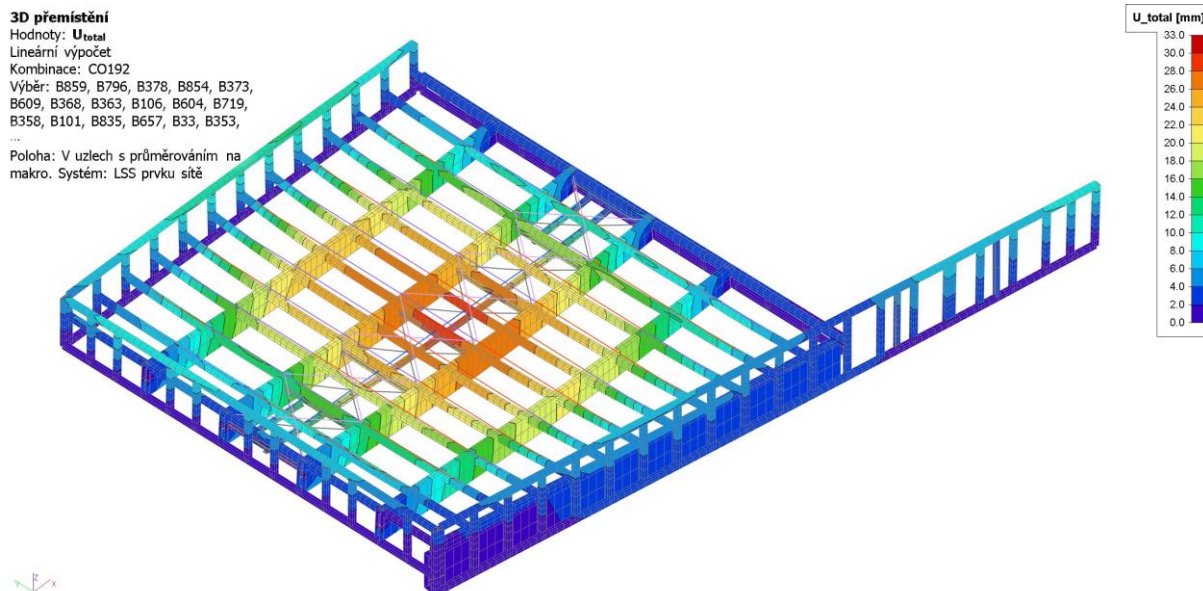
Výběr : B110..B137, B139..B144, B149..B155, B169, B526, B581..B587

Třída : NC\_MSU

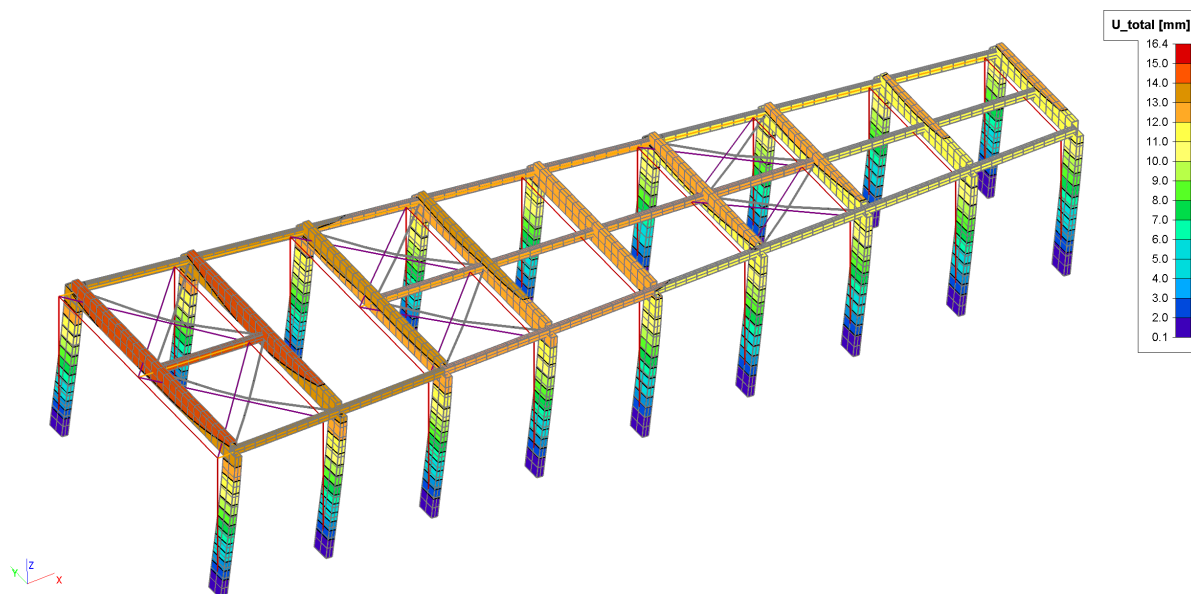
Dílec	Stav	dx [mm]	N [kN]	Vy [kN]	Vz [kN]	Mx [kNm]	My [kNm]	Mz [kNm]
B128	NC57	0,000	<b>-3,28</b>	1,67	-0,14	-0,01	0,00	-1,51
B120	NC75	2770,000	<b>1,00</b>	0,09	0,14	0,04	0,21	2,04
B129	NC57	0,000	-1,87	<b>-1,26</b>	1,42	-0,03	-0,52	0,24
B126	NC57	0,000	-0,60	<b>2,82</b>	0,14	-0,03	-0,16	<b>-1,98</b>
B526	NC57	2025,480	-2,64	0,21	<b>-2,00</b>	-0,02	-1,56	0,16
B129	NC11	0,000	-1,17	-0,76	<b>1,65</b>	-0,01	-0,44	0,14
B134	NC57	0,000	0,01	-0,54	0,97	<b>-0,05</b>	-0,14	0,12
B134	NC57	2997,280	-0,01	0,55	-0,89	<b>0,05</b>	-0,03	0,12
B587	NC57	2025,480	-0,28	0,06	-1,79	0,01	<b>-1,94</b>	0,07
B526	NC57	0,000	-2,64	0,15	-1,57	-0,03	<b>2,07</b>	-0,21
B125	NC57	2770,000	-2,09	1,04	0,10	-0,01	0,01	<b>3,04</b>

E) Deformace – **prutový model výpočtové hodnoty****63. Deformace na prutech rám exteriér nosníky S03.1**

Zde uvedené deformace z lineárního výpočtu slouží jako doplňující pro náhled na chování a deformaci konstrukce jako celku a také vybraného železobetonového věnce pro objekt S03.1 (konstrukce krovu).

**64. Deformace na prutech rám exteriér nosníky S03.2**

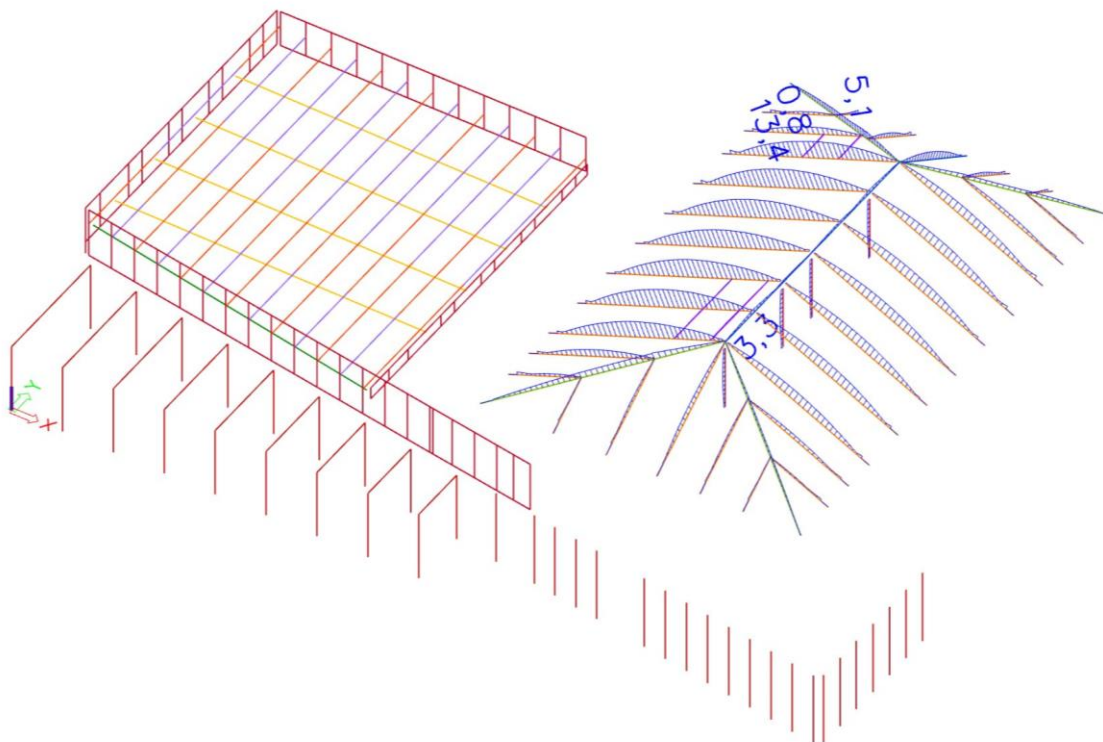
Zde uvedené deformace z lineárního výpočtu slouží jako doplňující pro náhled na chování a deformaci konstrukce jako celku pro objekt S03.2 (konstrukce haly).

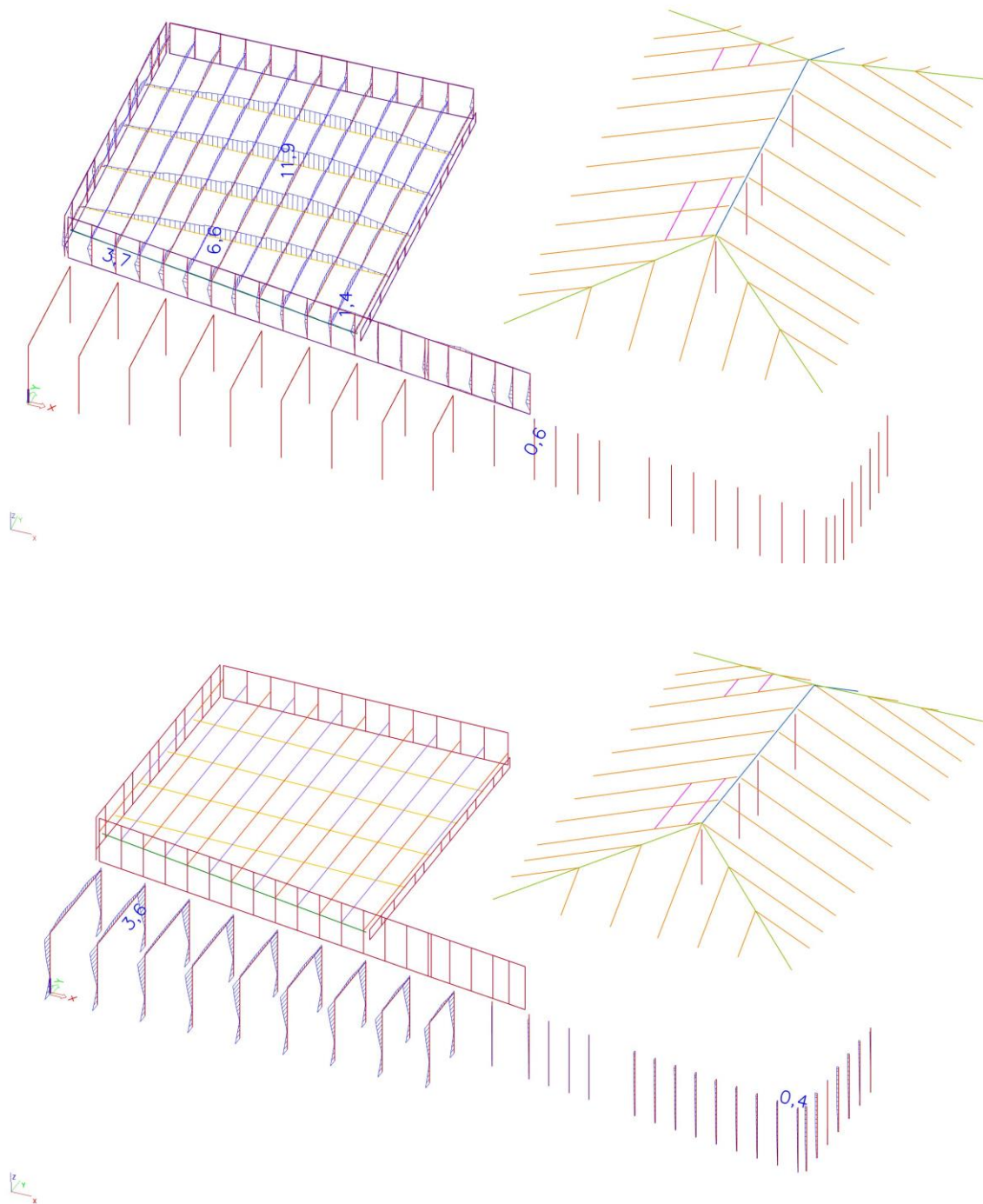
**65. Deformace na prutech rám exteriér nosníky S03.3 [mm]**

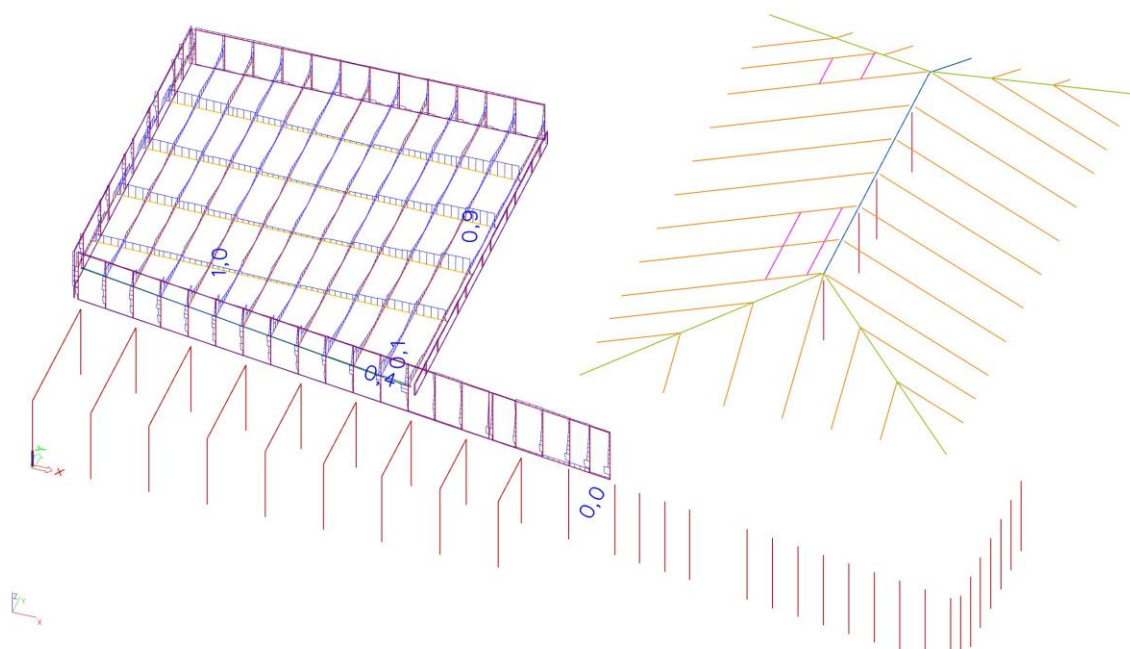
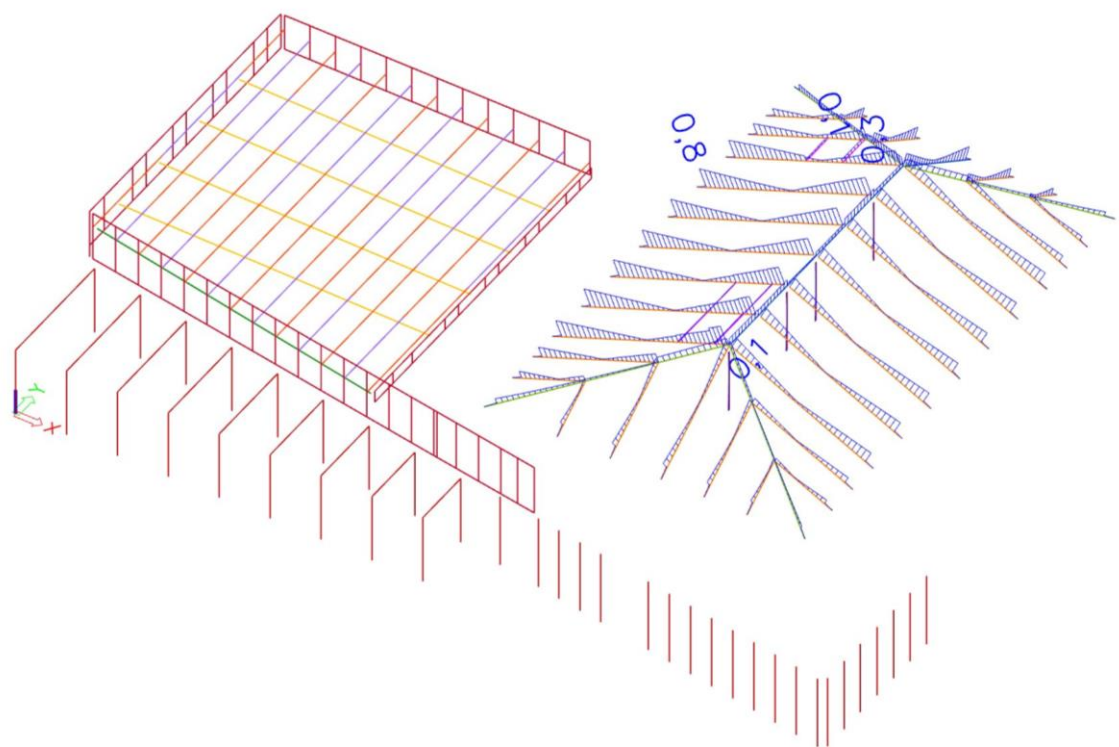
Zde uvedené deformace z lineárního výpočtu slouží jako doplňující pro náhled na chování a deformaci konstrukce jako celku pro objekt S03.3 (konstrukce slunolamu).

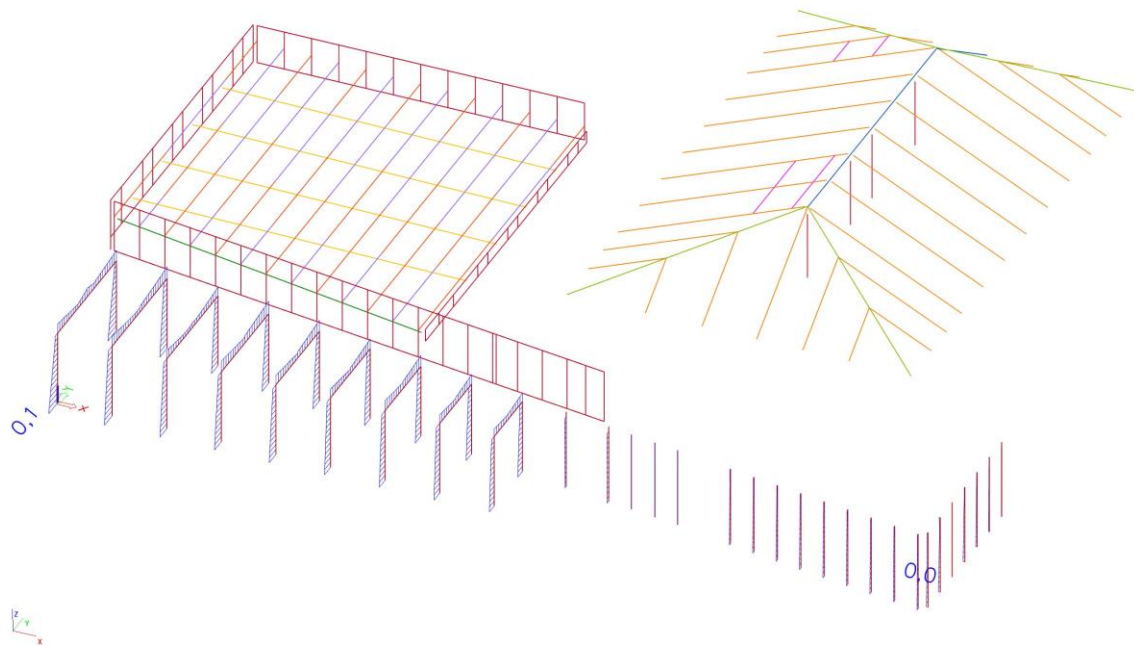
Deformace konstrukce nosníků krovu jsou menší nebo rovny jak  $1/200 \rightarrow$  konstrukce vyhoví na MSP.

Posudek konstrukce

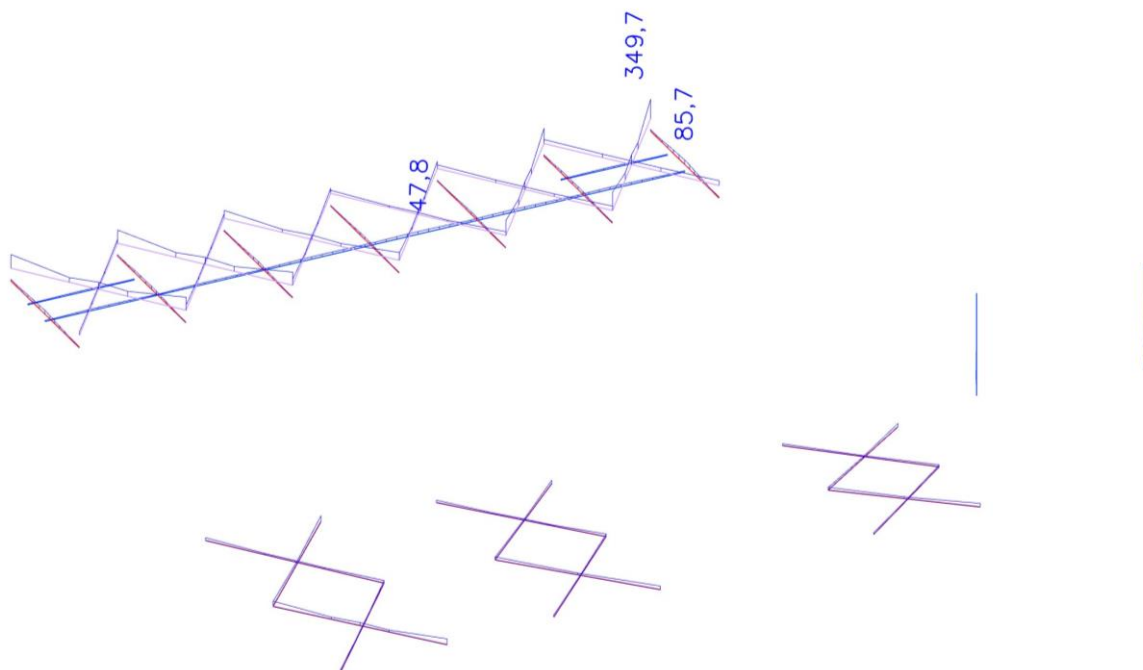
**66. Napětí von Mises dřevěná konstrukce [MPa]**

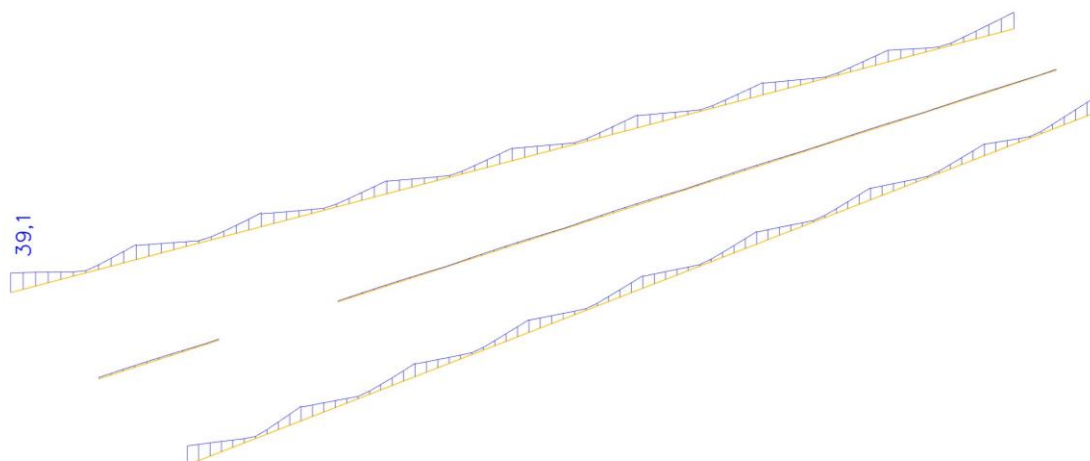


**67. Napětí smykové dřevěná konstrukce [MPa]**



### 68. Napětí von Mises ocelová konstrukce [MPa]

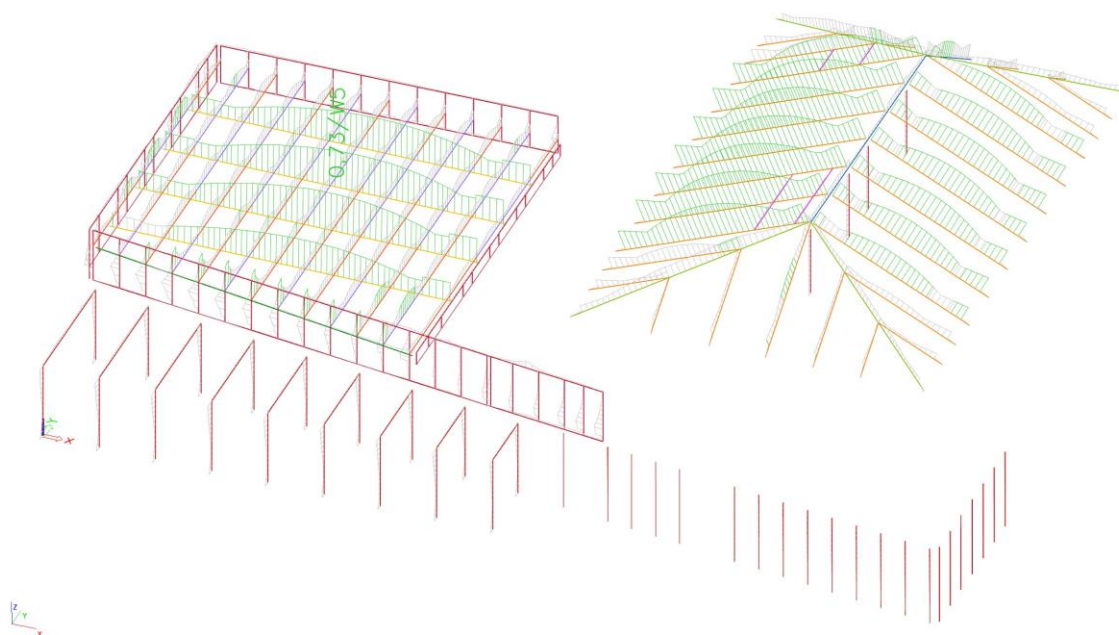




Dřevěné konstrukce a také konstrukce ocelových částí je využita na méně než 100% → konstrukce na I.MSÚ → **OK**.

Dřevěné konstrukce a také konstrukce ocelových částí je využita na méně než 100% → konstrukce na II.MSP → **OK**.

#### Posudek dřeva podle MSÚ – graficky dřevěná konstrukce celek



#### Posudek dřeva podle MSÚ – dřevěná konstrukce celek

Nelineární výpočet, Extrém : Globální

Výběr : B194, B197, B202, B205, B210, B214, B219, B222, B227, B231, B236, B239, B244, B248, B253..B255, B258, B261, B276, B281, B282, B293..B296, B304, B305, B307, B310, B313, B318..B321, B332..B335, B351, B567, B571, B572, B576..B579, B897, B1, B17, B33, B49, B65..B84, B86..B90, B97..B136, B353..B371, B373..B379, B434, B435, B438, B439, B454, B455, B458, B459, B462, B463, B466, B467, B470, B471, B474, B475, B478, B479, B482, B483, B486, B487, B498, B499, B502, B503, B506, B507, B510, B511, B514, B515, B518, B519, B522, B523, B588, B589, B592, B593, B596, B597, B616, B630..B659, B661, B670, B677, B684, B691, B698, B705, B712, B719, B726, B733, B740, B747, B763, B765..B768, B775, B782, B789, B796, B803, B812..B814, B821, B828, B829, B833..B835, B837, B841, B853..B862, B864..B879, B898, B903, B906

Třída : NC\_MSU

EN 1995-1-1 posudek

Nosník B33	12,251 m	CS7 - OBDEL (180; 765)	GL 24h (EN 14080)	NC_MSU	0,73 -
------------	----------	------------------------	-------------------	--------	--------

Upozornění: Dílec s proměnným průřezem nebyl detekován ani jako pultový nosník, ani jako sedlový nosník podle EN 1995-1-1. V důsledku toho nebyl proveden žádný specifický posudek pro pultový nosník. Ověřte prosím geometrii tohoto dílce a zkontrolujte tabulku dodatečného výstupu ohledně detekovaného pultového dílce.

<b>Klíč kombinace</b>
NC_MSU / NC110

<b>Základní data</b>	
Dílčí součinitel spolehlivosti $\gamma_M$ pro lepené laminované dřevo	1,25

<b>Údaje o materiálu</b>		
Ohyb (fm,k)	24,0	MPa
Tah (ft,0,k)	19,2	MPa
Tah (ft,90,k)	0,5	MPa
Tlak (fc,0,k)	24,0	MPa
Tlak (fc,90,k)	2,5	MPa
Smyk (fv,k)	3,5	MPa
Typ dřeva	Lepené laminované	

**Kritický posudek je v místě 7,143 m.**

<b>Vnitřní síly</b>		
NEd	-29,52	kN
Vy,Ed	-0,28	kN
Vz,Ed	-16,00	kN
TEd	-0,03	kNm
My,Ed	189,08	kNm
Mz,Ed	-0,37	kNm

<b>Součinitel modifikace</b>	
Třída vlhkosti	2
Doba trvání zatížení	Krátkodobé
Součinitel modifikace $k_{mod}$	0,90

...: POSUDEK ŘEZU ...:

**Tlak rovnoběžně s vlákny**

Podle EN 1995-1-1 článku 6.1.4 a rovnice (6.2)

$\sigma_{c,0,d}$	0,2	MPa
$f_{c,0,d}$	17,3	MPa
Jedn. posudek	0,01	-

**Tlak kolmo na vlákna**

Poznámka: Posudek tlaku kolmého k vláknům byl ignorován, protože uživatel provedl takové nastavení.

**Ohyb**

Podle EN 1995-1-1 článku 6.1.6 a rovnice (6.11), (6.12)

$\sigma_{m,y,d}$	10,8	MPa
$k_{h,y}$	1,00	
$f_{m,y,d}$	17,3	MPa
$\sigma_{m,z,d}$	0,1	MPa
$k_{h,z}$	1,00	
$f_{m,z,d}$	17,3	MPa
$k_m$	0,70	

Jednotkový posudek (6.11) =  $0,62 + 0,00 = 0,63$  -

Jednotkový posudek (6.12) =  $0,44 + 0,01 = 0,44$  -

**Smyk**

Podle EN 1995-1-1 článku 6.1.7 a rovnice (6.13)

$k_{cr}$	0,67	
$\tau_{y,d}$	0,0	MPa
$\tau_{z,d}$	0,3	MPa
$f_{v,d}$	2,5	MPa
Jednotkový posudek $\tau_y$	0,00	-
Jednotkový posudek $\tau_z$	0,10	-
Jednotkový posudek interakce	0,01	-

Poznámka: Interakční rovnice byla přidána jako NCCI.

**Kroucení**

Podle EN 1995-1-1 článku 6.1.8 a rovnice (6.14)

$\tau_{tor,d}$	0,0	MPa
$k_{tvar}$	1,21	
$f_{v,d}$	2,5	MPa

Jedn. posudek	0,00	-
Jednotkový posudek interakce smyku	0,01	-

Poznámka: Interakční rovnice byla přidána jako NCCI.

#### Kombinovaný ohyb a osový tlak

Podle EN 1995-1-1 článku 6.2.4 a rovnice (6.19), (6.20)

$f_{c,0,d}$	17,3	MPa
$f_{m,y,d}$	17,3	MPa
$f_{m,z,d}$	17,3	MPa
km	0,70	

Jednotkový posudek (6.19) =  $0,00 + 0,62 + 0,00 = 0,63$  -

Jednotkový posudek (6.20) =  $0,00 + 0,44 + 0,01 = 0,44$  -

Prvek splňuje podmínky posudku průřezu.

...: **POSUDEK STABILITY** ...:

#### Sloupy zatížené tlakem nebo kombinací tlaku a ohybu

Podle EN 1995-1-1 článku 6.3.2 a rovnice (6.23), (6.24)

Parametry vzpěru	yy	zz	
Typ posuvných styčníků	posuvné	neposuvné	
Systémová délka L	12,251	12,251	m
Součinitel vzpěru k	0,00	0,00	
Vzpěrná délka L <sub>cr</sub>	0,001	0,001	m
Štíhlost $\lambda$	0,00	0,02	-
Poměrná štíhlost $\lambda$	0,00	0,00	-
Mezní štíhlost	0,30	0,30	-

Poznámka: Součinitele vzpěru byly nastaveny na 0,001 pro zanedbání vlivu rovinného vzpěru. (Výpočet 2. řádem)

#### Nosníky zatížené ohybem nebo kombinací tlaku a ohybu

Podle EN 1995-1-1 článku 6.3.3 a rovnice (6.33), (6.35)

Parametry klopení		
Pružný kritický moment $M_{y,krit}$	468,50	kNm
Kritické ohybové napětí $\sigma_{m,krit}$	26,7	MPa
Poměrná štíhlost $\lambda_{rel,m}$	0,95	-
redukční součinitel $k_{krit}$	0,85	-

Jednotkový posudek (6.33) = 0,73 -

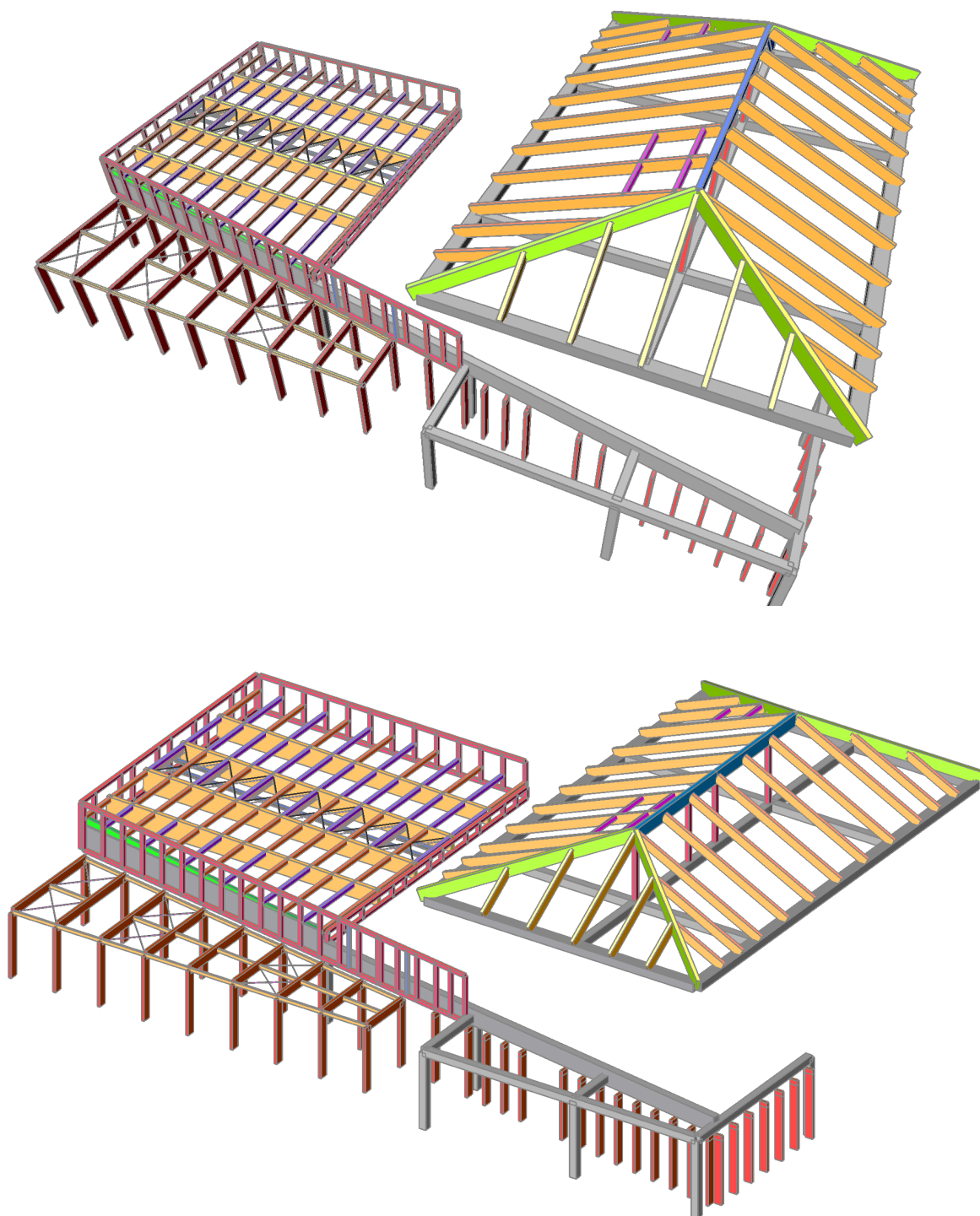
Jednotkový posudek (6.35) =  $0,54 + 0,00 = 0,54$  -

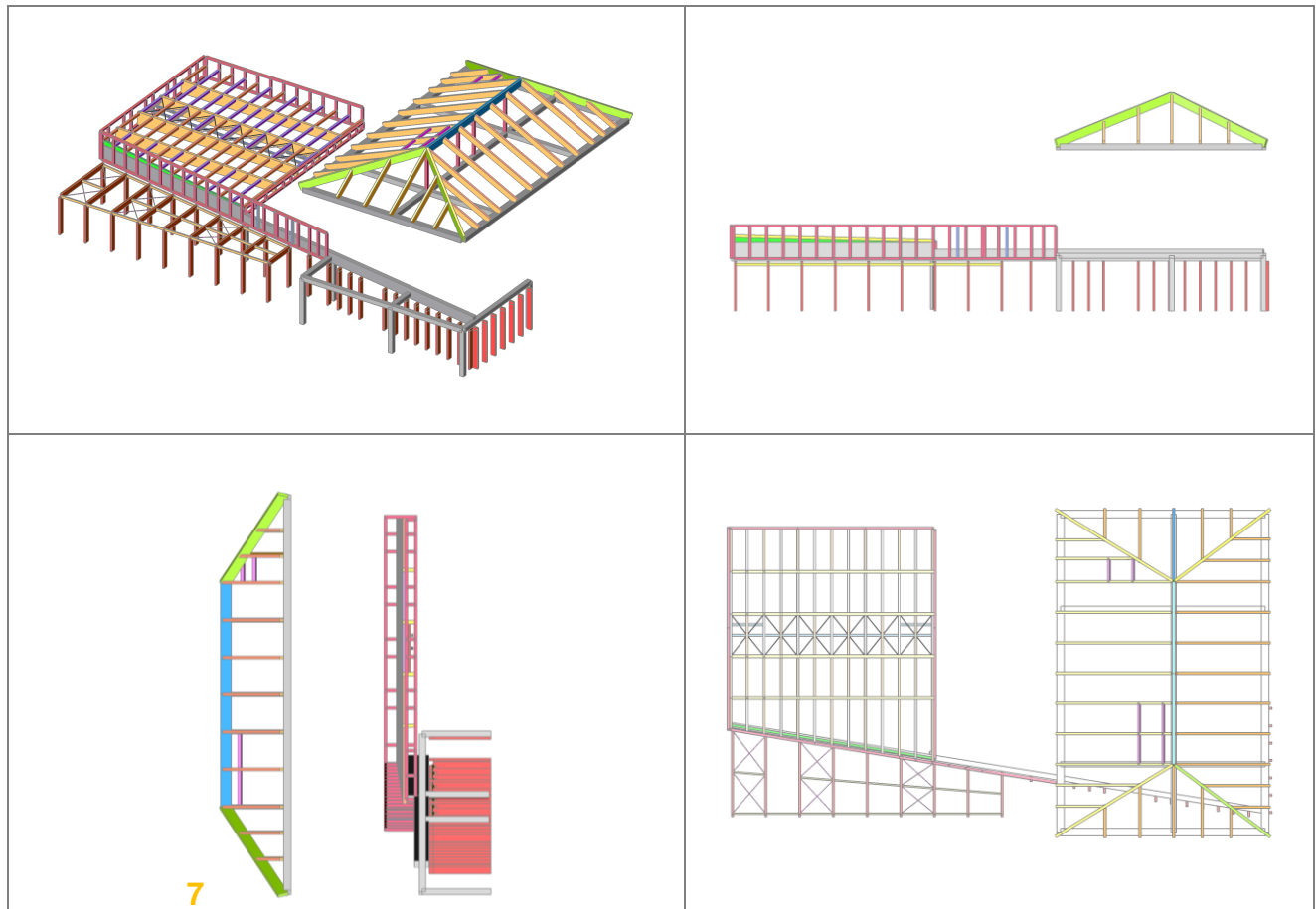
<b><math>M_{y,krit}</math> Parametry</b>		
G0,05	600,0	MPa
Délka klopení L	12,251	m
L <sub>ef</sub> /L	0,90	
Účinná délka L <sub>ef</sub>	11,026	m
Vliv pozice zatížení	bez vlivu	

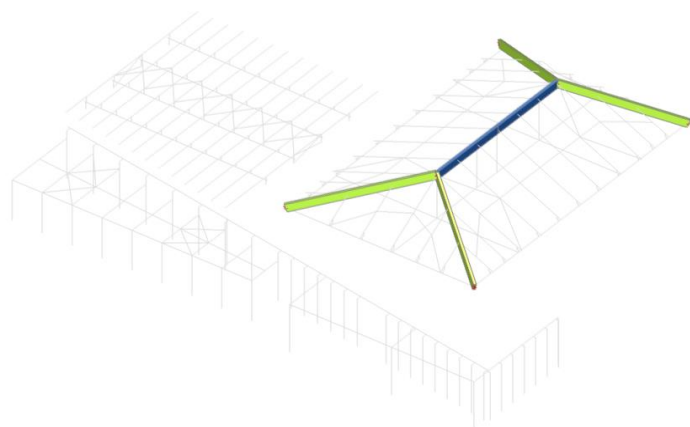
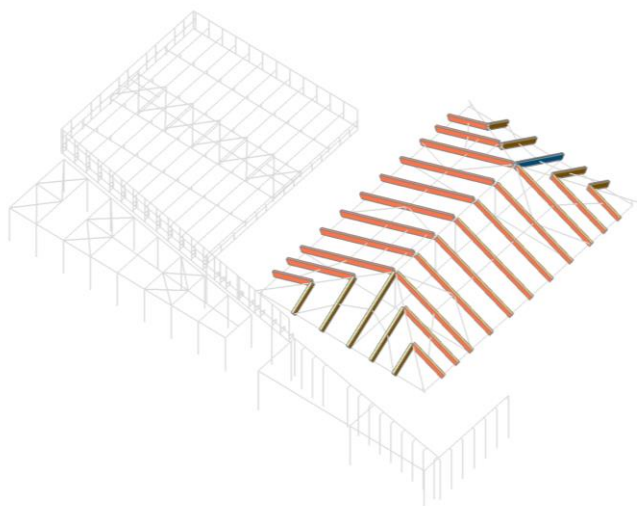
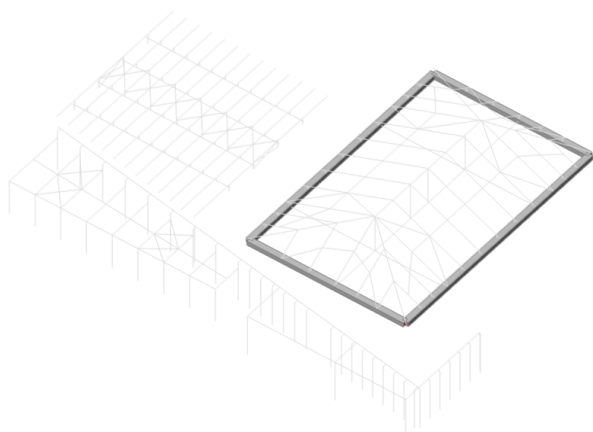
Prvek splňuje podmínky stabilitního posudku.

## F) Poznámky – výpočtový model

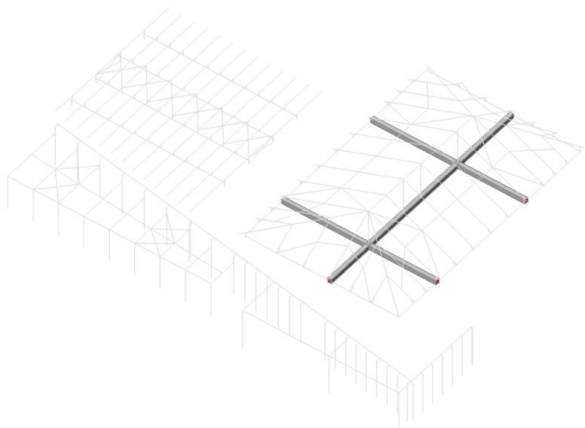
- a) model je počítán jako geometricky a konstrukčně (táhla) nelineární,
- b) není uvažována fyzikální nelinearita,
- c) model je složen z prutových konečných prvků,
- d) konstrukce je počítána se zohledněním prokluzů ve spojích,
- e) je nutné řádně a dle platných norem viz. Technická zpráva správně kotvit vodorovné síly do výztužných stěn a stropní a střešní konstrukce,
- f) výztužné konstrukce zajišťují prostorovou tuhost a stabilitu celku,
- g) přenos vodorovných sil je realizován smykovým tokem ve výztužných deskách a po hranách prutových prvků, které jsou kotveny k těmto deskám,
- h) je třeba dodržet podle norem vzdálenosti spojovacích prostředků,
- i) desky OSB panelů je možno přistřelovat k prutovým prvkům pomocí hřebíků nebo sponek popřípadě vrutů,
- j) ocelovou vidlici kotvit přes chemické kotvy do základu železobetonového límce skeletu haly a krovu, na kterých jsou uloženy nosníky GL24h a prvky C24,
- k) provést dostatečné uložení dřevěných lepených nosníků min 160mm (případně vyztužit tlak kolmo na vlákna vruty s ocelovou deskou v tlaku),
- l) atypické kotevní prvky řádně kotvit epoxidovými nebo zabetonovanými kotvami k železobetonové konstrukci věnce nebo základu,
- m) pro napínací táhla tvořící výztužné diafragma provést aktivaci a toto předpětí kontrolovat a obnovovat v pravidelných intervalech.

G) Zobrazení konstrukce – **prutový model renderring 3D****69. Pohled na axonometrii haly**

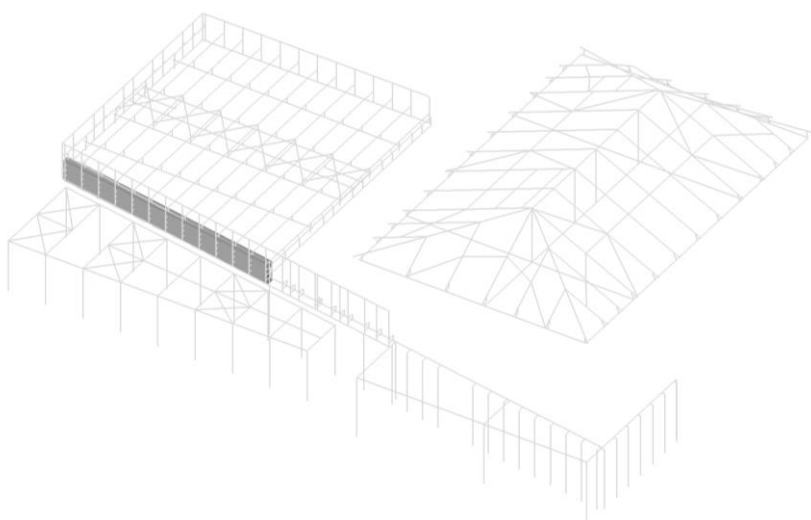


H) Hlavní profily konstrukce – **výpis prvku v konstrukci****CS1\_160x520****CS2\_140x380****CS3\_350x450**

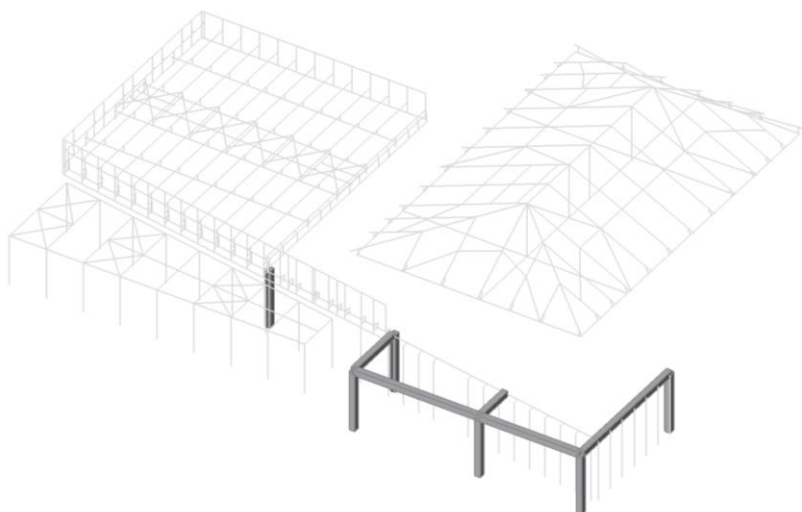
## CS4\_350x300



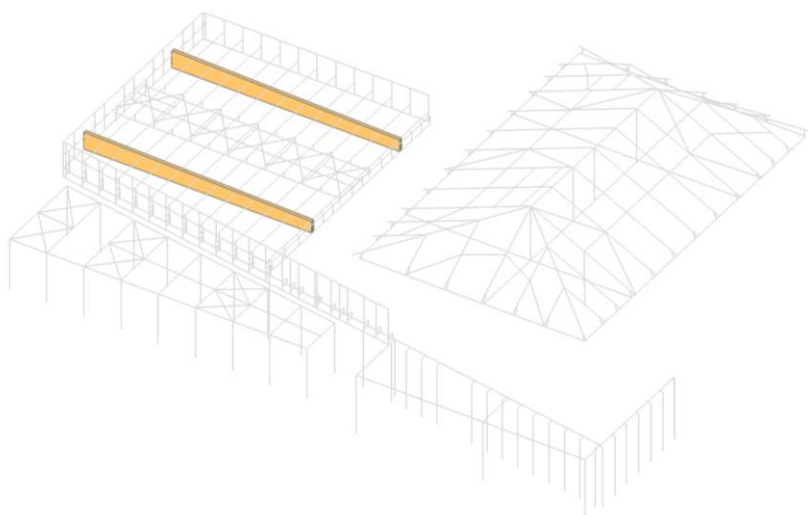
## CS5\_300x1100



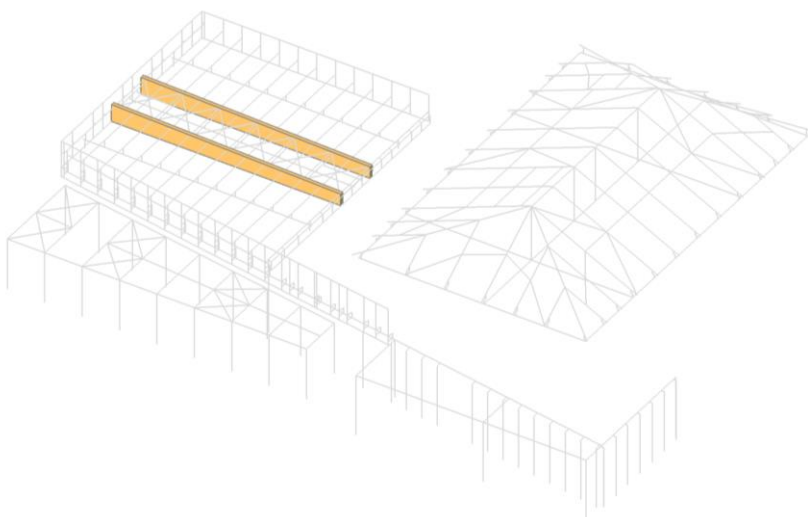
## CS6\_300x300



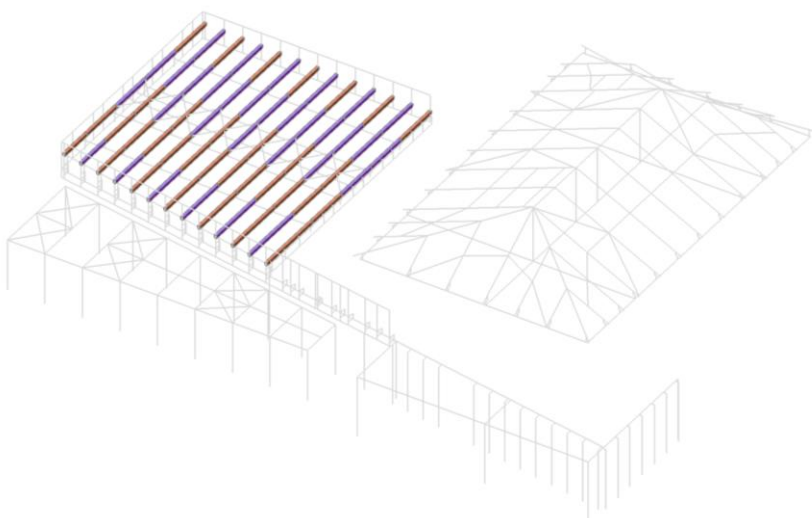
## CS7\_160x940x640 – vnější pult



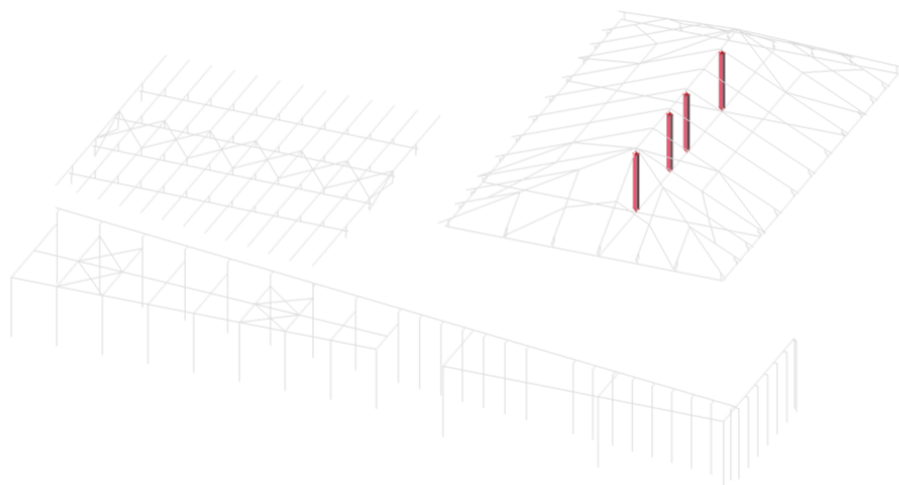
## CS7\_180x940x640 – vnitřní pult



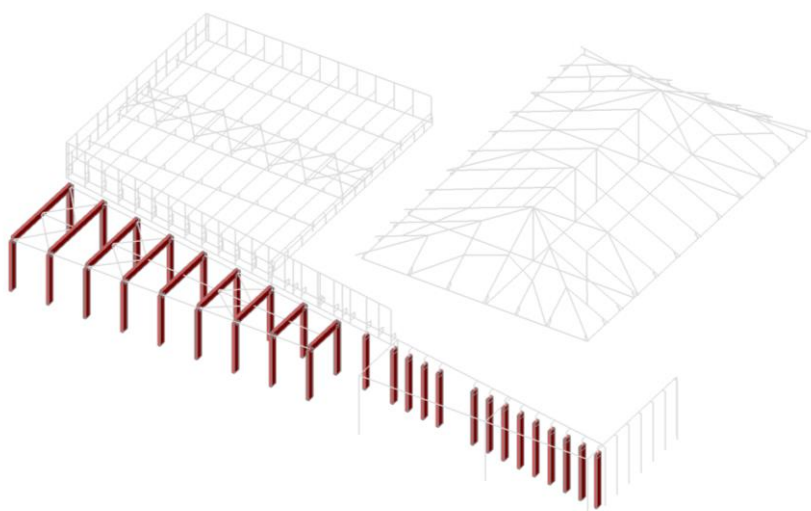
## CS8\_120x180



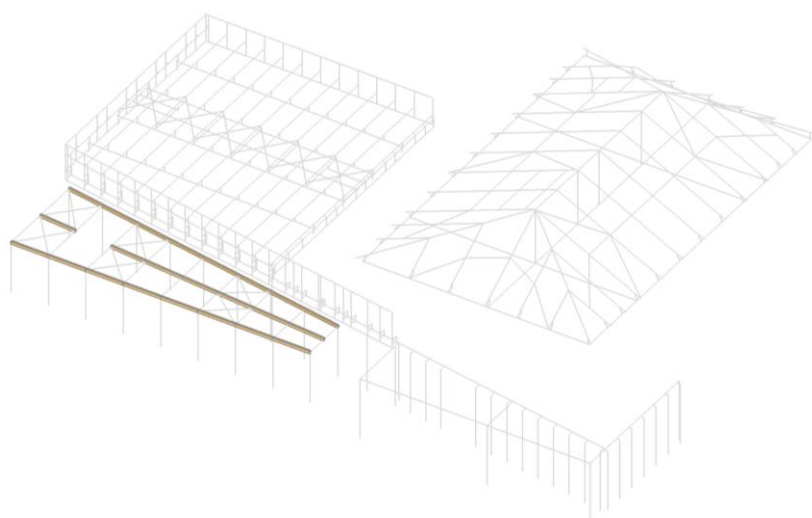
## CS9\_160x200



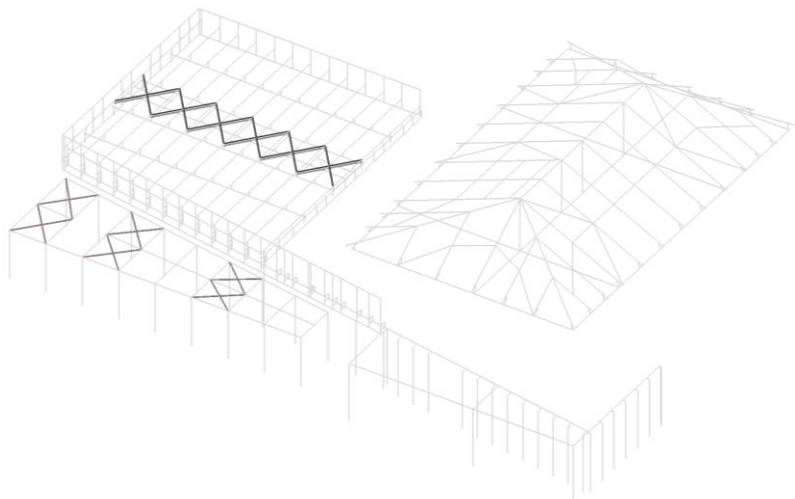
## CS10\_120x360



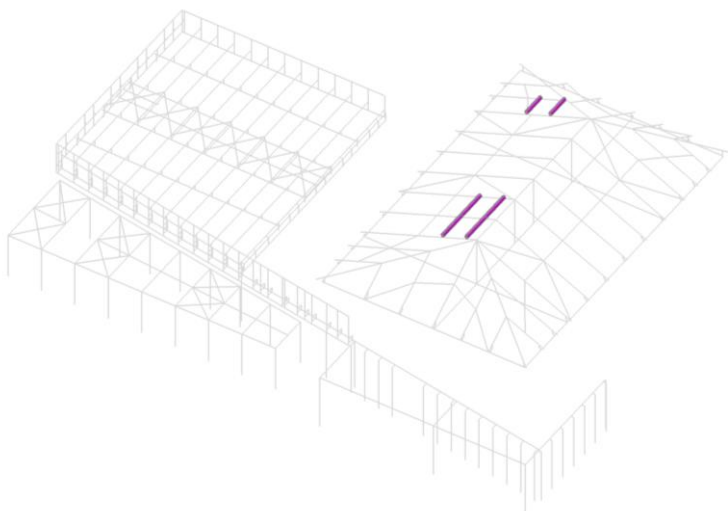
## CS11\_jakl\_140x80x4



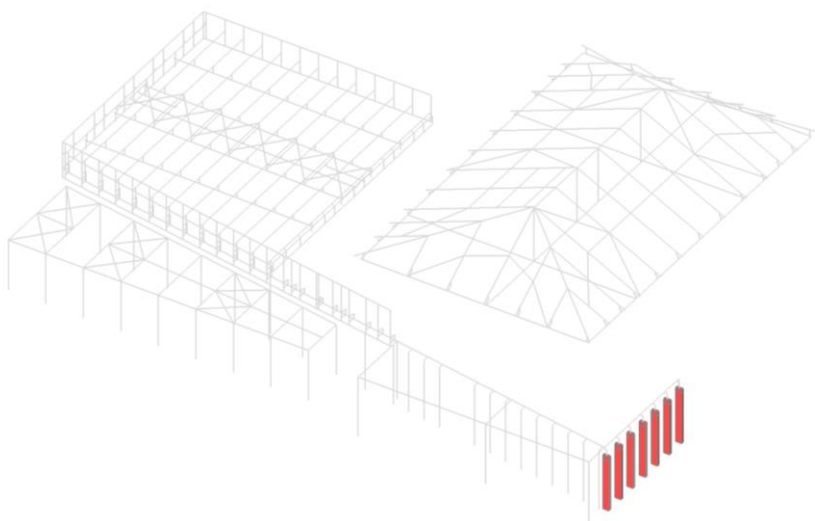
## CS12\_RD16mm



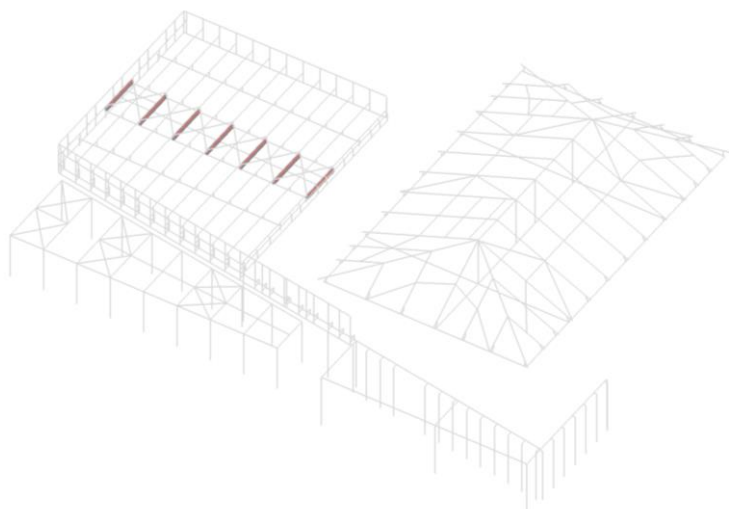
## CS16\_120x160



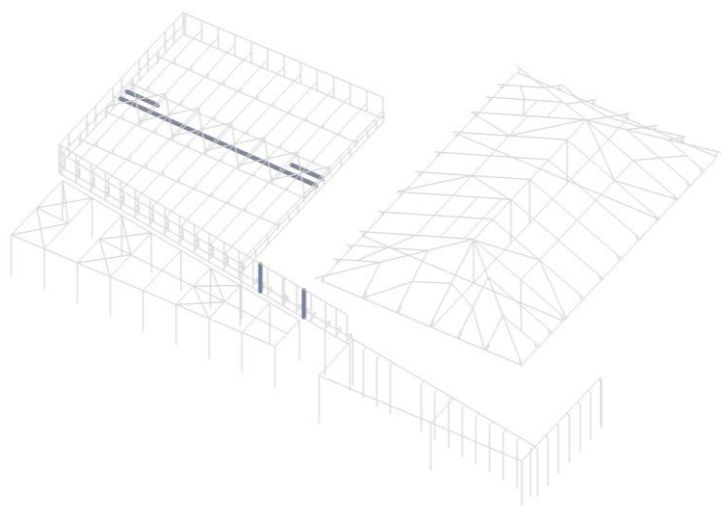
## CS17\_120x330



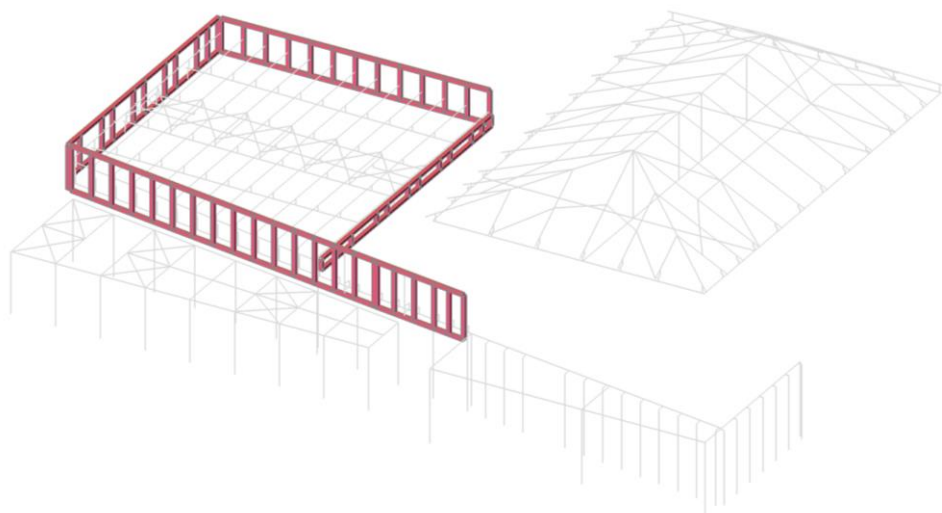
## CS18\_HEA120



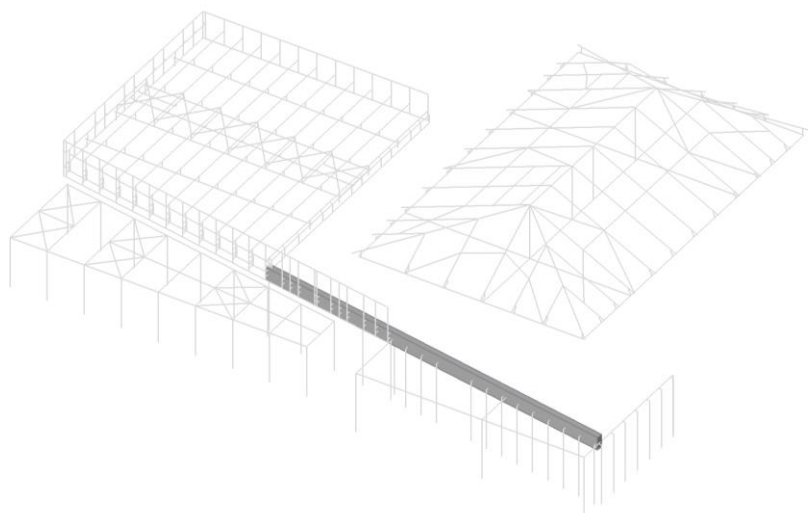
## CS19\_HEA120



## CS20\_140x140



## CS21\_300x700



## CS22\_140x300

